

Fig. 番号	出土地点	類別	器種	遺存	口徑	器高	底径	色調	胎土	焼成	備考
186 3	IV区 E6 4層	土師器	甕	1/4以上	38.0 cm			外: 灰白色 2.5YR/2 内: 同	2mm以下 白色粒石 多く含む	良好	内外: 煤痕
186 4	IV区 F6 4層	土師器	甕	1/6以上	24.0 cm			外: 淡黄褐色 10YR8/1 内: 同	2mm以下 石英 灰石 白色粒子 多く含む	良好	
186 5	IV区 I7 4層	土師器	小円形土器	底 1/6 以上	7.6 cm			外: 淡黄褐色 7.5YR8/3 内: 灰白色 10YR8/2	1mm以下 白色粒子 微量含む	良好	胎土: 大塚A類
186 6	IV区 E5 4層	土師器	手取土器	ほぼ完整	4.4 cm	3.8 cm		外: 黄褐色 2.5YR/3 内: 同	1mm以下 白色粒子 若干含む	良好	
186 7	IV区 F7 4層	土師器	甕	1/6以上	32.0 cm			广縁部: 淡黄褐色 10YR8/3 肩部: 淡黄色 2.5YR/3 内: 灰白色 2.5YR/2	1mm以下 石英 白色粒子 多く含む	良好	胎土: 小谷式
186 8	IV区 F1301	土師器	甕	1/4以上	(11.2) cm			外: 灰褐色 2.5Y7/2 内: 灰白黄褐色 10YR7/3	1mm以下 石英 灰石 若干含む	良好	内: 青彩
186 9	IV区 E5 4層	土師器	高坏	1/4以上		10.4 cm		外: 灰白色 10YR8/1	1mm以下 白色粒子 微量含む	良好	胎土: 大塚B類
187 1	IV区 C5 4層	須恵器	甕	1/2以上	13.0 cm			外: 灰白色 NS/	1mm以下 白色粒子 微量含む	良好	大塚5類
187 2	IV区 C3 4層	須恵器	甕	小片				外: 青灰色 5B6/1	1mm以下 白色粒子 若干含む	良好	輪状つぶみ
187 3	IV区 D5 4層	須恵器	甕	小片				外: 明青灰色 5B7/1	1mm以下 白色粒子 微量含む	良好	輪状つぶみ
187 4	IV区 F3 4層	須恵器	坏	1/6以上	12.4 cm	4.2 cm	8.5 cm	外: 青灰色 5P8/1	1mm以下 白色粒子 若干含む	良好	底部: ベツ型?
187 5	IV区 C3 4層	須恵器	坏	小片	(13.6) cm	4.4 cm	(9.0) cm	外: 青灰色 5B6/1	1mm以下 白色粒子 微量含む	良好	
187 6	IV区 E5 4層	須恵器	坏	底 1/4 以上			9.6 cm	外: 明青灰色 5P07/1	1mm以下 白色粒子 微量含む	良好	
187 7	IV区 F6 4-5層	須恵器	坏	底 1/4 以上	11.4 cm	3.2 cm	9.0 cm	外: 刺青灰色 5P7/1	2mm以下 白色粒子 微量含む	良好	
187 8	IV区 E3 4層	須恵器	高坏	底 1/4 以上	14.6 cm	7.9 cm	9.2 cm	外: 青灰色 5P8/1	1mm以下 白色粒子 若干含む	良好	二方片・小穴×カシ 大塚3~6類
187 9	IV区 D5 4層	須恵器	小甕	小片	(4.6) cm			外: 黄褐色 5B6/1 内: 灰白色 N7/	1mm以下 白色粒子 微量含む	良好	
187 10	IV区 F3 4層	土師器	甕					外: 褐色 7.5YR7/6 内: 淡黄褐色 7.5YR8/4	2mm以下 石英 灰石 若干含む	良好	完整片
187 11	IV区 I6 4層	土師器	土師文甕	1/2以上		13.5 cm		外: 淡黄褐色 10YR8/3	1mm以下 石英 灰石 白色粒子 若干含む	良好	被覆土上出土
187 12	IV区 D6 4-5層	平作 刺青遺物	刺青製刻片		長: 4.5 cm 巾: 3.7 cm 厚: 1.2 cm 色: 刺青灰色 10R7/1						
187 13	IV区 D5 4-5層	鉄器	不刃鉄剣		長: 5.5 cm 巾: 3.2 cm 厚: 0.7 cm						引手状鉄製品
187 14	IV区 E6 4層	鉄器	釘		ほぼ完整 長: (5.3) cm 巾: 1.1 cm 厚: 0.3 cm						頸部示す曲打
187 15	IV区 D5 4-5層	鉄器	釘		1/2以上 長: (5.3) cm 巾: (1.1) cm 厚: (0.8) cm						
189 1	IV区 F5 3層	弥生土器	甕	小片	(6.0) cm			外: 灰白色 10YR8/2 内: 灰白色 2.5YR/2	2mm以下 石英 灰石 多く含む	良好	口縁部: 割目 肩部: 5条ヘコ傷 注部
189 2	IV区 D5 3層	土師器	甕	1/2以上	15.6 cm			外: 黄褐色 2.5YR/3	2mm以下 石英 灰石 若干含む	良好	内: 煤痕
189 3	IV区 D6 3層	弥生土器	甕	1/2以上	13.6 cm			外: 淡黄色 2.5YR/3 内: 灰白色 2.5YR/2	2mm以下 石英 灰石 若干含む	良好	口縁: 割目文 外: 煤痕
189 4	IV区 F5 3層	土師器	高坏	ほぼ完整		10.4 cm		外: 褐色 2.5YR7/6 内: 同	1mm以下 白色粒子 微量含む	良好	胎土: 大塚A類 被覆土面露す
190 1	IV区 E7W 漆 E6	土師器	高坏	底 1/4 以上		10.0 cm		外: 淡黄褐色 7.5YR8/4 内: 淡黄褐色 7.5YR8/3	1mm以下 石英 灰石 若干含む	良好	内: 黒輝? 胎土: 小谷式
190 2	IV区 F7南	土師質土器	高台付平	1/6以上		7.4 cm		外: 淡黄褐色 10YR8/3	1mm以下 白色粒子 微量含む	やや不良	
190 3	IV区 D6-E6 ベムト	白磁	輪	底 1/2 以上		5.6 cm		外: 灰白色 10YR/1	1mm以下 黒色粒子 微量含む	良好	外: 黄 (底部以外) 内: 雫 (全体) 太宰府分組IV類
190 4	IV区 貝部	鉄器	棒状鉄片	小片	長: (3.2) cm 巾: 0.6 cm 厚: 0.4 cm						釘か

## 8章 自然科学的分析

### 第1節 九景川遺跡出土橢圓形鍛冶滓の金属学的調査

九州テクノロジーサーチ・TACセンター

大澤正己・鈴木瑞穂

#### 1. いきさつ

九景川遺跡は高知県松江市東神西町に所在する弥生時代から中世にかけての複合遺跡である。調査区からは中世期と推定される鍛冶滓が複数出土した。これらの鍛冶滓がどの作業工程に伴う反応副生物か検討する目的から、金属学的調査を行う運びとなった。

#### 2. 調査方法

##### 2-1. 供試材

Table1 に示す。鍛冶関連遺物 3 点の調査を行った。

##### 2-2. 調査項目

###### (1) 肉眼観察

遺物の外観上の観察所見を記載した。これらをもとに分析試料採取位置を決定している。

###### (2) 顕微鏡組織

鉄滓の鉱物組成や微小金属部の調査を目的とする。

試料観察面を設定・切り出し後、試験片は樹脂に埋込み、エメリー研磨紙の #150、#240、#320、#600、#1000、及びダイヤモンド粒子の  $3\mu$  と  $1\mu$  で鏡面研磨した。

また観察には金属反射顕微鏡を用い、特徴的・代表的な視野を選択して、写真撮影を行った (100 ~ 400 倍)。なお金属鉄の調査では 5% ナイタル (硝酸アルコール液) を腐食 (Etching) に用いた。

###### (3) ビッカース断面硬度

ビッカース断面硬度計 (Vickers Hardness Tester) を用いて硬さの測定を行った。試験は鏡面研磨した試料に  $136^\circ$  の頂角をもったダイヤモンドを押し込み、その時に生じた窪みの面積をもって、その荷重を除いた商を硬度値としている。試料は顕微鏡用を併用した。

###### (4) 化学組成分析

供試材の分析は次の方法で実施した。

全鉄分 (Total Fe)、金属鉄 (Metallic Fe)、酸化第一鉄 (FeO) : 容量法。

炭素 (C)、硫黄 (S) : 燃焼容量法、燃焼赤外吸収法

二酸化硅素 ( $\text{SiO}_2$ )、酸化アルミニウム ( $\text{Al}_2\text{O}_3$ )、酸化カルシウム ( $\text{CaO}$ )、酸化マグネシウム ( $\text{MgO}$ )、酸化カリウム ( $\text{K}_2\text{O}$ )、酸化ナトリウム ( $\text{Na}_2\text{O}$ )、酸化マンガン ( $\text{MnO}$ )、二酸化チタン ( $\text{TiO}_2$ )、酸化クロム ( $\text{Cr}_2\text{O}_3$ )、五酸化燐 ( $\text{P}_2\text{O}_5$ )、バナジウム (V)、銅 (Cu)、二酸化ジルコニウム ( $\text{ZrO}_2$ ) : ICP (Inductively Coupled Plasma Emission Spectrometer) 法 : 誘導結合プラズマ発光分光分析。

### 3. 調査結果

#### KUK - 1: 楕形鍛冶滓 (含鉄)

(1) 肉眼観察: 269gとやや大型の楕形鍛冶滓である。表面は黄褐色の酸化土砂で厚く覆われる。上面中央が窪んでおり、表面には細かい木炭痕が多数点在する。全体に重量感のある滓である。

また下面側に茶褐色の錆化鉄部が複数あり、この部分の磁力は強い。錆化の進行のためか、特殊金属探知機の反応はH(O)であるが、内部には金属鉄が若干残存する可能性が考えられる。

(2) マクロ組織: Photo.1 ①に示す。試料上面側の暗色部は錆化鉄である。小型だが、比較的同時に鉄部が確認された。ただし金属組織の痕跡は不明瞭で、鉄中の炭素含有量などの情報は得られなかった。

(3) 顕微鏡組織: Photo.1 ②~⑦に示す。②は試料表層に付着する鍛造剥片(注1)である。ごく微細な剥片のため、断面最表層のヘマタイト(Hematite:  $\text{Fe}_2\text{O}_3$ )は不明瞭であるが、中間層明灰色のマグネタイト(Magnetite:  $\text{Fe}_3\text{O}_4$ )、内層の暗灰色のウスタイト(Wustite:  $\text{FeO}$ )層が確認される。加熱鍛打に伴う微細遺物である。

また③~⑤は滓部である。白色粒状結晶ウスタイト(Wustite:  $\text{FeO}$ )、淡灰色柱状結晶ファイヤライト(Fayalite:  $2\text{FeO}\cdot\text{SiO}_2$ )が晶出する。鍛錬鍛冶滓の晶癖である。なお④⑤のように、発達したウスタイトが凝集して晶出する箇所が、部分的に存在する。

⑥⑦には滓中に散在するごく微細な金属鉄粒を、5%ナイトルで腐食した組織を示した。ほとんど炭素を含まない、フェライト(Ferrite:  $\alpha$ 鉄)単相に近い組織であった。

(4) ビッカース断面硬度: Photo.1 ⑧の白色粒状結晶の硬度を測定した。硬度値は428HVであった。ウスタイトの文献硬度値450~500HV(注2)より若干軟質であるが、ウスタイトに同定される。

(5) 化学組成分析: Table2に示す。全鉄分(Total Fe)49.81%に対して、金属鉄(Metallic Fe)0.10%、酸化第1鉄( $\text{FeO}$ )32.33%、酸化第2鉄( $\text{Fe}_2\text{O}_3$ )35.14%の割合であった。造滓成分( $\text{SiO}_2 + \text{Al}_2\text{O}_3 + \text{CaO} + \text{MgO} + \text{K}_2\text{O} + \text{Na}_2\text{O}$ )22.76%で、このうち塩基性成分( $\text{CaO} + \text{MgO}$ )は2.82%と低値である。砂鉄起源の二酸化チタン( $\text{TiO}_2$ )は0.17%、バナジウム(V)が<0.01%と低値であった。また酸化マンガン( $\text{MnO}$ )は0.49%と若干高めで、銅(Cu)も0.07%と高値である。

当資料は主に鉄酸化物と、炉材(炉壁・羽口)や鍛接剤(粘土汁・塵灰)の溶融物である造滓成分で構成される。鉄素材を熱間鍛打加工した時の反応副生物・鍛錬鍛冶滓の特徴を有する。

また若干銅(Cu)の高値傾向がみられ、製鉄原料が塊鉱石であった可能性が考えられる。中世期の鍛冶滓としてはやや特異な特徴といえる。ただし当試料は溝から出土した遺物であり、塊鉱石を始発原料とする鉄素材の利用が、より一般的な時代(古代以前)の鍛冶滓が混入した可能性も考慮する必要がある。

#### KUK - 2: 楕形鍛冶滓

(1) 肉眼観察: 85gとやや小型の楕形鍛冶滓端部破片である。滓の地の色調は灰褐色で、表面からやや風化が進んでいる。側面は二段楕形鍛冶滓気味であるが、中央に木炭を噛み込んだ痕跡のようにも見える。表層部に細かい気孔が若干点在するが、比較的密な滓といえる。

(2) 顕微鏡組織: Photo.2 ①~⑤に示す。①は錆化鉄部である。金属組織痕跡は不明瞭で、鉄中

炭素含有量等の情報は得られなかった。

②～⑤は滓部である。白色粒状結晶ウスタイト、淡灰色盤状結晶ファイヤライトが晶出する。鍛錬鍛冶滓の晶癖である。

(3) ビッカース断面硬度: Photo2 ④の淡灰色盤状結晶の硬度を測定した。硬度値は 623Hv で、ファイヤライトと同定される。また⑤の白色樹枝状結晶の硬度値は 398Hv であった。ウスタイトの文献硬度値よりやや軟質であるが、ウスタイトと推測される。

(4) 化学組成分析: Table2 に示す。全鉄分 (Total Fe) 43.39% に対して、金属鉄 (Metallic Fe) < 0.01%、酸化第 1 鉄 (FeO) 53.10%、酸化第 2 鉄 ( $\text{Fe}_2\text{O}_3$ ) 17.32% の割合であった。造滓成分 ( $\text{SiO}_2 + \text{Al}_2\text{O}_3 + \text{CaO} + \text{MgO} + \text{K}_2\text{O} + \text{Na}_2\text{O}$ ) は 22.97% で、このうち塩基性成分 ( $\text{CaO} + \text{MgO}$ ) は 2.03% と低い割合であった。また砂鉄起源の二酸化チタン ( $\text{TiO}_2$ ) は 0.20%、バナジウム (V) が 0.01% と低値である。さらに酸化マンガン ( $\text{MnO}$ ) は 0.43% とやや高めであるが、銅 (Cu) は < 0.01% と低値であった。

当資料も坩形鍛冶滓 (KUK - 1) と近似する、鉱物・化学組成が確認された。やはり鉄素材を熱間で鍛冶加工した際に生じた鍛錬鍛冶滓と推定される。ただし銅 (Cu) は非常に低値であり、鉄材の始発原料は砂鉄と推測される。

#### KUK - 3: 鍛冶滓

(1) 肉眼観察: 12g の非常に小型の鍛冶滓破片である。滓の地の色調は暗灰色で、細かい気孔が点在する。下面には 1 箇所茶褐色の錆化鉄部があり、この部分の磁力は強い。ただし特殊金属探知機での反応はなく、完全に錆化しているものと判断される。

(2) 顕微鏡組織: Photo2 ⑥～⑧に示す。⑥の灰色部は錆化鉄である。金属組織痕跡は不明瞭で、鉄中炭素含有量等の情報は得られなかった。

⑦⑧は滓部である。白色粒状結晶ウスタイト、淡灰色盤状結晶ファイヤライトが晶出する。鍛錬鍛冶滓の晶癖である。

(3) ビッカース断面硬度: Photo2 ⑧の白色粒状結晶の硬度を測定した。硬度値は 461Hv で、ウスタイトに同定される。

(4) EPMA 調査: Photo3 の 1 段目左上に、滓部の反射電子像 (COMP) を示す。10 の白色粒状結晶の定量分析値は 103.1% FeO であった。ウスタイト (Wustite: FeO) に同定される。また 11 の淡灰色盤状結晶の定量分析値は 71.5% FeO - 2.1% MgO - 31.2%  $\text{SiO}_2$  であった。ファイヤライト (Fayalite:  $2\text{FeO} \cdot \text{SiO}_2$ ) に同定される。

また素地のガラス質部分は、12 の明色部の定量分析値が 38.1%  $\text{SiO}_2$  - 17.8%  $\text{Al}_2\text{O}_3$  - 10.8% CaO - 2.6%  $\text{K}_2\text{O}$  - 3.3%  $\text{Na}_2\text{O}$  - 27.7% FeO であった。鉄分をかなり固溶している。これに対して 13 の暗色部は 63.4%  $\text{SiO}_2$  - 25.0%  $\text{Al}_2\text{O}_3$  - 4.7%  $\text{Na}_2\text{O}$  であった。曹長石 (Albite:  $\text{NaAlSi}_3\text{O}_8$ ) に近い組成を示す。

当資料も坩形鍛冶滓 (KUK - 1, 2) と同様、主に鉄酸化物と炉材や鍛冶剤起源の造滓成分からなり、鍛錬鍛冶滓に分類される。



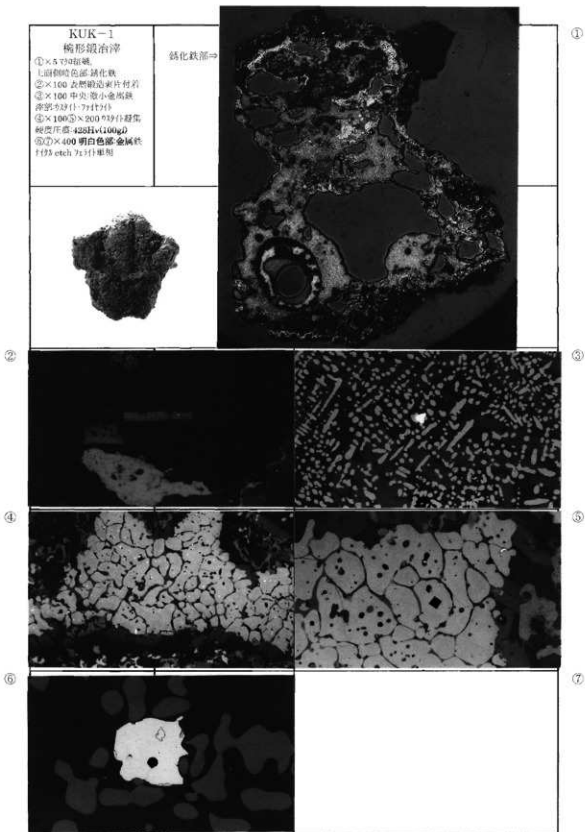


Photo.1 梶形鍛冶滓の顕微鏡組織

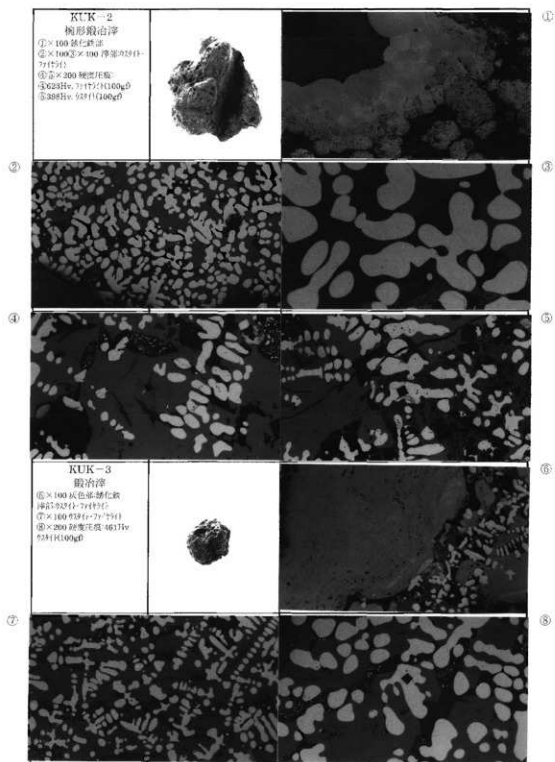


Photo.2 焼形鍛冶滓・鍛冶滓の顕微鏡組織

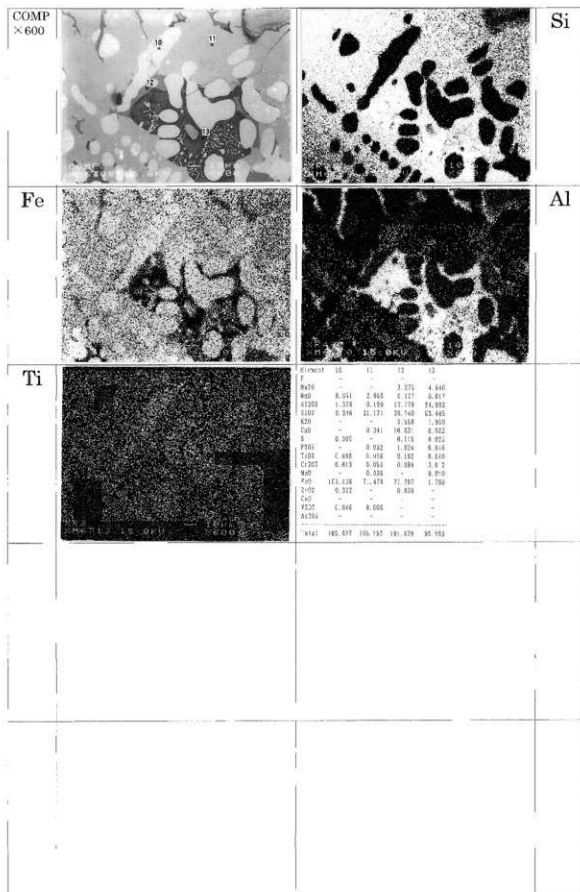


Photo.3 EPMA 調査結果

反射電子像 (COMP)・特性X線像および定量分析値

#### 4. まとめ

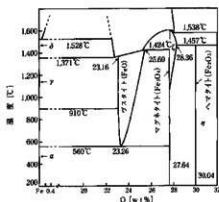
九景川遺跡の中世期と推測される出土鉄滓のうち、分析調査を実施した3点(KUK-1~3)は、全て鍛錬鍛冶滓に分類される。さらに楕形鍛冶滓(KUK-1)表層には、鉄素材の加熱鍛打時に生じた鍛造剥片(表層酸化膜の剝離物)も確認された。

この結果から、当遺跡には純度の高い(製錬滓をほとんど含まない)鉄素材が搬入されており、遺跡内でそれを鍛打加工して、鍛造品が作られたものと推定される。

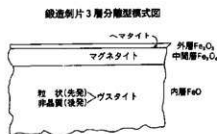
#### (注)

(1) 鍛造剥片とは鉄素材を大気中で加熱、鍛打したとき、表層酸化膜が剝離、飛散したものを指す。俗に鉄肌(金肌)やスケールとも呼ばれる。鍛冶工程の進行により、色調は黒褐色から青味を帯びた銀色(光沢を発する)へと変化する。粒状滓の後続派生物で、鍛打作業の実証と、鍛冶の段階を押える上で重要な遺物となる。

鍛造剥片の酸化膜相は、外層は微厚のヘマタイト(Hematite:  $\text{Fe}_2\text{O}_3$ )、中間層マグネタイト(Magnetite:  $\text{Fe}_3\text{O}_4$ )、大部分は内層ウスタイト(Wustite:  $\text{FeO}$ )の3層から構成される。このうちのヘマタイト相は1450℃を越えると存在しなく、ウスタイト相は570℃以上で生成されるのはFe-O系平衡状態図から説明される。鍛造剥片を王水(塩酸3:硝酸1)で腐食すると、外層ヘマタイト(IIcmatite:  $\text{Fe}_2\text{O}_3$ )は腐食しても侵されず、中間層マグネタイト(Magnetite:  $\text{Fe}_3\text{O}_4$ )は貫通する。内層のウスタイト(Wustite:  $\text{FeO}$ )は黒変する。鍛打作業前半段階では内層ウスタイト(Wustite:  $\text{FeO}$ )が粒状化を早し、鍛打仕上げ時になると非晶質化する。鍛打作業工程のどの段階が行われていたか推定する手がかりともなる。



Fe-O系平衡状態図

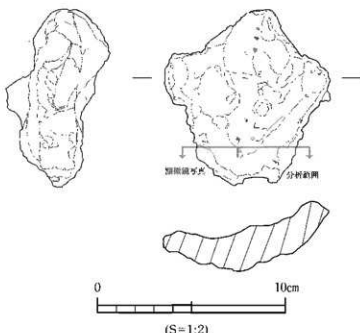


(2) 日刊工業新聞社『焼結組織写真および識別法』1968

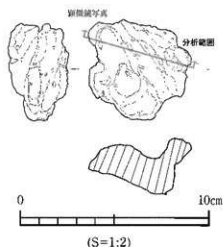
ウスタイトは450~500Hv、マグネタイトは500~600Hv、ファイヤライトは600~700Hvの範囲が提示されている。



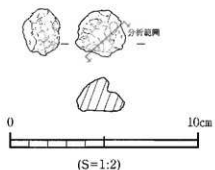
山上状況	遺 跡 名	九景川遺跡		遺物No.	第153回16			項 目	洋	メタル		
	出土位置	皿込F4西側溝		時期: 概観	鎌倉時代?							
試料記号	検 鏡: KUK1	計	長さ	9.3cm	色 澤	表: 茶褐色	遺 存 度	一部欠損	分 析	マクロ		
	化 学: KUK-1		測 幅	8.7cm		地: 茶褐色	破 面 数	5		X線分析		
	放射線:		幅 厚さ	2.0cm							化学	
遺物種類 (名称)	碗形鍍治滓	重 量	269.4g	磁着度	4	前 含 浸	—			放射線		
				メタル度	H(○)	断面観察	—			X線透過		
観察所見	<p>平面形が不整な立角形をした碗形鍍治滓である。側縁部は大きな破面となっており、一部に厚く上砂が付着する。上面は中央が大きく窪んでおり、表面は酸化物のため不明であるが、僅かに細かい木炭や気孔が見られる。底面は丸味のある碗形を呈し、表面には僅かに伊表の小石片が付く他、2次的に付着した土砂や木炭片も見られる。</p>											
分析部分 備 考	<p>長軸端部1/4を切断し、滓部を分析に用いる。残材返却。</p>											



出土状況	遺跡名	九景川遺跡		遺物 No.	第21回6			項目	洋	メタル	
	出土位置	I区3層ST		時期: 根拠	鎌倉時代 共伴土器による			ウツロ			
試料記号	検 査: KUK-2	計	長さ	5.4 cm	色 調	表: 茶褐色	裏 存 度	破 片	分	根 拠	
	化 学: KUK-2		測 幅	5.3 cm		地: 灰褐色	破 面 数	4		根 拠	C M A
	放射化:		組 厚さ	1.9 cm	磁 吸 度		4	粘 合 剤		—	X線透視
遺物種類 (名称)	椀形鍛冶滓	重 量	85.3 g	メタル度	なし	断面樹脂		放射化		X線透視	
観察所見	<p>平面形が不整な五角形状をした椀形鍛冶滓である。上、下に2つの椀形滓が重なっているもので、ともに側縁の一部を欠すが破面が大きく原状は留めていない。下側の椀形滓は平面が三角形状、断面は一方が厚い形状をなしており、厚みは現状で0.8 cmを薄く、底面には細かい気孔と木炭が見られる。断面上部には石灰の塊み込みや薄い層状のものが観察できるが、これは下側の椀形滓の上に形成を辿りた跡の痕跡と思われる。上側の椀形滓は平面が不整な三角形状、断面は椀形を呈し、厚みは現状で1.6 cmと下側の滓に比べ厚い。上底には幅1.5 cm・深さ1.0 cm、断面が半円形状をした工具痕が残っている。表面には大小の気孔とがある他、細かな小破片も付着する。</p>										
分析部分	長軸端部1/4を切断し、滓部を分析に用いる。残材返却。										
備 考	2段に重なった椀形鍛冶滓である。全体としては厚みがあるように見えるが、それぞれの滓は比較的薄く、小形鍛冶鍛冶滓であることが考えられる。										



山七状況	遺跡名	丸瀬川遺跡		遺物No.	第21図7			項目	洋	メタル			
	出土位置	I区3号NE		時期：規模	鎌倉時代 共存土器による								
試料記号	検 査：KUK-3	計	長さ	2.5 cm	色 調	表：黒褐色	裏：黒褐色	破片	分 析	マクロ	焼 風		
	化 学：KUK-3		淵 幅	2.7 cm		地：黒褐色	液 面 数	3		X線回折	化学		酸化
	放射化：		値 厚さ	1.8 cm		磁着度	4	前 含 浸		—	放射化		
遺物種類 (名称)	椀形銀治洋	重量	12.4 g	メタル度	なし	断面観察	—	X線透過					
観察所見	椀形銀治洋の筒縁部小片である。一部、原形を留めるところがあるが、多くは破面となっており、本来の形状は不明である。上面は平場、下面には縄文を呈するものと思われ、僅かに伊底七が付着する。上面及び断面には大小の気孔が見られる。												
分析部分 備 考	全量または長軸端部 1/2 を切断し、洋部を分析に用いる。検材返却。												



## 第2節 九景川遺跡発掘調査に伴う自然科学分析

渡辺正巳（文化財調査コンサルタント株式会社）

### はじめに

本報は、「九景川遺跡」発掘調査に伴って検出された各層が耕作に関連するか否かを、判断するための資料とする目的で、鳥根県教育庁埋蔵文化財調査センターが文化財調査コンサルタント株式会社に委託して実施した軟X線観察、花粉分析、植物珪酸体分析の報告書をまとめ直したものである。

九景川遺跡は鳥根県東部の出雲市東神西町地内に位置し、出雲平野南西部で、中国山地に続く丘陵と沖積平野の接点に立地する。

### 分析試料について

図1のⅢ区内「試料採取地点」で、深さ125cm、幅10cmの柱状試料を採取した。その後試験室内で縦25cm×幅10cm×厚さ1cm×5本に整形し、透明アクリルケースに入れたものを軟X線観察用試料とした（上位よりKK1～5とした）。さらに、軟X線観察結果を基に試料を分割し、花粉分析、植物珪酸体分析用試料とした。それぞれの分析に用いた試料は、各ダイアグラム中の①～⑤の位置に相当する。



図1 試料採取地点

## 分析（観察）方法

### (1) 軟X線観察

40kVp・4mAの電流を50秒～1分20秒かけて試料の上方60～70cmより照射し印画紙を感光させた。印画紙を現像後、スキャナで読み込み、ディスプレイ上で観察・記載を行った。記載に当たり、「土壌記載薄片ハンドブック（久馬・八木：訳監修，1989）を参考にした。

### (2) 花粉分析

処理は渡辺(1995)に従って行った。プレパラートの観察・同定は、光学顕微鏡により通常400倍で、必要に応じ600倍あるいは1000倍を用いて行った。花粉分析では原則的に木本花粉総数が200個体以上になるまで同定を行い、同時に検出される草本・胞子化石の同定も行った。またイネ科花粉を、中村(1974)に従いイネを含む可能性の高い大型のイネ科(40ミクロン以上)と、イネを含む可能性の低い小型のイネ科(40ミクロン未満)に細分している。

### (3) 植物珪酸体分析

分析処理は藤原(1976)のグラスビーズ法に従い行った。プレパラートの観察・同定は、光学顕微鏡により通常400倍で、必要に応じ600倍あるいは1000倍を用いた。同定、計数は、イネ及びイネ科主要分類群（機動細胞由来プラントオパール）、イネ科の形態分類群、ムギの穎由来プラントオパール、樹木起源プラント・オパールなどについて行い、同時に計数したグラスビーズの個数が300を超えるまで行った。

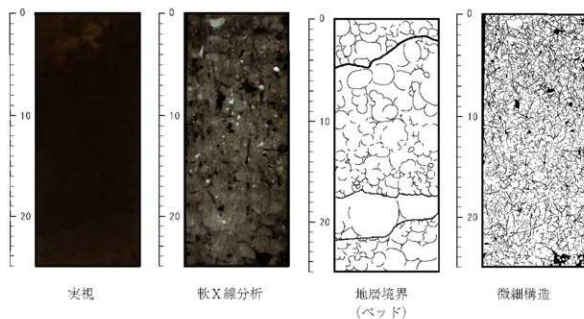
## 軟X線観察結果

上位から下位に向けて各試料の記載を行う。また、各試料について実視写真、軟X線写真、地層境界（ベッド）、微細構造を図版1～5に示す。

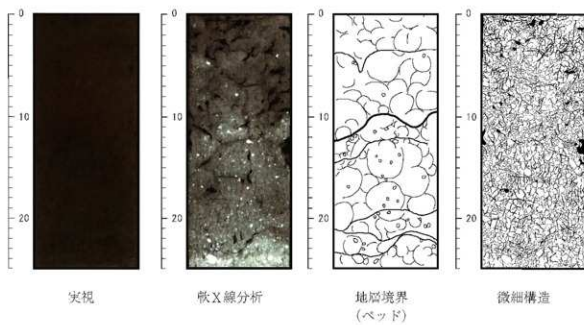
### (1) KK1

- ① 上部から2～5cmより上位：「1-g層」上部の盛り土である。マトリックスは粗砂混じり粘土である。1～2cm程度の礫（小ブロック）からなるが、ベッドの発達は弱い。
- ② 上部から2～5cmより下位：「1-g層」に相当する。ベッドの発達状態から幾つかの層に細分されることが分かる。
  - 1) 17cm付近まで：中砂質の粘土である。数mm径の大バグが顕著で、ベッドの発達は中程度であり、粗～極粗粒の小粒状のベッドからなる。7cm程度までは根の跡と考えられる直線的なチャネルが顕著である。中央部にベッドの発達が弱い部分があるほか、全体にベッドが右上がりに配列する傾向があるなど、さらに細分される可能性もある。
  - 2) 20～22cm付近まで：粗砂がわずかに混じるシルト質粘土である。長さ1cm程度の細いチャネルが顕著である。ベッドの発達は弱く、大バグも数個が観察されるのみであり、ごく粗粒の小粒状ベッドが並ぶ。
  - 3) 最下部まで：粗砂がわずかに混じる粘土である。ベッドの発達が強度で、部分的に細～中粒の直角塊状のベッドが認められ、これらが二次ベッドを成している。（右下の部分は試料整形に伴う損傷）

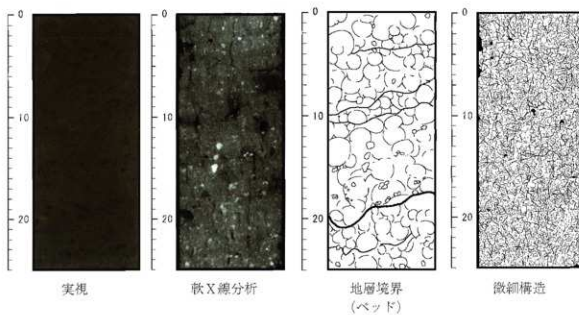
図版 1 (KK1)



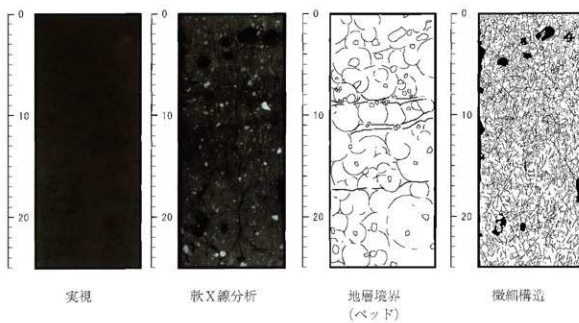
図版 2 (KK2)



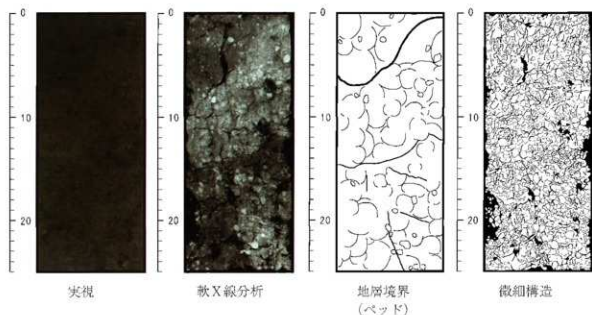
図版3 (KK3)



図版4 (KK4)



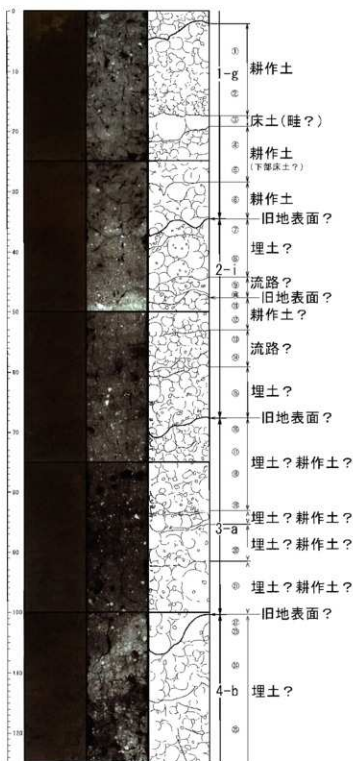
図版 5 (KK5)



(2) KK2

- ① 上部から 10～12cm より上位：「1-g 層」に相当する。粒土構成とベッドの発達状態から 2 層に細分されることが分かる。
- 1) 4cm 付近まで：中砂質の粘土である。ベッドの発達が強度で、細～中粒の亜角塊状～小粒状のベッドが認められる。また数 mm 径の大バグが顕著で、中程度に発達した二次ベッドが認められる。
  - 2) 10～12cm 付近まで：粗砂～極細礫が混じる粘土である。ベッドの発達が強度で、中～粗粒の亜角塊状～小粒状のベッドが認められる。また数 mm 径の大バグが顕著で、中程度に発達した二次ベッド、三次ベッドが認められる。
- ② 上部から 10～12cm より下位：「2-i 層」に相当する。全体に酸化マンガンの検出が認められる。下部で砂粒がラミナ状に並ぶのが部分があるほか、粒土構成などから数層に細分される。
- 1) 境界より 2cm 程度の幅：粗砂～極細礫質のシルトである。ベッドの発達が部分的に強度で、細～中粒の亜角塊状のベッドが認められる部分がある。長さ 1～2cm の直線的なチャネルが左側に認められる。二次ベッドの発達は弱～中程度であり、顕著でない。
  - 2) 20cm 付近まで：粗砂～極細礫質の粘土である。ベッドの発達は中程度で極粗粒の亜角塊状のベッドが認められる。根による直線的なチャネルが顕著に認められるほか、数 mm 径の大バグも認められる。
  - 3) 右端で 22cm 付近まで、左端で消滅：中砂～極細礫質のシルトである。中砂～極細礫がラミナを成す。ベッドの発達は弱く、辛うじて粗粒のものが認められる。また、根による直線的なチャネルが顕著で、中バグも認められる。
  - 4) 左端で 23cm 付近まで、右端では薄く下位の層に乗る：シルト質の粗砂～極細礫である。粗砂～極細礫がラミナを成す。ベッドの発達は弱く辛うじて粗粒のものが認められる。上位の層が

図版6 解析結果 (試料分割No)



並ぶ。ある。ベッドの発達は中度で、極粗粒のベッドが認められる。また、根によると考えられる大バグが存在する。

4) 11 ~ 21cm 付近まで：粗砂～細礫質粘土である。ベッドの発達は中度で極粗粒のベッドが認められる。また根による直線的チャンネルが顕著であるほか、中程で水平方向に延びるチャンネルが認められる。

② 19 ~ 21cm より下位：「3a層」に相当する。中砂～極細礫質シルトであり、酸化マンガンの検

ら連続的に直線的なチャンネルが認められる。下位層との境界にジグザグ状のチャンネルが認められるが、試料採取時に発生した可能性が高い。

5) 下端まで：シルト質極細礫である。強度にベッドが発達し、細粒の礫として認められる。また、細粒の礫が集まった粗粒の二次ベッドが認められる。

### (3) KK3

① 上部から 19 ~ 21cm より上位：「2i層」に相当する。全体に酸化マンガンの検出が認められる。中程で砂粒がラミナ状に並ぶのが確認される。粒土構成から数層に細分される。

1) 4cm 付近まで：KK2 最下部より続く、シルト質極細礫である。左端は根によるじょう乱のために大バグが認められるなど、下位との境界が不鮮明である。ベッドが強く発達し、細粒の礫として認められる。また、細粒の礫が集まった粗粒の二次ベッドが認められる。

2) 7 ~ 10cm 付近まで：粗砂～極細礫質シルトで、下位との境界に粗砂がラミナ状に並ぶ。ベッドの発達は弱い。根による直線状のチャンネルが上位層より顕著であるほか、成因の分からないジグザグ状のチャンネルも認められる。

3) 10 ~ 11cm 付近まで：粗砂混粘土で、下位との境界に粗砂がラミナ状に

表1 微化石調査結果

試料No	花粉	炭	植物片	珪藻	火山ガラス	プラント・オパール
1	◎	○	△	○	△×	△×
2	◎	△	△	○	△×	△×
3	○	△	△	△	△×	△
4	◎	△×	△	○	△×	△
5	○	△×	△×	△	△×	△
6	◎	△×	△×	△	△×	○
7	○	△×	△×	△	△×	○
8	△	△	△×	△	△×	○
9	○	△	△×	△×	△×	△
10	△	△	△×	△×	△×	△
11	△	△	△×	△×	△×	△
12	○	△	△×	△	△×	△
13	△	△	△×	△	△×	△
14	△	△×	△×	△	△	△×
15	△	△	△×	△	△	△×
16	△	△	△×	△×	△×	△
17	△	△	△×	△×	△×	△
18	△	△	△×	△×	△	△×
19	△	○	△×	△	△	△
20	△	○	△×	○	△×	○
21	○	○	△×	◎	△	◎
22	△	△	△	○	△	◎
23	△	△	△	△×	△×	○
24	△×	○	△×	△×	△	△
25	△×	○	△×	△×	△	△

出が直上の層より顕著に認められる。ベッドの発達は中程度で、極粗粒のベッドが認められる。また、根による直線的なチャンネルが上位層より連続する。右端下部の曲線的なチャンネルは、試料整形時に発生したものと考えられる。

#### (4) KK4

- ① 全体：「3-a層」に相当する。中砂～極細礫質シルトである。全体に酸化マンガンが検出が認められる。中程に粘土質中砂の薄層が2層あり、全体を3層に分けることができる。
- 1) 9cm 付近まで：中砂～極細礫質シルトである。上部5cmまでに、根跡あるいは整形時に細礫が抜けた跡が大バグとして認められる。ベッドの発達は大程度で、極粗粒のベッドが認められる。特に下部では顕著で、極粗粒ベッドが並ぶ。また、根による直線的あるいはジグザグ状のチャンネルが顕著である。
- 2) 9～11cm 付近：層厚5mm程度の細～中砂混粘土上に挟まれる中砂～細礫混シルトである。チャ

ンネルが顕著でベッドの発達も強く、極粗粒ベッドが並ぶ。

- 3) 11～17cm付近：中砂～極細礫混シルトである。根による直線的なチャンネルが上下方向に顕著なほか、ジグザグ状のチャンネルも認められる。ベッドの発達は弱く、極粗粒ベッドが辛うじて認められる。
- 4) 17cm 付近より下位：中砂～極細礫混シルトであるが上位に比べさらに砂粒、礫の割合が少なくなる。ジグザグ状のチャンネルが顕著であるがベッドの発達は弱く、極粗粒ベッドが辛うじて認められる。

#### (5) KK5

- ① 上部から 0.5～9cm より上位：「3-a 層」に相当する。中砂～極細礫混シルトであり、全体に酸化マンガン検出が認められる。根による上下方向に延びる直線的なチャンネルが認められるが、ジグザグ状のチャンネルが顕著である。ジグザグ状のチャンネルは、試料整形時にできた可能性がある。ベッドの発達は弱く、極粗粒ベッドが辛うじて認められる。
- ② 上部から 0.5～9cm より下位：「4-b 層」に相当する。上部で酸化鉄、下部で酸化マンガンの検出が認められる。ベッドの発達は強度で中粒の亜角塊状ベッドが密集する。また、これらは二次ベッドを成している。粒上構成から 2 層に細分される。
  - 1) 12～15cm 付近まで：シルト質細礫である。亜角塊状の中粒ベッド（極小礫？疑礫？）が顕著で、さらにジグザグ状のあるいは曲線的なチャンネルで閉まれた二次ベッドを成している。これらのチャンネルはいずれも、試料採取時あるいは試料整形時にできた可能性がある。
  - 2) 12～15cm 付近より下位：シルト質細礫である。亜角塊状の中粒ベッド（極小礫？疑礫？）が顕著である。中粒ベッドには、シルトあるいは粘土からなるものと、シルトあるいは細砂からなるものがある。右下にはシルトあるいは細砂からなるベッドが角礫状の二次ベッドをなしている。

### 微化石調査結果

花粉分析用プレパラート、及び花粉分析処理残渣を用いた微化石の調査結果は、表 1 のとおりである（植物片、炭は花粉分析用プレパラートを観察した。珪藻、火山ガラス、植物珪酸体は、花粉分析処理の残渣を観察した）。

### 花粉分析結果

分析結果を図 2 の花粉ダイアグラムに示す。花粉ダイアグラムでは木本花粉総数を基数として分類群毎に百分率を算出し、木本花粉を黒塗りスペクトルで、草本花粉を白抜きスペクトルで示した。統計処理に十分な量の木本化石が検出できなかった試料では、検出できた種類を「\*」で示した。また右端の花粉総合ダイアグラムでは木本花粉を針葉樹花粉、広葉樹花粉に細分し、これらに草本花粉、胞子の総数を加えたものを基数として、分類群毎に累積百分率として示した。

### 植物珪酸体分析結果

分析結果を図 3 のプラント・オパールダイアグラムに示す。

プラント・オパールダイアグラムでは、1g あたりの含有数に換算した数を、検出した分類群毎



九景川遺跡Ⅲ区

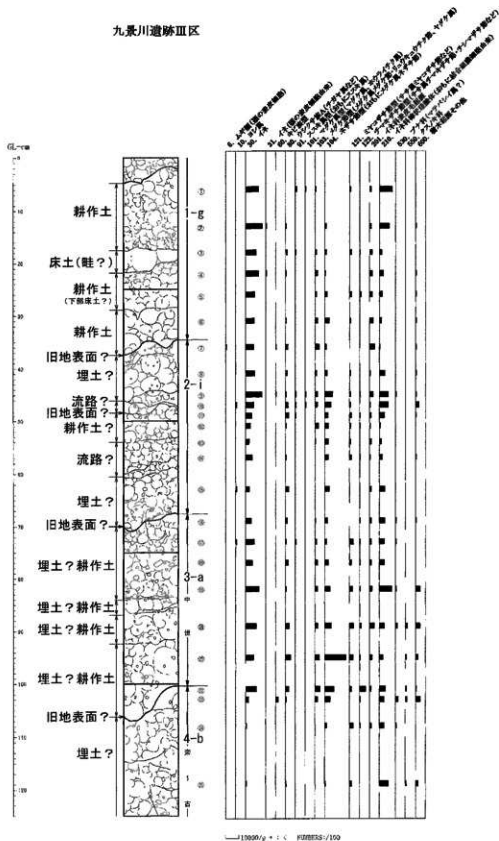


図3 九景川遺跡Ⅲ区植物珪酸体ダイアグラム

にスペクトルで示した。

## 耕作関連層の判定

図版6に、判定結果を示す。以下に、判定に至った根拠を示す。

### (1) 1-g層

ベッドの発達状況、堆積粒度の変化、堆積の不連続面の確認から5層に細分した(最上部はあきらかな盛り上りであった。。「耕作土」とした3層では、ベッドの発達は中～強度で、細～中粒のベッドからなる。また大バグが多数認められる。このような特徴から「耕作土」と判断した。「床土(畦?)」とした層ではベッドの発達が弱く極粗粒のベッドからなる。バグの量も「耕作土」にくらべ少ない。このような点から、「床土」と判断した。また、下位の「2-i」層との間には、粒度組成の違いや、酸化マンガンの沈着などにより、明らかな不連続面が認められる。

以下に、層毎のさらに詳細な特徴を示す。

#### ① 上部「耕作土」

中央部にベッドの発達がやや弱くバグの量が少なくなる部分があるなど、床土を示唆する部分がある。2層の耕作土と1層の床土に、さらに細分される可能性がある。

#### ②「床土(畦?)」

上部「耕作土」に対する「床土」と判断した。しかし、両層の間には明らかな不連続面があること、前述のように上部の「耕作土」中に「床土」の可能性のある部分があることなどから、「畦」の可能性も残る。

#### ③ 中部「耕作土」

下部「耕作土」との間には、明らかな不連続面が認められる。KK1とKK2の試料境界に当たることから、ベッド、バグの状況が不明瞭であるが、下部「耕作土」と接した部分でベッドの発達がやや悪いことから、この部分が床土である可能性も指摘できる。

#### ④ 下部「耕作土」

全体にベッドの発達が強度であり、バグの分布も一様である。床土に相当する部分がないが、「2-i層」最上部が床土である可能性もある。

### (2) 2-i層

現地での観察では明りょうな色調の違いとして、採取後には酸化マンガンの検出により上位の1-g層と区別される。層相は1-g層に比べ粗粒の碎屑物が目立つ。ベッドの発達は1-g層と大差ないが、バグの量が圧倒的に少ない。碎屑物がラミナ状の配列を示す部分が2層準で認められ、全体が大きく5層に分けることができた。

#### ① 上部「埋土?!」

ベッドの発達は中程度であり、極粗粒のベッドが認められる。バグも少ない。このことから、「埋土」の可能性があると考えた。ただし、上部の2cm程度は上位の「耕作土」の影響で、ベッドの発達が強く、細～中粒のベッドが顕著である。上位の「耕作土」に対する「床土」として盛られた可能性もある。

#### ② 上部「流路?」

中砂～極細礫などの碎屑物粒子が顕著である。これらの粒子が配列する傾向にある。上部はやや

細粒で、下部が粗粒であることからさらに2層に細分できる。また、下位層との境界が特に明確である。現地では分層されていなかった境界部が旧地表面である可能性が高い。

#### ③「耕作土？」

上位の「流路？」堆積物と層相が一転し、境界が明りょうなことから、上面が旧地表面であった可能性がある。上部では強度にベッドが発達し、細粒の礫として認められる。また、下部はベッドの発達が上部ほど強くなく、上部が耕作土で下部が床土である可能性もあるが、断定できない。

#### ④ 下部「流路」

上部では粗砂～細礫が、下部では粗砂がラミナ状の配列を示す。また、上部が下部に比べ粗粒であることから、2層に細分できる。

#### ⑤ 下部「埋土？」

ベッドの発達は中程度で極粗粒のベッドが認められるなど、積極的に耕作土とする理由に乏しく、「埋土」の可能性があると考えた。

### (3) 3-a 層

現地での観察では明りょうな色調の違いから、採取後には酸化マンガンの検出により上位の2-i層と区別される。上部の層相は2-i層に比べやや粗粒であるが、2-i層との明りょうな差は認められない。中央部に層厚5mm程度の2層の粘土層があり、この上下で層相が異なる。また下部では中砂～極細礫が少ない。これらのことから大きく4層に分けることができる。また、粘土あるいはシルトに砂あるいは極細礫が混入する層相は、耕作土あるいは埋土を想像させる。

### (4) 4-b 層

現地での観察では明りょうな色調の違いから、採取後には酸化鉄の検出により上位の3-a層と区別される。また、堆積物が硬いことも特徴であった。直角塊状の中粒ベッドが角礫状の二次ベッドを成していることから、埋土の可能性が指摘できる。

## 花粉分帯

花粉分析の結果を基に局地花粉帯を設定した。以下に各花粉帯の特徴を示す。また、本文中では花粉組成の変遷を明らかにするために、下位から上位に向けて記載し、試料№も下位から上位に向かって記した。

### (1) III 帯 (試料№ 23～16)

マツ属(複雑管束亜属)が卓越し、スギ属を伴う。草本花粉では特に高率を示す種類はない。

### (2) II 帯 (試料№ 15～3)

マツ属(複雑管束亜属)が卓越する。低率ではあるがスギ属、コナラ亜属が連続して出現する。草本花粉の出現傾向から、下位のb亜帯(試料№ 15～8:イネ科(40ミクロン以上)が増加傾向を示すほかカヤツリグサ科、イネ科(40ミクロン未満)、タンポポ亜科が卓越傾向にある。胞子の割合が高い。)と、上位のa亜帯(試料№ 7～3:イネ科(40ミクロン以上)が卓越する。胞子の割合が比較的低い。)に細分される。

### (3) I 帯 (試料№ 2, 1)

マツ属(複雑管束亜属)が卓越し、スギ属、コナラ亜属を伴う。草本花粉ではイネ科(40ミクロン以上)が卓越するほか、イネ科(40ミクロン未満)、アブラナ科、ナデシコ科、アカザ科-ヒユ科、タンポポ

車科も特徴的に検出できた。

### 花粉組成の広域対比

鳥根県東部地域の標準的な花粉帯（大西，1993）及び、山雲市内に位置する三田谷Ⅰ遺跡での局地花粉帯（渡辺，2000）との比較検討を行う。

今回の花粉組成の特徴は、マツ属（複維管束亜属）の卓越である。この花粉組成の特徴は、大西（1993）ではイネ科花粉帯マツ属車帯、マツ・スギ車帯で認められる。しかし、同亜帯は近世以降の植生を示すと考えられており、今回の中世の堆積物という考古遺物からの推定年代と矛盾する。一方三田谷Ⅰ遺跡では、古代末から中世の間においてマツ属（複維管束亜属）が増し、中世ではマツ属（複維管束亜属）が卓越するようになる。またこの間に、古代で卓越傾向にあったスギ属が減少するほか、アカガシ亜属も減少する。今回の花粉組成とその考古遺物からの推定年代は、三田谷Ⅰ遺跡で得られた結果とほぼ一致している。また、三田谷Ⅰ遺跡と本道跡の間にある古志本郷遺跡（川崎地質（株），1999）、下古志遺跡（渡辺，2001）でも、マツ属（複維管束亜属）の卓越傾向は中世以前から認められている。このように、中世でのマツ属（複維管束亜属）の卓越傾向は、出雲平野南部における特異な現象と考えられる。

一方でこの原因については、幾つか考えられる。三田谷Ⅰ遺跡では、背後に横穴墓や古墳、山雲守護の居館や城が築かれたことなどによる森林破壊を原因とするアカマツ林の成立を推定している。また、古志本郷遺跡や下古志遺跡では、クロマツ海岸林の成立を推定している。今回の遺跡の立地を考えると、神西湖（神門水界）の旧汀線との位置関係から、クロマツ海岸林が近くに成立していたとも、背後の丘陵にアカマツ林が成立していたとも考えられる。

三田谷Ⅰ遺跡の花粉組成と詳細に比較すると、今回のⅢ帯が三田谷Ⅰ遺跡のⅡ帯b車帯からa車帯下部、今回のⅡ帯が三田谷Ⅰ遺跡のⅡ帯a亜帯上部、今回のⅠ帯が三田谷Ⅰ遺跡のⅠ帯に対比できる。したがって、今回のⅡ帯が近世、Ⅰ帯が近代から現代の植生を表していると考えられる。

### 古環境変遷

#### (1) Ⅲ帯期前（古墳～奈良）

花粉化石の含有量が極めて少なかった。一方で、胞子化石の含有量は比較的多かった。前述の微化石調査結果で明らかのように、炭片の含有量は比較的多く、珪藻化石の含有量は少なかった。また植物珪酸体分析の結果では、植物珪酸体そのものの含有量も少なかった。

図版に示したように、試料№24、25を採取した4b層は暗青灰色の色調を示す「クライ土」であり、地下水位が高く、停滞したために強還元環境にあった事が分かる。これらのことから、花粉化石など微化石が、強還元環境の下に溶解・消滅した可能性が指摘できる。

一方で、軟X線観察で偽礫（ベッド）の発達が顕著なことから、同層準が埋土である可能性が示唆されていた。さらに九景川遺跡は小谷に形成された扇状地上に位置することから、土石流や河川氾濫などによる堆積物であった可能性も指摘できる。したがって、急激な堆積により、花粉化石などの微化石がほとんど取り込まれなかったか、検出された微化石がいわゆる二次堆積であったと考えられるほか、上位層準から混入したものである可能性もある。

わずかながら検出された「イネ」の植物珪酸体については、上位層（3a層）からの混入である

可能性が強い。

## (2) III 帯期 (中世)

### ① 堆積状況

ほぼ 3a 層から成る。3a 層は、軟 X 線観察では耕作土とされていたが、埋土の可能性も否定されていなかった。しかし遺物に対応した花粉組成が得られたことから、自然に堆積 (あるいは断続的に造成され、耕作土として用いられた) した可能性がより高くなった。

花粉化石の含有量がやや低く、イネ科 (40 ミクロン以上) 花粉の出現率も低いものの、「イネ」の植物珪酸体は多量に検出されることから、耕作土であった可能性が高い。また、軟 X 線観察で数ユニットに分かれることから、数枚の耕作土層が重なっている事が分かる。

一方、花粉化石の含有量がやや少ないのは、グライ化による花粉粒の溶解、あるいは層毎に耕作期間が短く、十分な量の花粉化石が能集しなかったためと考えられる。

### ② 近辺の植生

前述のように、調査地点では稲作が行われていたと考えられる。ただし、イネ科 (40 ミクロン以上) 花粉の出現率は低く、イネ科 (40 ミクロン未満)、カヤツリグサ科、アカザ科・ヒユ科などの水田雑草に由来すると考えられる種類の花粉が多く検出されることから、集約的な農法が行われていたとは考えにくい。水田内にはかなり雑草が目立っていたのではなからうか。

### ③ 背後の丘陵

前述のようにマツ属 (縦維管束東属) 花粉が卓越することから、背後の丘陵にはアカマツ林が広がっていたと考えられる。一方で、下部では「ブナ科 (マテバシイ属?)」や「クスノキ科」の植物珪酸体が検出されるなど、近隣での照葉樹の存在が推定される。

またスギ属花粉が比較的高率で検出され、遺跡近辺の丘陵縁辺の扇状地末端近く、あるいは湿地内にスギが生育していたと考えられる。

## (3) II 帯期 (近世)

### ① 堆積状況

2i 層、1-g 層最下部が相当する。当初、1-g 層は造成土と考えられていたが、軟 X 線観察では耕作土及び床土の可能性が指摘されていた。今回はほぼ連綿的な花粉組成が、2i 層、1-g 層ともに得られたことから、造成土の可能性は低く、自然に堆積 (あるいは断続的に造成され、耕作土として用いられた) した可能性が高くなった。

また軟 X 線観察で埋土の可能性が指摘された層準についても、花粉組成が連続的に変化することから、造成土の可能性は低いと考えられる。さらに流路の可能性が指摘された層準からは、流路を裏付けるような種類の花粉化石は得られず、一連の堆積物と考えられた。

### ② 近辺の植生

「イネ」植物珪酸体の検出傾向は、試料 No. 9、14 をピークとして下位に向かい減少傾向を示している。またイネ科 (40 ミクロン以上) 花粉はこれらとは運動せず、試料 No. 11 から下位に向かい減少傾向を示し、試料 No. 10 より上位では 70 ~ 90% で安定して出現している。調査地点では、この期間のほとんどの時期で稲作が行われていたと考えられる。ただし、一時的に稲作が行われていなかった時期があった可能性も指摘できる。

イネ科 (40 ミクロン以上) 花粉の検出量の比較的小さい試料 No. 10 ~ 14 (2i 層) では、ソバ属花粉

が断続的にはあるが検出され、出ではなく畑が広がっていた可能性も指摘できる。

### ③ 背後の丘陵

前述のようにマツ属（複雑管束亜属）花粉が卓越することから、背後の丘陵にはアカマツ林が広がっていたと考えられる。アカマツ林にはコナラ類などの先駆的な落葉広葉樹が混雑し、いわゆる「里山」を成していたと考えられる。

## (4) I 帯期（近代～現代）

### ① 堆積状況

1-g 層下部が相当する。イネ科（40ミクロン以上）花粉の高率での出現、「イネ」植物珪酸体の多量の含有から、軟X線観察結果同様に耕作土であったと考えられる。

### ② 近辺の植生

「イネ」植物珪酸体の含有量は2試料とも多く、イネ科（40ミクロン以上）花粉も高率を示すことから、調査地点で稲作が行われていたと考えられる。また、ソバ属花粉もわずかに検出されることから、裏作や休耕地、畦を利用したソバ栽培が行われていた可能性も指摘できる。

### ③ 背後の丘陵

マツ属（複雑管束亜属）花粉が卓越しコナラ亜属花粉を伴うことから、背後の丘陵にはコナラ類などの先駆的な落葉広葉樹を混雑するアカマツ林が分布し、いわゆる「里山」を成していたと考えられる。またスギ属花粉の増加は、近辺での植生の影響であると考えられる。

## まとめ

九景川遺跡での各種自然科学分析の結果以下のことが明らかになった。

- (1) 古墳時代～奈良時代に堆積したと考えられていた4-b層は「グライト」と成っていた。堆積後の地下水位が高く、停滞してために強還元環境にあったと考えられる。このため、微化石が溶解・消滅していた可能性が指摘できる。また、同層には土石流や河川氾濫などで急激に堆積した可能性が指摘できた。微化石の含有量が少ない原因として、このことも指摘できる。
- (2) 軟X線観察では、中世の堆積物である3-a層が埋土である可能性が指摘された。一方で花粉分析結果では花粉化石群集が連続的に変化することから、埋土ではなく自然に堆積（あるいは断続的に造成され、耕作土として用いられた）した可能性が指摘できた。
- (3) 軟X線観察では、近世の堆積物である2-i層が埋土あるいは流路での堆積である可能性が指摘された。これらの層でも花粉化石群集は連続的に変化し、埋土ではなく自然に堆積（あるいは断続的に造成され、耕作土として用いられた）したと考えられた。また、流路堆積物とする積極的な証拠が認められなかった。
- (4) 中世以降の局地花粉帯として、I～III帯が設定され、さらにII帯がa、b帯に細分できた。
- (5) 九景川遺跡での花粉組成変遷は、出雲平野南部の地域花粉帯と一致した。また、山陰地域中央部の地域花粉帯と比較した場合、若干早い時期からマツ属（複雑管束亜属）が高率を示すことが確認できた。
- (6) 遺跡近辺では、中世以降、稲作が行われていたと考えられる。ただし、畑作が中心であった時期も推定された。

## 引用文献

- 大西郁夫 (1993) 中海・宍道湖周辺地域における過去 2000 年間の花粉分帯と植生変化。地質学論集, 39., 33-39.
- 川崎地質株式会社 (1999) 古志本郷遺跡発掘調査に伴う花粉分析。古志本郷遺跡 I - 斐伊川放水路建設予定地内埋蔵文化財発掘調査報告書 VI., 332-338. 建設省出雲工事事務所・島根県教育委員会。
- 中村 純 (1974) イネ科花粉について、とくにイネを中心として。第四紀研究, 13,187-197
- 藤原宏志 (1976) プラント・オパール分析法の基礎的研究 (1) - 数種イネ科栽培植物の珪酸体標本と定量分析法 -。考古学と自然科学, 9, p.15 - 29. 図表一覽。
- 渡辺正巳 (1995) 花粉分析法。考古資料分析法, 84, 85. ニュー・サイエンス社
- 渡辺正巳 (2000) 三田谷 I 遺跡 e 区発掘調査に係る花粉分析。三田谷 I 遺跡-塩冶 299 号線道路新設工事に伴う埋蔵文化財発掘調査報告書, 65-70. 出雲市教育委員会。
- 渡辺正巳 (2004) 下古志遺跡発掘調査に伴う花粉分析等調査。一般県道多伎江南出雲線改良工事に伴う埋蔵文化財発掘調査報告書下古志遺跡-本編, 472-485. 出雲市教育委員会。

### 第3節 九景川遺跡出土柱材の樹種同定及びAMS年代測定

渡辺正巳（文化財調査コンサルタント株式会社）・古野毅（同）

#### はじめに

本報は、調査に伴って検出された建物群の柱材の用材を明らかにするとともに、建設年代を明らかにする目的で、鳥根県教育庁埋蔵文化財調査センターが文化財調査コンサルタント株式会社に委託・実施した業務報告書の概報である。

九景川遺跡は鳥根県東部の山雲市東神西町地内に位置し、山雲平野南西部で、中国山地に続く丘陵と沖積平野の接点に立地する。

#### 同定（測定）試料および同定（測定）方法について

##### (1) 試料について

樹種同定試料およびAMS年代測定試料を、図1、2に示す各地点から採取した。樹種同定試料、AMS年代測定試料それぞれの一覧表を表1、2に示す。また、それぞれには重複があり、双方に試料名が掲載されている試料もある。

##### (2) 樹種同定方法

顕微鏡観察用永久プレパラートは、渡辺（2000）に従い作成した。作成した永久プレパラートには整理番号を付け、文化財調査コンサルタント（株）にて保管管理をしている。顕微鏡観察は、光学顕微鏡下で4倍～600倍の倍率で行った。同定した分類群ごとに最も特徴的な試料について、3断面の顕微鏡写真撮影を行うとともに、島地ほか（1985）の用語に基本的に従い、記載を行った。

##### (3) AMS年代測定方法

試料に酸・アルカリ・酸洗浄を施して不純物を除去した後、石墨（グラファイト）に調整し、加速器質量分析計（AMS）を用いて測定を行った。

表2に $\delta$ 測定年代、 $\delta^{13}C$ 、補正 $^{14}C$ 、暦年較正用年代、暦年較正年代を示した。測定年代は、最も古くから用いられている年代である。補正 $^{14}C$ は、リビーの半減期（5568年）を用いるとともに、 $\delta^{13}C = -25\%$ となるように補正・算出した暦年較正用年代を、5年単位で丸めた値である。これら3つの年代は、西暦1950年からさかのぼった年代値である（誤差を $1\sigma: 68.3\%$ 領域で示す）。暦年較正年代は、暦年較正用年代を暦年代較正データ（INTCAL04）を用いて、Oxcal Ver3.1により較正したものである。また、図8に、各試料の $2\sigma: 95.4\%$ 領域での暦年較正年代を示した。

#### 樹種同定結果と記載

遺跡毎に、分類群毎の記載を行った。また、表1に同定結果を示した。また、下線試料の顕微鏡写真を巻末に掲載した。

##### 1) スギ *Cryptomeria japonica* D.Don

試料No. : 16(W05122704), 18(W05122706)

記載：構成細胞は仮道管、樹脂細胞、放射柔細胞からなる。早材から晩材への移行は緩やかで、晩材の幅は広い。樹脂細胞は主に晩材部に分布している。分野壁孔は不明瞭であるが、人型のものが

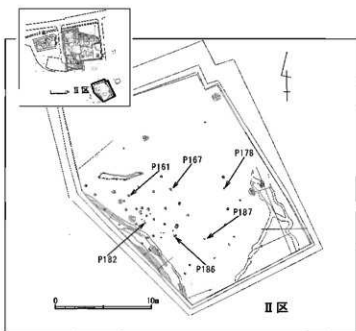


図1 試料採取地点（Ⅱ区）

Ⅱ区では樹種同定を実施していない。年代測定試料をピットNoで示す。



図2 試料採取地点（Ⅲ区）

樹種同定試料を樹種同定整理No、年代測定試料はピットNoで示す。  
樹種同定と年代測定の両方と実施した試料は、樹種同定整理Noのみを示す。

表1 樹種同定結果

図2中には、樹種同定整理Noで試料採取地点(分布)を示す。

整理No	ピットNo	整理番号	樹種名	種類	遺構	時代
2	941	W05122601	クリ	柱材	建物 13	弥生後期
3	860	W05122602	クリ	柱材		
4	924	W05122603	クリ	柱材	建物 10	奈良
5	812	W05122604	クリ	柱材	建物 10	奈良
6	820	W05122605	クリ	柱材	建物 10	奈良
7	816	W05122606	クリ	柱材	建物 10	奈良
8	913	W05122607	クリ	柱材	建物 10	奈良
9	912	W05122608	クリ	柱材	建物 10	奈良
10	779	W05122609	サクラ属	柱材	建物 12	奈良
11	618	W05122610	ノグルミ	柱材	建物 12	奈良
12	633	W05122701	ケヤキ	柱材	建物 12	奈良
14	538	W05122702	クリ	柱材		奈良
15	523	W05122703	クリ	柱材		奈良
16	376	W05122704	スギ	柱材	建物 8	奈良
17	397	W05122705	ウルシ	柱材		奈良
18	359	W05122706	スギ	柱材		奈良
19	453	W05122801	クスノキ	柱材	建物 7	奈良
20	415	W05122802	ヒノキ属類似	柱材	建物 7	奈良
21	642	W05122803	ヒノキ属類似	柱材	建物 11	古墳中期
22	840	W05122804	ヒノキ属類似	柱材	建物 11	古墳中期
23	834	W05122805	ヒノキ属類似	柱材	建物 11	古墳中期
24	824	W05122806	ヒノキ属類似	柱材	建物 11	古墳中期
25	826	W05122807	ヒノキ属類似	柱材	建物 11	古墳中期
26	827	W05122808	ヒノキ属類似	柱材	建物 11	古墳中期

表2 年代測定結果  
 樹種同定を行った試料には樹種同定整理も示した。

No.	遺体名	区別	樹種	測定年代 (年BP)	Δ13C (‰)	測定Δ13C (‰)	樹種同定年代 (年BP)	樹種同定年代		測定年代 (年BP)		
								Δ13C (‰)	樹種			
7-1	遺体 7941	2	杉・タリ 総樹	1390 7.20	-27.07 7.014	1395 7.20	1394 7.21	A1050 = 69940.5%	A1070 = 71813.7%	A1040 = 70422.0%	A1060 70695.4%	6132
7-2	遺体 7940	3	杉・タリ 総樹	1390 7.20	-27.25 7.014	1395 7.20	1319 7.20	A1060 = 67968.7%	A1070 = 70044.6%	A1050 = 70021.3%	A1060 = 69395.4%	6133
10-3	遺体 1904	4	杉・タリ 総樹	1290 7.20	-28.14 7.016	1290 7.20	1219 7.20	A1060 = 72584.4%	A1070 = 73001.2%	A1050 = 72933.9%	A1070 73001.2%	6130
15-4	遺体 1913	12	杉・タリ 総樹	1330 7.20	-29.04 7.012	1330 7.20	1267 7.21	A1060 = 65588.5%	A1060 = 70079.9%	A1070 = 7272.3%	A1070 7272.3%	6131
15-5	遺体 1918	14	杉・タリ 総樹	1330 7.20	-27.73 7.015	1330 7.20	1264 7.20	A1060 = 71963.4%	A1070 = 7252.3%	A1060 = 70955.1%	A1060 70955.1%	6132
16-6	遺体 1913	13	杉・タリ 総樹	1330 7.20	-27.29 7.014	1330 7.20	1264 7.20	A1060 = 71963.4%	A1070 = 7252.3%	A1060 = 70955.1%	A1060 70955.1%	6133
15-7	遺体 1915	16	杉・タリ 総樹	1260 7.20	-28.68 7.013	1260 7.20	1268 7.20	A1060 = 73810.6%	A1070 = 74627.2%	A1050 = 73427.2%	A1060 73810.6%	6134
16-8	遺体 1919	18	杉・タリ 総樹	1310 7.20	-28.62 7.016	1310 7.20	1294 7.19	A1070 = 73043.2%	A1070 = 73925.0%	A1060 = 72077.7%	A1060 72077.7%	6135
16-9	遺体 1943	19	杉・タリ 総樹	1365 7.20	-28.94 7.014	1365 7.20	1318 7.20	A1060 = 69627.7%	A1070 = 72110.1%	A1050 = 7191.9%	A1060 72110.1%	6136
16-10	遺体 2042	21	杉・ヒノキ 総樹	1430 7.20	-26.97 7.017	1430 7.20	1318 7.21	A1070 = 75014.4%	A1070 = 76035.3%	A1050 = 74928.3%	A1070 76035.3%	6137
16-11	遺体 2046		杉 総樹	1330 7.20	-28.21 7.012	1450 7.20	1407 7.19	A1030 66168.2%	A1060 = 65095.4%	A1060 = 65095.4%	A1060 65095.4%	6138
16-12	遺体 1943		杉 総樹	1270 7.20	-30.08 7.014	1580 7.20	1487 7.19	A1060 = 4801.73%	A1060 = 54005.6%	A1060 = 54005.6%	A1060 54005.6%	6139
16-13	遺体 1947		杉 総樹	1225 7.20	31.28 7.013	1640 7.20	1634 7.20	A1060 = 4401.2%	A1060 = 53225.2%	A1060 = 53225.2%	A1060 53225.2%	6140
16-14	遺体 1919		杉 総樹	1320 7.20	-26.80 7.014	1260 7.20	1264 7.21	A1060 = 70079.9%	A1070 = 7272.3%	A1060 = 70079.9%	A1060 70079.9%	6141
16-15	遺体 1942		杉 総樹	1405 7.20	-27.86 7.014	1550 7.20	1454 7.19	A1060 = 49039.4%	A1070 = 50934.3%	A1060 = 49039.4%	A1060 49039.4%	6142
16-16	遺体 1946		杉 総樹	1500 7.20	-27.79 7.018	1330 7.20	1340 7.21	A1070 = 49048.4%	A1070 = 49048.4%	A1060 = 49048.4%	A1060 49048.4%	6143
16-17	遺体 1947		杉 総樹	1605 7.20	-28.36 7.020	1510 7.20	1343 7.21	A1060 = 79042.7%	A1070 = 69239.0%	A1060 = 69239.0%	A1060 69239.0%	6144
16-18	遺体 1928		杉 総樹	1260 7.20	-28.95 7.017	1360 7.20	1265 7.21	A1060 = 76125.1%	A1060 = 87560.4%	A1060 = 87560.4%	A1060 87560.4%	6145
16-19	遺体 1928		杉 総樹	1320 7.20	-27.62 7.016	1380 7.20	1281 7.22	A1060 = 72039.2%	A1070 = 73931.0%	A1060 = 72039.2%	A1060 72039.2%	6146
16-20	遺体 1946		杉 総樹	140 7.20	-27.30 7.017	105 7.20	105 7.20	A1060 = 59053.0%	A1070 = 60021.2%	A1060 = 59053.0%	A1060 59053.0%	6147
16-21	遺体 1928		杉 総樹	1540 7.20	30.17 7.021	1450 7.20	1367 7.22	A1060 = 64668.2%	A1060 = 64668.2%	A1060 = 64668.2%	A1060 64668.2%	6148

2～3個存在することなどから、スギと同定した。

2) ヒノキ属 類似 cf. *Chamaecyparis* sp.

試料No: 20(W05122802), 21(W05122803), 22(W05122804), 23(W05122805), 24(W05122806), 25(W05122807), 26(W05122808)

記載: 構成細胞は仮道管、樹脂細胞、放射柔細胞からなる。早材から晩材への移行は緩やかで、晩材の幅は狭い。樹脂細胞は主に晩材部に認められるが目立たなく、内容物(樹脂様物質)は少ない。仮道管壁のらせん肥厚は認められなかった。劣化状態が激しいために、分野壁孔が明瞭に観察できなかったが、小型の壁孔が存在することなどから、ヒノキ属と推定されるが、断定には至らなかった。このためヒノキ属類似としておく。

3) クリ *Castanea crenata* Sieb. et Zucc.

試料 No: 2(W05122601), 3(W05122602), 4(W05122603), 5(W05122604), 6(W05122605), 7(W05122606), 8(W05122607), 9(W05122608), 14(W05122702), 15(W05122703)

記載: 環孔材で、径 350～500  $\mu$  m の楕円形の道管が単独で多列に配列し、孔圈部の幅はかなり広い。孔圏外の道管は小さく、やや火炎状に配列する。道管せん孔は単せん孔である。また、道管にはチロースが顕著に認められる。孔圏道管の周りには周壁仮道管が存在する。軸方向柔細胞は単接線状に配列するのが認められる。放射組織は平伏細胞からなる単列同性型である。以上の組織上の特徴からクリと同定した。

4) ケヤキ *Zelkova serrata* (Thunb.) Makino

試料No: 12(W05122701)

記載: 環孔材で、径 250～350  $\mu$  m の円形ないし楕円形の道管が単独でほとんど単列に配列する。孔圏外には小さく角張った道管が多数房状に集合し、接線状ないし斜線状の集団管孔を形成している。道管せん孔は単せん孔で、小道管にはらせん肥厚が認められる。放射組織は異性で1～7細胞幅で、特に5～6細胞幅の大きさが一様な紡錘形放射組織が目立つ。放射組織の高さは850  $\mu$  m までであり、上下の縁辺に大型の結晶細胞が存在するものがある。軸方向柔細胞は周囲状である。以上の組織上の特徴から、ケヤキと同定した。

5) クスノキ *Cinnamomum camphora* (L.) Presl

試料No: 19(W05122801)

記載: 散孔材で、やや角張った径 30～100  $\mu$  m の道管が単独あるいは主に放射方向に2～3個複合する。軸方向柔細胞は道管の周囲を厚いさや状に囲む周囲状である。道管せん孔は単せん孔、道管相互壁孔は交互壁孔を示す。道管内にはチロースが認められる。放射組織は異性で、1～3細胞幅であるが、大部分は2細胞幅である。道管放射組織間壁孔は対列～階段状である。異形細胞である油細胞が放射柔細胞及び軸方向柔細胞に認められる。以上の組織上の特徴から、クスノキと同定した。

6) サクラ属 *Prunus* sp.

試料No: 10(W05122609)

記載: 散孔材で、径 30～50  $\mu$  m の道管が単独ないし2～5個放射方向ないし斜め方向に複合し、年輪内に散在状に分布する。道管せん孔は単せん孔で、道管相互壁孔は交互状である。顕著であるが、道管の側壁にらせん肥厚が認められる。道管内腔に濃赤褐色の着色物質が詰まっているのが

非常に目立つ。放射組織は同性ないし上下縁辺に方形細胞を持つ異性であり、1～5細胞幅で高さは600  $\mu\text{m}$  までである。軸方向柔組織は散在状である。以上の組織上の特徴から、サクラ属と同定した。

(7) ノグレルミ *Platycarya strobilacea* Sieb. et Zucc.

試料No: 11(W05122610)

記載: 環孔材で、径250～300  $\mu\text{m}$  の円形ないし楕円形の道管が単独ないし2個放射方向に複合し、多列(4～5列)に配列する。孔圏外では急激に径を減じ、小さく角張った道管が多数房状に集合し、斜線状に配列する。道管せん孔は単せん孔である。道管内にチロースが非常に良く発達している。放射組織は異性で、1～5細胞幅で高さは1000  $\mu\text{m}$  を超える。軸方向柔組織は周囲状の他に接線状のものが規則的に配列し、顕著である。以上の組織上の特徴から、ノグレルミと同定した。

8) ウルシ *Rhus vexniciflua* Stokes

試料No: 17(W05122705)

記載: 環孔材で、径100～200  $\mu\text{m}$  の楕円形の道管が単独ないし2～3個放射方向に複合し多列に配列している。孔圏部はかなり広く、道管径は徐々に小さくなり、孔圏外では30  $\mu\text{m}$  程度の道管が散在状に配列し、単独のもの及び2～5(最大で7)個放射方向に複合する。道管せん孔は単せん孔である。道管相互壁孔は交互状である。道管内にチロースが良く発達している。放射組織は異性で、上下端に直立細胞を1ないし2細胞を伴う。1～3細胞幅で高さは300  $\mu\text{m}$  程度まで。道管放射組織間壁孔はレンズ状である。軸方向柔組織は周囲状である。以上の組織上の特徴から、ウルシと同定した。

## AMS 年代測定結果

表2に測定結果の一覧表を示した。Ⅲ区建物群については図8で明らかのように、建物11が弥生時代後期～古墳時代前期と、最も古い時期に建築されたと考えられる。次いで建物14が古墳時代後期～飛鳥時代と古い時期を示す。その他の建物は誤差の範囲内で同一の時期(飛鳥時代～平安時代前期)を示す。

その他のビット群については、Ⅱ区のもの多くの多くが古墳時代中期～後期、Ⅲ区のもの多くの多くが古墳時代後期～平安時代前期(誤差: 2 $\sigma$ の範囲が僅かに重なる程度であり、同時に存在しなかった可能性もある。)のものと考えられる。一方、Ⅲ区 Pit396については、中世末～近世という著しく新しい年代が得られている。

## 柱材の樹種と建物内での配置

### 1) 用材の傾向

図3～7に、建物内の柱の樹種と配置を示した。5棟の内、建物10(図4)、建物11(図5)については、建物内の多くの柱の樹種が明らかになり、建物10はすべてクリ、建物11はすべてがヒノキ属類似という結果であった。また他の3棟については、建物7、12では意図的と考えられる用材はなく、建物13は資料不足のために傾向が分からなかった。

### 2) 従米の結果

遺跡内建物の9本柱建物の樹種分布については、出雲平野北東部の青木遺跡(文化財調査コンサ

ルタント株式会社, 2006) で報告されている。ここでは、9世紀初頭に建てられたと考えられる4棟の9本柱建物の柱材について樹種同定がされている。この結果、クリが用材として最も多かったことが明らかになっている。しかし、9本の柱すべてがクリという例はなかった(最高でクリが8本、1本がヒノキ属)。

### 3) 建物 10

今回の調査では、建物 10 が 8～9 世紀に建てられた 9 本柱建物である。建物 10 の残存した柱 6 本すべてがクリであり、青木遺跡と同傾向と言える。ただし、消滅した 3 本については「クリでなかったために残らなかった」という可能性も大きい。

### 4) 建物 11

青木遺跡では、すべての柱が針葉樹という建物もなく、建物 11 の用材も注目される。建物 11 は、AMS 年代測定結果から今回調査の内、唯一弥生時代後期～古墳時代前期の建物と考えられ、時期的な傾向ととらえることもできる。今後、資料の集積を待ちたい。

## まとめ

建物と柱の用材及びその年代と、ピットの年代について調べた。この結果、以下の事柄が明らかになった。

- ① 建物 11 が他の建物に比べ古い時期(弥生時代後期～古墳時代前期)の物であり、ヒノキ属類似材により建てられていたことが分った。
- ② 建物 10 にクリが多く用いられており、出雲市内にある青木遺跡での調査例と時期、用材ともに似ていた。
- ③ ピットは大きく 3 つの時期(古墳時代中期～後期、古墳時代後期～平安時代前期、中世末～近世)のものであった。調査区別に見ると、Ⅱ区に古墳時代中期～後期の Pit が、Ⅲ区に古墳時代後期～平安時代前期の Pit が集中する傾向にあった。また、中世末～近世の Pit はⅢ区に認められた。

## 引用文献

- 島地 謙・佐伯 浩・原田 浩・蘆倉高義・石川茂雄・重松頼生・須藤彰可(1985) 木材の構造, 276p. 文永堂, 東京。
- 文化財調査コンサルタント株式会社(2006) 青木遺跡発掘調査に伴う出土木質遺物の樹種同定(内部文書: 島根県教育委員会編(2006) 青木遺跡Ⅱ(弥生～平安時代遺)に關及されて掲載)
- 渡辺正巳(2000) 長原遺跡東北地区東調査地出土木質遺物の樹種鑑定。長原遺跡東北地区発掘調査報告Ⅲ-1997年度大阪市長古東郡地区上瓦区西整理事業施行に伴う発掘調査報告書、247-249, 財団法人大阪市文化財協会。

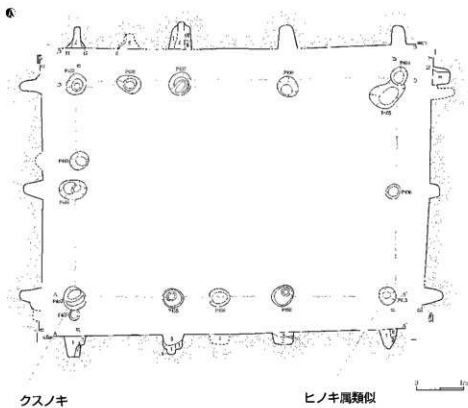


図3 建物7 (SB07) の柱の分布と樹種

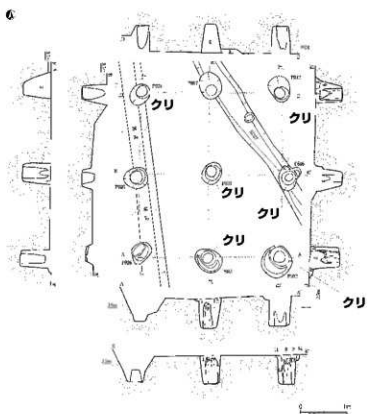


図4 建物10 (SB10) の柱の分布と樹種

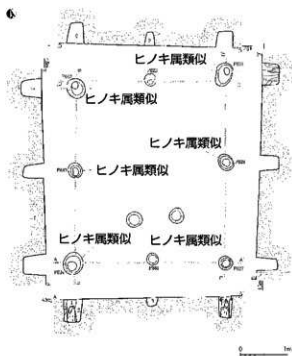


図5 建物 11 (SB11) の柱の分布と樹種

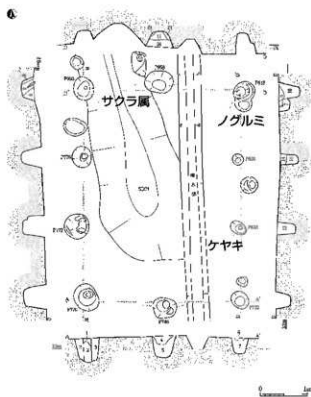


図6 建物 12 (SB12) の柱の分布と樹種

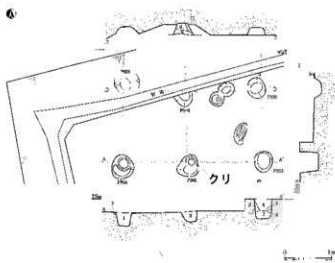


図7 建物 13 (SB13) の柱の分布と樹種

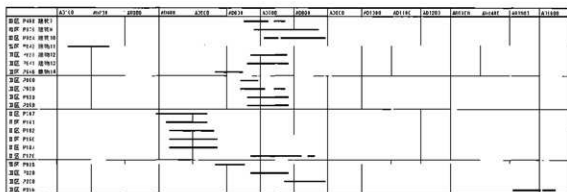


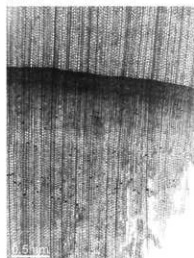
図8 試料毎の<sup>14</sup>C年代の分布

各試料の年代範囲を示すバーは、 $2\sigma$  (95.4%) 領域での暦年較正年代を示す。

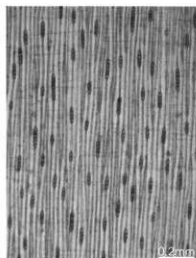
図版 1

スギ *Cryptomeria japonica* D. Don

試料No: 16(W05122701)



横断面



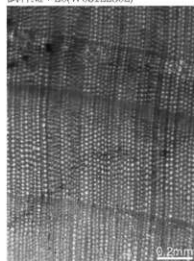
接線断面



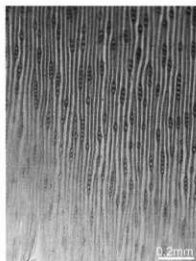
放射断面

ヒノキ属 類似 cf. *Chamaecyparis* sp.

試料No: 20(W05122802)



横断面



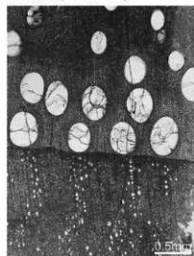
接線断面



放射断面

クリ *Castanea crenata* Sieb. et Zucc.

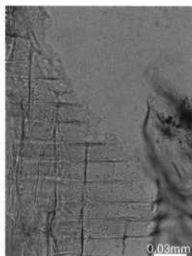
試料No: 3(W05123602)



横断面



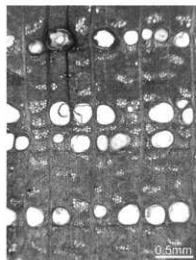
接線断面



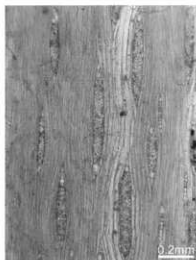
放射断面

ケヤキ *Zelkova serrata* (Thunb.) Makino

試料No. : 12(W05122701)



横断面



接線断面



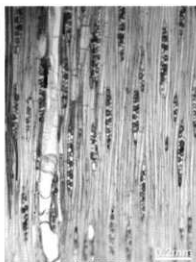
放射断面

クスノキ *Cinnamomum camphora* (L.) Presl

試料No. : 19(W05122801)



横断面



接線断面



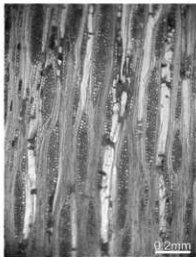
放射断面

サクラ属 *Prunus* sp.

試料No. : 10(W05122609)



横断面



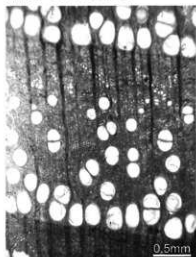
接線断面



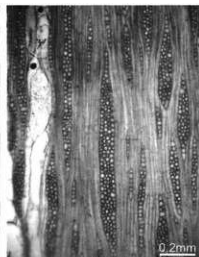
放射断面

図版3

ノグルミ *Platycarya strobilacea* Sieb. et Zucc.  
試料No: 11(W05122610)



横断面

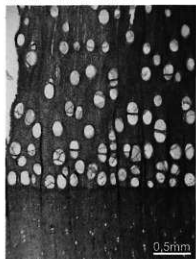


接線断面

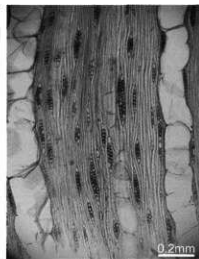


放射断面

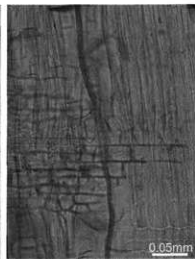
ウルシ *Rhus vexuicithus* Stokes  
試料No: 17(W05122705)



横断面



接線断面



放射断面

## 第4節 九景川遺跡発掘調査に伴う貝類分析

田中秀典 ((財)鳥根県環境保健公社)

渡辺正巳 (文化財調査コンサルタント(株))

### 1. 調査目的

遺跡内で産出した貝塚について以下の事柄を目的として、分析を行った。

- ①ヤマトシジミの大きさを把握し、貝層間の違いを把握する。
- ②SXO 2層のヤマトシジミから採取されたカロリーなどを推定する。
- ③ヤマトシジミ以外の貝類の種同定を行う。

### 2. 調査位置

九景川遺跡の所在を、図1に示す。

### 3. 分析試料について

#### (1) 試料採取地点

分析試料の採取地点(貝塚の分布)を図2に示す。

#### (2) 分析試料一覧表

表1に示すコンテナ単位で、分析試料の提供を受けた。

### 4. 分析方法

#### (1) ヤマトシジミ殻記載

各コンテナよりヤマトシジミの貝殻で、完全な個体を各コンテナから抜き出し、ノギスを用いて、殻長を計測した(図3)。

#### (2) 摂取カロリーなどの推定

任意のコンテナ1箱のヤマトシジミについて、左右殻の数を判別し個体数計測及び計量を行った。同時に全てのコンテナについてヤマトシジミの重量を計量し、統計処理から各貝層の個体数を推定する。また、既知資料より当時のヤマトシジミからの摂取可能カロリーを推定した。

#### (3) ヤマトシジミ以外の貝類の同定

ヤマトシジミ以外に分別されて



図1 九景川遺跡の位置



図2 試料採取地点(貝塚の分布)



図3 殻長の計測方法

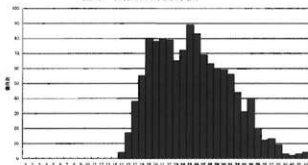


図4 SX02貝層の殻長ヒストグラム

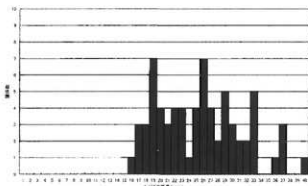


図5 貝層1の殻長ヒストグラム

いた試料を対象に、貝殻及び貝殻片をルーペや顕微鏡で観察し、図鑑などを用いて種同定を行い、個体数を計測した。

## 5. 分析結果

### (1) ヤマトシジミ殻記載

「SX02 貝層」、「貝層1」から産出したヤマトシジミの個体数を計測した。いずれの貝層においても、計測可能な完全個体のみを計測対象とした。

① SX02 層 (図4・表2) 計測個体数 N=1229 個体

平均 = 25.1 mm 中央値 = 25.0 mm 最小値 = 14.5 mm 最大値 = 41.5 mm

殻長 14 mm 以下の個体はまったく見られず、殻長 25 mm をピークとした単山サイズの殻サイズ分布を示す。特に殻長 18 mm ~ 26 mm の個体が多く産出していた。

② 貝層1 (図5・表3) 計測個体数 N=69 個体

平均 = 25.1 mm 中央値 = 25.2 mm 最小値 = 15.5 mm 最大値 = 39.9 mm

殻長 16 mm 以下の個体はまったく見られず、殻長 19 mm と 26 mm をピークとした2山サイズの殻サイズ分布を示す。また、SOX 層に比べて、ヤマトシジミの産出数が少なかったため、計測した個体数も少なくなっている。

③ 現在採取できるヤマトシジミとの比較

図6のグラフは、2001年5月に宍道湖西岸において、網簾を用いて採取したヤマトシジミの殻サイズ分布である。網簾の目のサイズより小さいヤマトシジミの個体は採取されないため、グラフ上に表れない。このグラフが示しているように、現在の宍道湖で採取されるヤマトシジミの殻サイズ分布パターンは、貝塚から産出するヤマトシジミの殻サイズ分布パターンと異なり、極めて限られたサイズ分布を示す。特に殻長 30 mm 以上の個体がまったく

確認されないことが特徴である。これは、宍道湖のヤマトシジミ漁による漁業圧が高いためと考えられる。

## (2) 摂取カロリー等の推定

各コンテナ箱に含まれるヤマトシジミの重量を計測し、以下に示す値に基いてそれぞれの項目について推計した。また、ヤマトシジミ1個体の重量は、表5を基に2.69 gを算出した。

●平均殻サイズ：25.1 mm（前述殻サイズ計測の結果から）

●平均身重量：0.64 g（殻長25.1 mm）（2001年7月・9月の宍道湖のヤマトシジミのデータから）

●ヤマトシジミのカロリー：51 kcal / 100g

●成人男性の1日必要カロリー：2000kcal

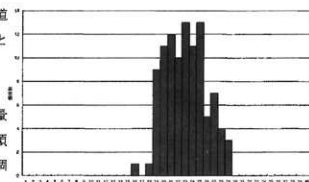


図6 2001年5月 宍道湖西岸のヤマトシジミ殻長（動態使用）

## (3) 貝類同定

表6に、貝類同定結果を示す。産出した試料のうち、ヤマトシジミ以外の貝類は完全な個体が少なかった。そのため同定できた分類群・個体は少なかった。また、産出したヤマトシジミの貝殻片には、黒く変色したものも観察され、火の影響を受けたことが推測される。サザエ・カキなどの食用可能な貝類の殻はいずれも破損しており、軟体部を取出すために破壊されたものと考えられる。さらに、完全個体で産出したイズモマイマイ（カタツムリ）イシマキガイ・カワニナは食用に供されたと考えにくい。おそらく貝塚の埋積過程において混入あるいは破壊されたものと考えられる。

## (4) まとめ

①貝塚から産出した貝類は、ほとんどがヤマトシジミであった。その他の貝類では、サザエ、カキなどの食用可能な貝類の貝殻が産出し、いずれも破損したものであった。サザエは軸のみであり、カキ殻は細かい破片であったことから、おそらく貝殻の軟体部を取出すために破壊されたものと考えられる。また、カワニナやイシマキガイなどの食用にならない貝類も産出しているが、これらの貝類の貝殻はあまり破損しておらず、そのままこの貝塚に破壊されたものと思われる。さらに、貝塚から産出したヤマトシジミの貝殻片には、黒く変色したものも観察され、貝殻が火の影響を受けたことが推測される。

②SX02貝層（1229個体）・貝層1（69個体）の2つの層準から産出したヤマトシジミの貝殻の殻長を計測した。その結果、いずれの層準から産出したヤマトシジミの貝殻も、平均25.1 mmであり、その他の統計値も大きな違いがなく、ほぼ同じようなサイズのヤマトシジミを採取していたと考えられる。また、現在の宍道湖において動態を使ったヤマトシジミ漁で採取されるヤマトシジミと殻サイズ分布パターンを比較した場合、殻サイズが小さい方は大きくは異ならなかった。それに対して、殻サイズが大きいほうは、貝塚のヤマトシジミからは産出するが、現在の宍道湖のヤマトシジミでは全く認められなかった。これは、現在の宍道湖におけるヤマトシジミ漁の採集圧が大きく、殻サイズが大きくなるまで生き残ることが困難であるためと考え

られる。

- ③貝塚から産出したヤマトシジミの重量を計測し、産出したヤマトシジミの個体数などを推計した。その結果、貝塚からは100.55 kgのヤマトシジミの貝殻が産出し、37379個体（推計）が含まれていた。この結果が示すように、ヤマトシジミのみで生命維持はできない。鎌倉時代の食事は、主食が玄米であり、副食として魚介類・肉類・野菜類であった。貝類は、副食として利用されたと考えられる。

表1 分析試料一覧

遺構名	コンテナNo	土層名	総重量(g)	ほぼ完形重さ(g)	破片重さ(g)
SX02	1	貝層 AE 050823	4595	4500	95
SX02	2	貝層 AE 14.8	8120	7950	170
SX02	3	貝層 AE 10.6	2035	1950	85
SX02	4	貝層 AE 11.2	7195	6800	395
SX02	5	貝層 AE 9.6	7390	7040	350
SX02	6	貝層 AE 11.8	4600	4400	200
SX02	7	貝層 AE 13	4675	4390	285
SX02	8	貝層 AE 12.2	8130	7820	310
SX02	9	貝層 AE 10.6	6735	6470	265
SX02	10	貝層 AE 050823	5901	5716	185
SX02	11	Ⅲ区 貝層	6195	6010	185
SX02	12	Ⅲ区 貝層	8350	8200	150
SX02	1	貝層トレンチ	6285	5960	325
SX02	2	貝層トレンチ	5935	5850	85
SX02	3	貝層トレンチ	5070	4710	360
SX02	4	貝層トレンチ	2430	2390	40
SX02	5	貝層トレンチ	2388	2178	210
SX02	6	貝層トレンチ	3500	3455	45
SX02	7	貝層トレンチ	5940	5810	130
SX02		貝層 AW	1092	1090	2
貝層 1		貝層 1	1251	1176	75
貝層 2		貝層 2 51018	2380	2370	10
貝層 2		貝層 2 51018	200	200	0
貝層 3		貝層 3	403	400	3
貝層 6		貝層 6	255	255	0



表3 貝層1般長計測データ 計測値の単位はmm

整理番号	計測値	整理番号	計測値	整理番号	計測値	整理番号	計測値
1	36.8	21	27.0	41	16.5	61	25.5
2	39.9	22	28.6	42	15.5	62	19.8
3	37.0	23	23.8	43	20.1	63	19.0
4	35.6	24	22.5	44	21.7	64	20.8
5	28.9	25	24.6	45	21.8	65	28.4
6	32.2	26	17.6	46	30.5	66	18.2
7	36.7	27	25.0	47	19.5	67	18.8
8	32.2	28	25.5	48	17.9	68	19.8
9	32.1	29	29.8	49	20.9	69	19.2
10	32.2	30	26.1	50	17.4		
11	28.1	31	25.5	51	18.6		
12	31.0	32	27.0	52	16.5		
13	32.8	33	28.0	53	24.7		
14	29.6	34	25.7	54	21.7		
15	31.2	35	22.7	55	16.2		
16	26.5	36	25.2	56	18.3		
17	31.7	37	22.8	57	19.0		
18	27.1	38	25.8	58	21.2		
19	29.0	39	22.5	59	25.5		
20	29.2	40	21.5	60	18.8		

表4 ヤマトシジミの算出重量とカロリー・タンパク質

通標名	コンテナNo	七層名	総重量 (g)	推定個体数 (個体)	推定身長 (g)	推定総エネルギー (kcal)	維持可能な人数 (人・月)	推定タンパク質 (g)	維持可能な人数 (人・日)
SX02	1	貝層 AE 050823	4595	1708	1093	588	0.28	71.3	1.1
SX02	2	貝層 AE 14.8	8120	3019	1932	985	0.49	131.4	1.9
SX02	3	貝層 AE 10.6	2035	757	484	247	0.12	32.9	0.5
SX02	4	貝層 AE 11.2	7195	2675	1712	873	0.44	116.4	1.6
SX02	5	貝層 AE 9.6	7390	2747	1758	897	0.45	119.6	1.7
SX02	6	貝層 AE 11.8	4600	1710	1094	538	0.28	74.4	1.1
SX02	7	貝層 AE 13	4675	1738	1112	567	0.28	75.6	1.1
SX02	8	貝層 AE 12.2	8130	3022	1934	986	0.49	131.5	1.9
SX02	9	貝層 AE 10.6	6735	2504	1602	817	0.41	109.0	1.5
SX02	10	貝層 AE 050823	5901	2194	1404	716	0.36	95.5	1.4
SX02	11	固定 貝層	6195	2303	1474	752	0.38	100.2	1.4
SX02	12	固定 貝層	8350	3104	1987	1013	0.51	135.1	1.9
SX02	1	貝層トレンチ	6285	2356	1495	763	0.38	101.7	1.4
SX02	2	貝層トレンチ	5835	2206	1412	720	0.36	96.0	1.4
SX02	3	貝層トレンチ	5070	1885	1206	615	0.31	82.0	1.2
SX02	4	貝層トレンチ	2430	903	578	295	0.15	39.3	0.6
SX02	5	貝層トレンチ	2388	888	568	290	0.14	38.6	0.5
SX02	6	貝層トレンチ	3500	1301	833	425	0.21	56.6	0.8
SX02	7	貝層トレンチ	2640	2208	1413	721	0.36	96.1	1.4
SX02		貝層 AW	1092	405	250	133	0.07	17.7	0.2
SX02 合計			105561	38614	25353	12930	6.46	1724.0	24.4
貝層 1		貝層 1	1251	465	298	152	0.08	20.2	0.3
貝層 2		貝層 2 51018	2380	885	566	289	0.14	38.5	0.5
貝層 2		貝層 2 51018	230	74	48	24	0.01	3.2	0.0
貝層 1-2 計			3831	1424	911	465	0.23	62.0	0.9
貝層 3		貝層 3	403	150	96	49	0.02	6.5	0.1
貝層 6		貝層 6	255	95	61	31	0.02	4.1	0.1
合計			111050	41283	26421	13475	6.74	1796.6	25.4

表5 左右殻の個体数と重量 (SX02 コンテナ№10 貝層 AE050823)

	コンテナ№	報告				不能	
		左		右			
貝層 AE	10	2063 個体	2879 g	2193 個体	2837 g	270 片	185g

表6 貝類同定結果

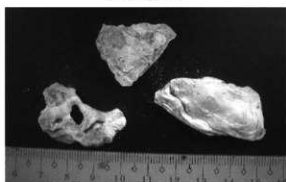
分類名	部位	試料名		
		貝層 1	貝層 SX02	IV区側溝
カキ類	破片	多数		
サザエ	蓋	1	3	
	軸			1
イシマキガイ	完形		1	
カワニナ	完形		9	
イズモマイマイ	完形		1	



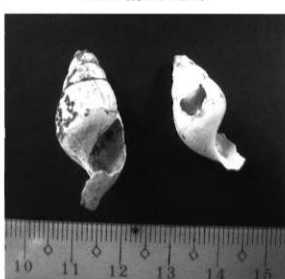
イズモマイマイ



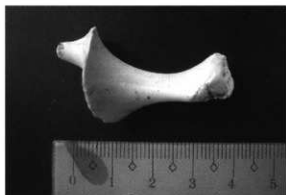
シジミ (焼けている?)



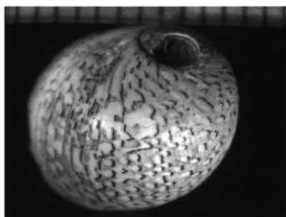
カキ片



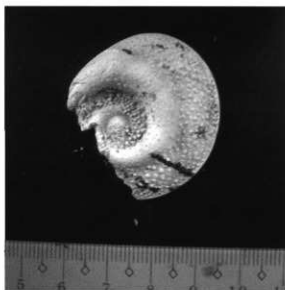
カワニナ



サザエ軸



イシマキ貝



サザエ軸

スケールは最小目盛り1mm

## 第5節 九景川遺跡の動物遺体・植物遺体

国立歴史民俗博物館 西本 豊弘

### はじめに

九景川遺跡から動物遺体と植物遺体が出土した。それらは主に中世（12～13世紀）に属するものである。動物では、野生動物のシカ・イノシシ・ノウサギと家畜のウシ・ウマと魚類など様々な動物が含まれていた。植物遺体ではモモ・トウガン・カガチャなどが見られた。そこで、それらの内容を表に記載し簡単な説明を行う。なお、植物遺体の分類は、国立歴史民俗博物館の学術創成研究の研究員の住田雅和氏によるものである。

### 1. 魚類

魚骨の出土量は少ない。それらにはエイ類・コチ・マダイ・クロダイが含まれていた。この他にタイ類と思われるウロコも少量採集されていた。

### 2. 両生類・爬虫類

ヘビの椎骨が1点とカエルの2個体分以上の四肢骨があり、陸産カメ類の四肢骨片と思われるものが1点認められた。カエルはトノサマガエル程度の大きさのもので、四肢骨がまとまっていた。おそらく自然死したものであろう。ヘビとカメ類も1点ずつの出土であり、食料として意図的に捕獲されたものではなく、自然死したものの可能性が高い。

### 3. 哺乳類

哺乳類の骨片は部位が判明したものが142点と多く出土した。その中ではシカは101点と最も出土量が多い。全身の部位が見られたのが成獣が主体である。イノシシはシカに次いで25点と多いが、シカに比べるとはるかに少ない。ブタと思われる骨片は見られず、すべて野生のイノシシであろう。成獣と若獣が含まれている。ノウサギは歯の破片が2点のみである。クジラは大型クジラの骨片が1点のみである。

家畜のウマとウシの歯や骨も少量であるが出土している。ウマは中手骨1点と指骨のひとつである中節骨1点の計2点である。中手骨は完存であり、最大長22.5cmであることから体高は137cmと推定された。中世のウマとしては大きく立派な体格であったと推測される。ウシは歯の破片が5点と上腕骨の中間部分が1点であり、3歳程度の亜成獣が含まれている。なお、Ⅱ区SR02出土のウシ上腕骨は、古墳時代中期末から後期前半に属する資料の可能性が高く、この地域では現在のところ最古の例である。

### 4. 植物遺体

植物遺体もごく少量ではあるが出土している。それらは水洗された土壌サンプルの中に含まれており、その中の種子のみ同定した。野生植物ではカナムグラとトチノキとコナラ亜属が見られた。栽培植物ではモモ・トウガン・カガチャが見られた。それらの植物がどの程度利用されていたかは

分からない。

### まとめ

動物遺体と植物遺体の内容を簡単に紹介してきた。この遺跡の場合、資料全体の出土量は多くないが、野生動物・家畜・野生植物・栽培植物など多様な種類が認められたことが特徴である。中世の動物と植物の出土例は少なく、この時期にどのような動物と植物が利用されていたか、その実態はよく分からない。その点で、この遺跡の動物遺体・植物遺体の内容は貴重な情報と言えるであろう。

表1 九景川遺跡出土動物遺体の遺情別一覧

番号	調査区	グリッド	トレンチ	遺構	層位	種別	部位	左右	保存部分	備考	個数	年代
1	I		NE		3層	イノシシ	中部骨				1	12-13世紀
2						シカ	上顎第1後臼歯	L		成獣	1	12-13世紀
3							下顎第2前臼歯	R		成獣	1	12-13世紀
4							下顎第1後臼歯	L		成獣	1	12-13世紀
5							下顎第2後臼歯	L		若	1	12-13世紀
6							歯片				7	12-13世紀
7							鼻片				1	12-13世紀
8							肋骨	L	道筋部	成獣	1	12-13世紀
9							肋骨	L		成獣	1	12-13世紀
10							距骨	R		成獣 同一個体	1	12-13世紀
11							牛心足骨	L		成獣	1	12-13世紀
12							牛心足骨	R		成獣	1	12-13世紀
13	I		SE		3層	イノシシ	上顎第2後臼歯	R		成獣	1	12-13世紀
14							下顎骨	L	(I12 CP31 MID)	同一個体	1	12-13世紀
15							下顎第2切歯	R		若	1	12-13世紀
16							肋骨	R	流	成獣	1	12-13世紀
17						シカ	上顎第1後臼歯	L		成獣	1	12-13世紀
18							上顎第2前臼歯?	R		成獣	1	12-13世紀
19							下顎第2後臼歯	R		成獣	1	12-13世紀
20							下顎骨	L	(F2)	成獣	1	12-13世紀
21							肋骨	L	流	成獣	1	12-13世紀
22							肋骨	L	流	成獣	1	12-13世紀
23							距骨	L		成獣	1	12-13世紀
24							距骨	K		成獣	2	12-13世紀
25	I		W		3層	シカ	歯				1	12-13世紀
26	T	J10			3層	ウシ	歯片				1	12-13世紀
27	J	K10			3層	ウシ	歯片				1	12-13世紀
28	T			SH02		ウシ	二腕骨	L	骨・流	成獣	1	5-6世紀
29	II			竪坑		ウシ/ワマ	上腕骨	R	骨幹部破片		1	
30	III	F2			3層	シカ	角-角根				1	12-13世紀
31	III	F3			3層	シカ	踵骨	L		成獣	1	12-13世紀
32	III	F4			2層	イノシシ	上腕骨	L	流	成獣	1	
33	III	F1			2層	シカ	下顎第1後臼歯	R		若獣	1	
34							上腕骨	K	流	成獣	1	
35	III	F1			3層	イノシシ	肩甲骨	R		成獣	1	12-13世紀
36							肋骨	R		成獣	1	12-13世紀
37						シカ	肩甲骨	L		成獣	1	12-13世紀
38							肋骨	R	流	成獣	1	12-13世紀
39							牛心骨		破片		2	12-13世紀
40							踵骨	L			1	12-13世紀
41							距骨	R			1	12-13世紀
42							距骨				1	12-13世紀
43	III	F1			4層	シカ	踵骨	R		成獣、小児	1	
44	T	F5			2層	シカ	踵骨	R	流	成獣	1	
45	L	G2			2層	シカ	上腕骨	R	流	成獣	1	
46	T	G3			2層	シカ	下顎第1後臼歯	R		成獣	1	
47	III	G3			3層	シカ	上顎臼歯				1	12-13世紀
48							歯				1	
49	III	G1			2層	イノシシ	下顎第1切歯	L		成獣	1	
50						シカ	上顎第2後臼歯	L		成獣	1	

番号	調査区	グリッド	トレンチ	遺構	層位	種類	部位	左右	現存部分	備考	測尺	年代
51	II	G3			2層	シカ	中足骨		破片		1	
52	II	G6			3層	カメ?	骨片				1	12~13世紀
53						イノシシ?	大腸骨	R	溝		1	12~13世紀
54						シカ	頰蓋骨片	L			2	12~13世紀
55							上顎骨	L	(M120)	2.5才程度	1	12~13世紀
56							下顎骨	L	303 歯欠不完全		1	12~13世紀
57							上顎第3歯牙床	L	300aP120	成獣	1	12~13世紀
58							上顎第2歯牙床	R	※取出	子獣	1	12~13世紀
59							歯片			未取	1	12~13世紀
60							角骨				2	12~13世紀
61							角骨				1	12~13世紀
62							肩甲骨	L		成獣	1	12~13世紀
63							肋骨	L	込	成獣	1	12~13世紀
64							大腸骨	R	押		1	12~13世紀
65							長骨	R	込	成獣	1	12~13世紀
66							肋骨	R		同一個体	1	12~13世紀
67							中足骨	R			1	12~13世紀
68							肋骨	R		小型	1	12~13世紀
69							距骨	R			1	12~13世紀
70							尺骨骨	R			1	12~13世紀
71							肋骨	L			1	12~13世紀
72							中足骨	L			1	12~13世紀
73							肋骨	L			1	12~13世紀
74							足根骨	L			1	12~13世紀
75							中足骨	L		成獣	1	12~13世紀
76							肩骨	L		成獣	1	12~13世紀
77							肋骨	R		成獣	1	12~13世紀
78							尺骨骨				1	12~13世紀
79							肋骨				1	12~13世紀
80						ウシ	>頸第3歯牙床			歯床少+ 3才程度	1	12~13世紀
81							肋骨	L			1	12~13世紀
82							肋骨				1	12~13世紀
83	III	G6	EW			シカ	下顎骨片				1	
84	III	G7			3層	イノシシ	肋骨	L	>頸関節面		1	12~13世紀
85						イノシシ	肋骨				1	
86	III	G-116	EW			イノシシ	後頭部				1	動物分
87	III	H3			2層	ウシ	下顎第3歯牙床	R			1	
88	III	H6			3層	肋骨	肋骨				1	12~13世紀
89	III	H7			1+2層	シカ	基節骨				1	
90	III	H7		(SX02)	3層	タジラ					1	12~13世紀
91	III	H7			3層	イノシシ	下顎骨	L	(x x x 1'4 M 1 2 3)	子 成獣	1	12~13世紀
92	III	H7			5層	シカ	中足骨				1	古代以前
93	III			SD04		ウマ	中手骨	R	売	GL225cm. 件数137 co	1	12~13世紀
94	III	G2		SD04		ウマ	中足骨				1	12~13世紀
95	III			SR04		シカ	角				1	8~9世紀
96	III			SX02		イノシシ	頸椎骨	L		成獣	1	12~13世紀
97							下顎骨	L	>頸後		1	12~13世紀
98							肩甲骨			成獣	1	12~13世紀
99						シカ	大腸骨	L	幹		1	12~13世紀
100							肋骨	L	溝	成獣	1	12~13世紀
101							牛子・中足骨		破片		1	12~13世紀
102	III	H7		SX02		イノシシ	肋骨	R			1	12~13世紀
103	III			SX02	2層	イノシシ	大腸骨	L	幹		1	12~13世紀
104	III			SX02	11等AW	猪不明骨類	肋骨				1	12~13世紀
105	III			SX02	貝類 A-B	イノシシ?	上腕骨	L	込	猪	1	12~13世紀
106	III			SX02	貝類 A	イノシシ	頸椎骨	R	>頸関節面	成獣	1	12~13世紀
107	III			SX02	貝類	ウサギ	>頸切端		破片		1	12~13世紀
108							>頸切端		破片		1	12~13世紀
109						シカ	>頸第1切端	R			1	12~13世紀
110							>頸第3切端	R			1	12~13世紀
111							牛子・中足骨		塗塗彫刻片		1	12~13世紀
112							後頭部			小型	1	12~13世紀
113							頰蓋骨		破片		1	12~13世紀

番号	関谷区	グロッド	トレンテ	遺物	単位	種類	部位	左右	残存部分	備考	数量	年代
114						骨上顎骨		R	完		1	12～13世紀
115						主上顎骨		R	完		1	12～13世紀
116						タイ銀					1	12～13世紀
117						種不明魚類		R			2	2～3世紀
118						骨骨					1	12～13世紀
119				SX02	KA	シカ	角・心骨		破片		1	2～3世紀
120				SX02	NS ベルト	シカ	下顎第2後臼歯	R	破片		1	12～13世紀
121				SX02	NS ベルト	シカ	下顎第3後臼歯	L			1	12～13世紀
122				75		イノシシ	下顎第3後臼歯	R		茶飲	1	
123				75		イノシシ	下顎骨	K (M)		歯肉少々 成獣	1	
124						シカ	角			加工?	1	
125						シカ	角				1	
126					区	シカ	角	L	破片		1	
127						シカ	上顎骨	L	完	成獣	1	
128						シカ	角				1	12～13世紀
129						シカ	角				3	12～13世紀
130						シカ	上顎骨	R	完	成獣	1	
131						イノシシ	骨片				1	
132				P1063	ベルト	イノシシ	肋骨	R	完 (はずれたもの)	否	1	
133						シカ	下顎第2後臼歯	L		否	1	
134						シカ	上顎骨片				1	
135				SX02		イノシシ	第3手根骨	L	完		1	12～13世紀
136						シカ	中足骨	K	完 (外側のみ)	他に剥離	1	12～13世紀
137						シカ	中手・中足骨				1	12～13世紀
138						シカ	手骨				1	12～13世紀
139						カエル	四肢骨			解体痕	1	12～13世紀
140						コチ	鹿骨 (第2-3-4か)			大型 (50cc程度)	1	12～13世紀
141				SX02	風船トレンテ	シカ	寛骨	R	骨骨		1	12～13世紀
142						スイ銀	銅板				1	12～13世紀
143						クロダイ	骨片	L	完		1	2～13世紀
144						タイ銀	銅				2	12～13世紀
145						種不明魚類	骨				5	12～13世紀
146						器具	骨				1	12～13世紀
147						貝類1	カエル				1	12～13世紀
148						貝類	へび				2	12～13世紀
149							骨針 (加 74)				1	12～13世紀
150						イノシシ?	骨片	R		オキ牧内6村第18号 出土、GLS15m	1	12～13世紀

表2 九景川遺跡出土の植物一覧

調査区	遺物	単位	種	部位	備考	数量
L	SX02	AK	トウモロコシ	炭化塊		1
			オオムギ	炭化塊		3
			トモ	炭	やがて貯である	2
			トモ	種皮		10
			トモ	種子		3
			トモ	炭化塊		1
			トモ	炭化塊		1
L	SX02		トモ	炭化塊		1
L	SX02		トモ	炭化塊		1

表3 魚類出土量表

スイ銀	1
クロダイ	2
マダイ	3
タイ銀	3
コチ	1
種不明魚類	8

\*結合

表4 哺乳類出土量表

ウサギ	2
イノシシ	25
シカ	101
ウシ	6
ウマ	2
鹿	6

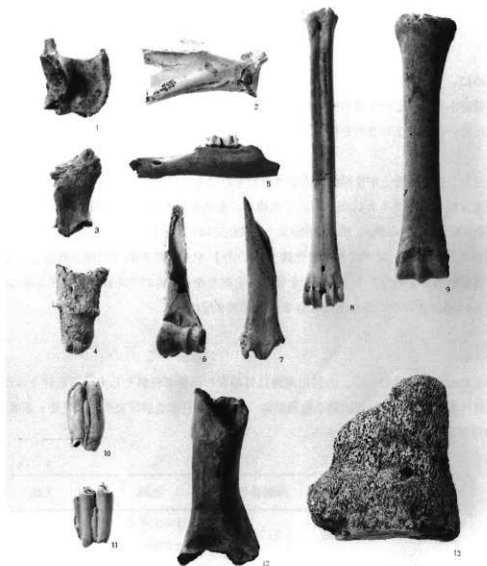


写真1 九景川遺跡出土動物遺体写真

1. イノシシ側頭骨右側(Ⅲ区SX02 表1№106) 2. イノシシ肩甲骨右側(Ⅲ区SX02 表1№98) 3. シカ角座部分 4. シカ角座と角(Ⅲ区F2 3層 表1№30) 5. シカ下顎骨(Ⅲ区GG 3層 表1№96) 6. シカ上腕骨左側(Ⅲ区西壁 表1№126) 7. シカ脛骨左側(Ⅲ区SX02 表1№100) 8. シカ中足骨左側(Ⅲ区3層 表1№75) 9. ウマ中手骨右側(Ⅲ区SD24 表1№93) 10. ウシ上顎第3頰臼歯右側(Ⅲ区3層 表1№80) 11. ウシ下顎骨第3後臼歯右側(Ⅲ区2層 表1№87) 12. ウシ上顎骨左側(Ⅱ区SR02 表1№28) 13. タジウ(Ⅲ区3層・SX02 表1№90)

## 第6節 九景川遺跡から出土した土器の胎土について

島根県埋蔵文化財調査センター 柴崎晶子

### 1. はじめに

九景川遺跡から出土した土器の中に赤く発色した斑点を持つ土器が数点出土した。それらの土器は全体的に赤いが、以下の2点を仮定して蛍光X線分析を行なった。

- ①赤い斑点および土器胎土が意図的に赤彩されたものであれば、赤色顔料として含まれる元素が顕著に蛍光X線のスペクトルに現れる。この場合、赤色顔料とは水銀朱 ( $\text{HgS}$ ; 硫化水銀)、ベンガラ ( $\text{Fe}_2\text{O}_3$ ; 酸化第二鉄)、鉛丹 ( $\text{Pb}_3\text{O}_4$ ; 四酸化三鉛) が考えられる。
- ②赤色顔料としてのベンガラは含水酸化鉄  $[\text{Fe}(\text{OH})_3]$  や赤鉄鉱を熱して作られるものであるが、この性質を利用して鉄分を多く含む土を使って土器を作ったものであれば、蛍光X線のスペクトルには Fe (鉄) が現れ、かつ土壤に含まれる元素も現れる。

### 2. 試料

以下の3点の土器を分析した。九景川遺跡以外のものは参考資料として分析を行なった。なお、色調は「農林水産省林水産技術会議事務局監修 財団法人日本色彩研究所色票監修 新版 標準土色帖 2002年版」に基づくものである。

遺跡名	土器の種類	検出番号	色調	文献
九景川遺跡	土師器	117-4	斑点; 10R4/6 赤 胎土; 2.5YR6/8 橙	本書所収
九景川遺跡	土師器	118-5	斑点; 10R4/6 赤 胎土; 2.5YR6/8 橙	本書所収
九景川遺跡	土師器	31-14	斑点; 10R1/4 暗赤灰	本書所収
柳井遺跡	土師器	29-3	斑点; 10R5/8 赤 胎土; 7.5YR6/8 橙	註1

### 3. 分析方法

島根県古代文化センター設置の「エスアイアイ・ナノテクノロジー社製 SEAI200VX 卓上型蛍光X線分析計 (エネルギー分散型)」によって蛍光X線分析による定性分析を行なった。

分析条件は以下のとおりである。

測定時間: 100 秒 (うち分析可能な有効時間は 71 ~ 98 秒)

試料室雰囲気: 大気                      コリメータ 直径 1.0mm

励起電圧: 30 kV                      管電流: 1000  $\mu$ A

### 4. 結果

九景川遺跡の土器のうち、117 図-4 の土器胎土・斑点部分はカリウム (K) を最も多く検出したが、次に多かったのは鉄 (Fe) であった。また、118 図-5 の土器胎土・斑点部分では鉄を最も多く検出したほか、チタン (Ti) やカリウムなどを多く検出した。31 図-14 では鉄を多く検出した。柳Ⅱ遺跡の土器では、土器胎土・斑点部分とも鉄を最も多く検出したほか、チタンやカリウムを多く検出した。

## 5. 結論

ここで仮定を検証してみると、①の意図的な塗彩で赤色顔料として鉄を多く含むベンガラを使用したとすれば、蛍光 X 線分析でも鉄が突出して多く含まれることになり、他の元素の追従を許さないことになるであろう。しかし、今回の分析の結果、鉄を最も多く含む結果が出たが、そのほかにも土壤中に多く含まれるとされるチタンやカリウムも多く含んでいることがわかった。したがって、②の鉄を多く含む土器を使ってこれらの土器が作られたという仮定が妥当であろうと考えられる。

しかし、蛍光 X 線分析では、これらの土器が鉄を多く含むという結果が出たに過ぎずどのような鉱物であるかを知ることはできない。したがって、ここでは推測にとどめておくことにする。

## 注

- (1) 建設省松江国道事務所・島根県教育委員会 1996 『一般国道 9 号 (安来道路) 建設予定地内埋蔵文化財発掘調査報告書 西地区Ⅳ 柳Ⅱ遺跡・小久白墳墓群・神庭谷遺跡』

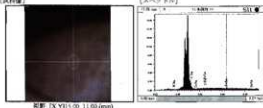
## 参考文献

- 市毛勉 1998 『新版 朱の考古学』 雄山閣  
成瀬正和 1998 『縄文時代の赤色顔料Ⅰ－赤彩土器－』 『考古学ジャーナル』 No.43R  
『岩波理化学辞典 第3版』 岩波書店 1972

【測定条件】

測定装置	SEI1200VX
測定時間 (分)	100
分析時間 (分)	98
放射化学種別	AMS
サンプル径	φ 1.0mm
加速電圧 (kV)	30
電流値 (μA)	1000
フィード	OFF
モニター	OFF
ピーキングタイム	8.0sec
コメント	

【分析像】



【結果】

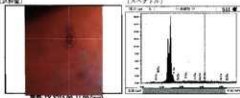
Z	元素	元素名	ライン	A(cps)	RO I (keV)
14	Si	ケイ素	K <sub>α</sub>	2,234	1.63-1.85
19	K	カリウム	K <sub>α</sub>	32,240	3.19-3.40
20	Ca	カルシウム	K <sub>α</sub>	4,386	3.56-3.82
22	Ti	チタン	K <sub>α</sub>	3,923	4.37-4.65
26	Fe	鉄	K <sub>α</sub>	6,619	6.25-6.55
30	Zn	亜鉛	K <sub>α</sub>	4,922	8.46-8.89
40	Zr	ジルコニウム	K <sub>α</sub>	1,179	13.53-13.96
56	Ba	バリウム	L <sub>α</sub>	5,342	4.33-4.60

九景川 117-4 土質 1155 037030

【測定条件】

測定装置	SEI1200VX
測定時間 (分)	100
分析時間 (分)	98
放射化学種別	AMS
サンプル径	φ 1.0mm
加速電圧 (kV)	30
電流値 (μA)	1000
フィード	OFF
モニター	OFF
ピーキングタイム	8.0sec
コメント	

【分析像】



【結果】

Z	元素	元素名	ライン	A(cps)	RO I (keV)
13	Al	アルミニウム	K <sub>α</sub>	1,343	1.38-1.39
14	Si	ケイ素	K <sub>α</sub>	3,965	1.63-1.85
19	K	カリウム	K <sub>α</sub>	11,182	3.19-3.40
20	Ca	カルシウム	K <sub>α</sub>	6,940	3.56-3.82
22	Ti	チタン	K <sub>α</sub>	5,044	4.37-4.65
24	Cr	クロム	K <sub>α</sub>	4,475	5.35-5.64
26	Fe	鉄	K <sub>α</sub>	9,511	6.25-6.55
28	Ni	ニッケル	K <sub>α</sub>	6,330	6.55-6.55
30	Zn	亜鉛	K <sub>α</sub>	6,140	7.83-8.23
40	Zr	ジルコニウム	K <sub>α</sub>	1,239	13.53-13.96

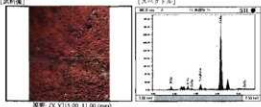
九景川 117-4

図1 測定試料分析結果 (九景川遺跡 117-4 左: 粘土部分、右: 赤斑点部分)

【測定条件】

測定装置	SEI1200VX
測定時間 (分)	60
分析時間 (分)	58
放射化学種別	AMS
サンプル径	φ 1.0mm
加速電圧 (kV)	30
電流値 (μA)	1000
フィード	OFF
モニター	OFF
ピーキングタイム	8.0sec
コメント	

【分析像】



【結果】

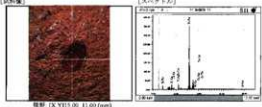
Z	元素	元素名	ライン	A(cps)	RO I (keV)
14	Si	ケイ素	K <sub>α</sub>	428,721	1.63-1.85
19	K	カリウム	K <sub>α</sub>	162,483	3.19-3.40
20	Ca	カルシウム	K <sub>α</sub>	82,768	3.56-3.82
22	Ti	チタン	K <sub>α</sub>	214,406	4.37-4.65
26	Fe	鉄	K <sub>α</sub>	382,980	6.25-6.55
30	Zn	亜鉛	K <sub>α</sub>	71,714	8.46-8.89
40	Zr	ジルコニウム	K <sub>α</sub>	64,962	13.53-13.96
56	Ba	バリウム	L <sub>α</sub>	214,337	4.33-4.60

九景川 118-5

【測定条件】

測定装置	SEI1200VX
測定時間 (分)	100
分析時間 (分)	98
放射化学種別	AMS
サンプル径	φ 1.0mm
加速電圧 (kV)	30
電流値 (μA)	1000
フィード	OFF
モニター	OFF
ピーキングタイム	8.0sec
コメント	

【分析像】



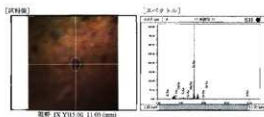
【結果】

Z	元素	元素名	ライン	A(cps)	RO I (keV)
14	Si	ケイ素	K <sub>α</sub>	139,644	1.63-1.85
19	K	カリウム	K <sub>α</sub>	104,419	3.19-3.40
20	Ca	カルシウム	K <sub>α</sub>	83,882	3.56-3.82
22	Ti	チタン	K <sub>α</sub>	237,893	4.37-4.65
26	Fe	鉄	K <sub>α</sub>	383,492	6.25-6.55
30	Zn	亜鉛	K <sub>α</sub>	51,268	7.83-8.23
29	Cu	銅	K <sub>α</sub>	18,614	7.97-8.31
30	Zn	亜鉛	K <sub>β</sub>	37,417	8.46-8.89
40	Zr	ジルコニウム	K <sub>α</sub>	64,677	13.53-13.96
56	Ba	バリウム	L <sub>α</sub>	247,031	4.33-4.60
71	Ta	タンタル	L <sub>α</sub>	66,315	7.97-8.31

図2 測定試料分析結果 (九景川遺跡 118-5 左: 粘土部分、右: 赤斑点部分)

【測定条件】

測定機器	SEA7500VX
測定時間 (分)	100
分析時間 (分)	77
試料準備手法	大気
ドリフト率 (fV)	0.10nm
検出限 (fV)	30
増感度 (μA)	1000
フィルタ	OFF
ウェイク	OFF
ビーコンブライム	3.0sec
コメント	



【結果】

Z	元素	元素名	ライン	A(cps)	ROI 1 (0eV)
14	Si	ケイ素	Kα	15,000	1.65-1.85
15	K	カリウム	Kα	29,976	3.15-3.44
20	Ca	カルシウム	Kα	19,922	3.15-3.42
22	Ti	チタン	Kα	71,921	4.35-4.65
24	Fe	鉄	Kα	20,189	5.35-5.56
29	Zn	亜鉛	Kα	74,833	7.75-8.45
30	Fe	鉄	Lα	194,805	0.25-0.45
39	Co	コバルト	Kα	23,365	7.83-8.21
40	Zn	亜鉛	Lα	11,569	8.46-8.80
40	Zn	ジルコニウム	Kα	26,490	15.53-15.98

KUK 1 SW 457 P74 05024

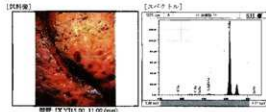
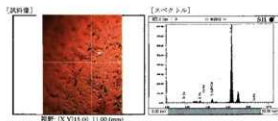
図3 測定試料分析結果(九景川遺跡31-14 赤斑点部分)

【測定条件】

測定機器	SEA1200VX
測定時間 (分)	100
分析時間 (分)	77
試料準備手法	大気
ドリフト率 (fV)	0.10nm
検出限 (fV)	30
増感度 (μA)	1000
フィルタ	OFF
ウェイク	OFF
ビーコンブライム	3.0sec
コメント	

【測定条件】

測定機器	SEA1200VX
測定時間 (分)	100
分析時間 (分)	77
試料準備手法	大気
ドリフト率 (fV)	0.10nm
検出限 (fV)	30
増感度 (μA)	400
フィルタ	OFF
ウェイク	OFF
ビーコンブライム	3.0sec
コメント	



【結果】

Z	元素	元素名	ライン	A(cps)	ROI 1 (0eV)
14	Si	ケイ素	Kα	110,518	1.65-1.85
15	K	カリウム	Kα	105,070	3.15-3.44
20	Ca	カルシウム	Kα	66,191	3.15-3.42
22	Ti	チタン	Kα	151,148	4.35-4.65
24	Fe	鉄	Kα	60,624	5.35-5.56
29	Zn	亜鉛	Kα	48,712	7.75-8.45
40	Zn	ジルコニウム	Kα	54,374	15.53-15.98
56	Ba	バリウム	Lα	327,407	4.33-4.60

【結果】

Z	元素	元素名	ライン	A(cps)	ROI 1 (0eV)
14	Si	ケイ素	Kα	89,808	1.65-1.85
15	K	カリウム	Kα	94,803	3.15-3.44
20	Ca	カルシウム	Kα	40,634	3.15-3.42
22	Ti	チタン	Kα	218,085	4.35-4.65
24	Fe	鉄	Kα	107,618	5.35-5.56
29	Zn	亜鉛	Kα	25,594	7.75-8.45
40	Zn	ジルコニウム	Kα	33,384	15.53-15.98
56	Ba	バリウム	Lα	191,157	4.33-4.60

検出 79.3-

図4 測定試料分析結果(梅川遺跡29-3 左:船上部分、右:赤斑点部分)

## 第9章 総括

今回の調査成果としては、①従来不明瞭であった出雲平野における古墳時代中期前半の集落の様相の一端が明らかになった点、②「出雲国風土記」に記載される神門郡滑狭郷に属する集落の変遷を把握できた点、③当地では稀な中世の貝塚、地鋸遺構等が検出された点などがあげられる。これらの成果に基づき、現段階で判明した遺跡の変遷を整理するとともに、古墳時代中期前半の遺構・遺物を中心に若干の考察を行い、今後の課題を提起する。

### 第1節 九景川遺跡の変遷

#### (1) 検出遺構の概要

今回の調査において検出した遺構を時期別・調査区別に表9に示した。網掛けは薄い部分が遺物は認められるものの極めて散漫な場合を、濃い網掛けは比較的遺物がまとまって出土したケースを示している。一見して、古墳時代中期前半、奈良時代～平安時代初期、鎌倉時代の3時期にその中心があることが判明する。この3時期については、Ⅱ区を除く各調査区でまとまった遺構・遺物が確認できる。

また表を見て明らかとなり、谷部北半部のⅠ・Ⅲ・Ⅳ区と谷奥部のⅡ区とは遺跡の盛行期が明確に異なっている。すなわち、Ⅱ区では北半部で遺構・遺物がまとまって認められる古墳時代中期前半・古代・鎌倉時代の遺物は極めて乏しい一方、北半部で遺構・遺物がほとんど認められない5～7世紀の遺構・遺物が比較的まとまって認められる傾向にあり、相補的な関係にあると言える。すなわち、縄文時代晩期にこの谷部に人々が定着して以降、谷部内での居住地の移動を繰り返していたものと推察される。しかし、各調査区を通じて古墳時代前期と平安時代中～後期、及び室町・戦国時代の遺構・遺物は明らかに欠落しており、この3時期には当遺跡の立地する谷部は居住地としては利用されず、集落は谷部外に営まれていた可能性が高い。

#### (2) 縄文時代晩期の様相 (第191図)

当遺跡で確認された最古の遺物はⅠ区5層から出土した緑帯文土器(31-1)であるが、わずか1点の出土であり、安定した集落が存在していたとは考え難い。

縄文時代晩期については、面的な調査はⅢ区東側の一部を行ったのみであるが、遺物は各調査区から断片的に出土するようになる。土器はいずれも小片のため不明確だが、確認できる資料は、①1条突帯を巡らせ口縁端部と突帯に刻み目を備えるもの(Ⅱ区遺構外・53-1)、②口縁端部からやや下がった位置に突帯を巡らせ突帯のみを刻むタイプ(Ⅲ区SR04・133-2・3)、③砲弾形で突帯がなく口縁部上面を刻むタイプ(同・133-1)、④突帯が口縁端部にほぼ接し、突帯を刻み口縁端部を刻まないタイプ(Ⅲ区1～2層・139-2)などかなりバラエティが認められ、濱田竜彦氏の編年による突帯文Ⅰ～Ⅲ期に概ね該当するものと思われる(濱田2001)。浅録はⅢ区6・7層出土の1点のみ(152-1)であるが、突帯文土器に伴うタイプと考えて矛盾はない<sup>1)</sup>。他の遺物で

1) 鳥取県歴史文化財調査センター・中川 寧・柳浦俊一氏のご教示による

表9 九景川遺跡検出遺構一覧

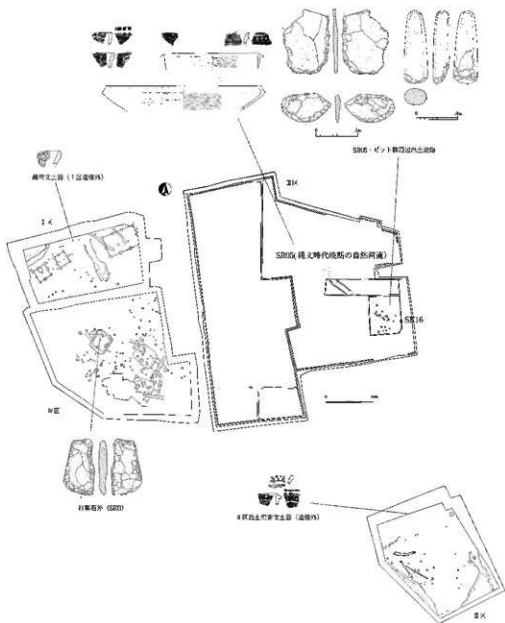
時期	I区	II区	III区	IV区
縄文時代後期				
縄文時代晩期			SK16 SR05	
弥生時代前期		SK05		
弥生時代中期	SX01			
弥生時代後期		SD09・10	SK14	
古墳時代前期				
古墳時代前期末～ 古墳時代中期前半			SB11・14・15 加工段2・3・4 SK11・13・15 SD25 土器だまり SR03	SB01・02・03 SB19
古墳時代中期後半～ 古墳時代後期前半 (TK23～MT15)		SA02・03 SR02 (SD09)		
古墳時代後期後半 ～終末 (TK43～TK217)				
奈良時代 ～平安時代初期 (8c～9c前半)	SB02・03・04 SD07		SB05・06・07・08・ 10・12・13 SK07・(SK10) SD11・15・26 SR04	(SK18) (SD41・43)
平安時代中～後期 (9c後半～11c)				
平安末～鎌倉時代 (11c末～14c前)	SB01・SA01 SK01・02・03 SD02・03・04・05 (SD01・杭列1)		SB09 SK09・12 SD16・17・24 SX02・貝層1	SB16・17・18 SK17 貝層3・4・5・6・7
室町・戦国時代 (15～16c)				
江戸時代 (17～18c)			SK08・SD18・SD21	SD32・34・36・37・ 38・39

\*深い掘削は遺物は認められるが少量である場合、深い掘削は遺物が比較的多くまわって出土していることを示す

は磨製石斧、サスカイト製スクレーパー、流紋岩質安山岩製の打製石斧や大形の刃器が出土している。遺構は自然河道状の遺構1 (SR05)、土坑1 (SK16)、小ピット群を検出したのみである。

このように、当該期においてはわずかな遺構・遺物を検出したのみであるが、この時期以降、数次の空白を除けば近世に至るまでは継続的に遺物が認められることから、当遺跡形成の始点的位置を占める時期としての評価が可能であろう。

当該期の出雲平野南部から神西湖南岸地域においては、三田谷I遺跡のような中核的な集落が存在するほか (中川 2003)、当遺跡をはじめとして保知石遺跡や浅柄遺跡、三部竹崎遺跡など平野縁辺部の小規模な谷間に立地する傾向が認められることから、当該期にこのような小規模な谷平野の開発が積極的に進められたものと想定され、当地域の土地開発史における一つの画期としてとらえることができよう。



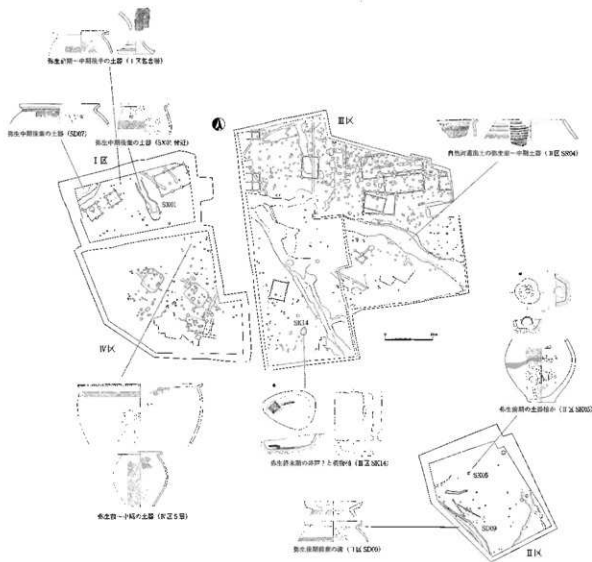
第191図 九景川遺跡 縄文時代後・晩期の様相

### (3) 弥生時代の様相 (第192図)

弥生時代の遺構・遺物は当遺跡の場合、概して稀薄である。弥生時代前期の遺物は各調査区で散発的に出土しているものの、前代の突帯文土器期の様相と比べ大きな変化はない。唯一、Ⅱ区では土坑内で口縁部を欠いた壺が倒立した状態で検出されている(Ⅱ区SK05)。確認はないものの、安来市柳Ⅱ遺跡SK01例(高根県教育委員会1996)などからみて小児用壺棺である可能性が高い。しかし現状では単独出土であり周辺には墓塚状の遺構は確認できていない。こうした遺構・遺物の様相からみて谷内に集落が存在したにせよ、極めて小規模なものであったと推察される。

弥生時代中期もほぼ同様な状況であり、遺構としてはⅠ区で不整形な落ち込み(SX01)が確認されたにすぎない。また、Ⅱ区に属する明確な遺物は確認できず、断絶が認められる。ただ中期中～後葉の遺物は一定量認められることから、当該期集落立地の一般的なあり方から推定すれば、調査区外の丘陵縁辺部に集落が営まれていた蓋然性が高い。

弥生時代後期の遺構・遺物はやや谷の奥まったⅡ区南半部及びⅡ区において認められる。Ⅲ区で

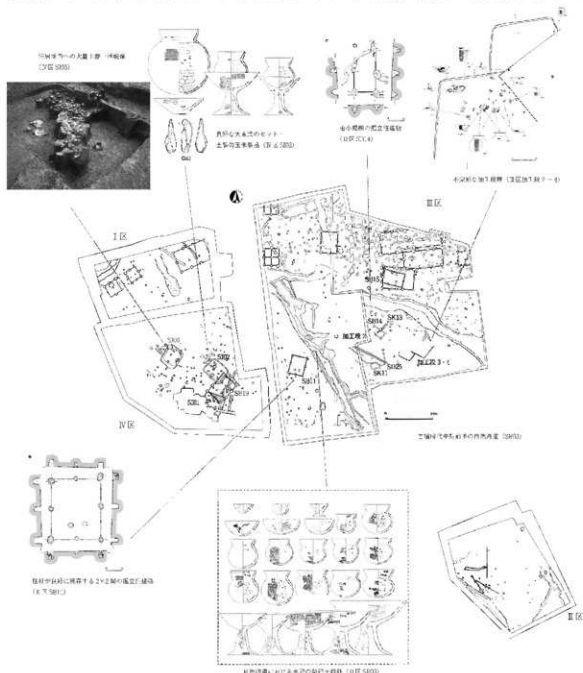


第192図 九城川遺跡 弥生時代の様相

検出したSK14は上半部が中世貝塚のSX02により破壊されているが、湧水地点に掘り込まれていることや剣物桶の出土から井戸である可能性が高い。周辺に当該期の遺構はなく、井戸だけが湧水地点である当該箇所へ営まれたものと想定される。また、Ⅱ区において検出したSD09は丘陵裾を区画するかのように弧状に廻っている。こうした遺構配置の様相から考えると、当該期の集落はⅡ区西側・Ⅲ区南側の丘陵に存在した可能性を考慮してもよいだろう。

#### (4) 古墳時代中期前半 (第193図)

遺構・遺物がほとんど認められない古墳時代前期の空白期を挟み、古墳時代中期初頭になると当該期においても本格的に集落が営まれるようになる。当該期の集落はⅣ区及びⅢ区南半部を中心に形成されているが、Ⅲ区北半においてもSB15をはじめとして遺構・遺物が一定量認められること



第193図 九景川遺跡 古墳時代中期前半の様相

から、谷平野北半部一体に集落が展開していたものと考えられる。

遺構は主なものとして堅穴住居3、掘立柱建物4、加工段状遺構3がある。遺構の分布は、北流する自然河道（SR03）を挟んで東西に展開しているが、河道の東西でその様相が大きく異なる。すなわち、河道西側においては堅穴住居3棟がほぼ主軸を一にして点在するのに対し、河道東側は掘立柱建物2棟と不定形加工段3棟が存在するのみで堅穴住居はない。東側の掘立柱建物でも小規模なSB14については居住用施設とは考え難く、加工段2～4も柱穴や壁帯溝が無く居住可能な構造物を想定しにくいことからみて、河道東側は主として居住施設に付随する倉庫群・作業的なエリアと想定することができる。

このように当該期集落については、大雑把に言って河道を挟んで西側の居住エリアと東側の作業場・倉庫エリアが分立する集落景観を復元できる。そして、その中央を縦断するSR03は、SK15や溝状の掘り込みから鑑みて日常的な用水施設として利用されるとともに、小形丸底壺を主体とする土器群の存在から想定されるように、継起的な祭祀行為が執り行われる、当集落の維持・再生産に極めて重要な役割をはたしていた小河川と理解されよう。

集落の継続期間については、土器については後述するが、土器型式上では大きな年代幅を想定し難く、比較的短期間に形成され廃絶した集落であったと考えられる。その中で同時併存建物を復元することは現状では困難であるが、切り合い関係からSI01→SB19、加工段3→加工段4の建て替えは明らかであり、概ね2小期に分離できると思われる。とすると、IV区では空間的配属関係からSB19とSI03が同じ併存である可能性が高く、SI01・02→SI03・SB19と推移したと推察される。このように考えれば、一時期に堅穴住居（居住用建物）、掘立柱建物（倉庫）、作業場（加工段）がそれぞれ1～2棟ずつ併存しセットをなしていた可能性が高い。こうした集落構成はいわゆる単位集団（近藤1983）・世帯共同体（都出1970）に概ね対応するものと考えられる。

当該期の集落は隣接する玉泉寺裏遺跡で同時期の堅穴住居を1棟確認しているほか、東隣の谷に位置する御崎谷遺跡や開谷西II遺跡でも当該期の遺物が出土し<sup>②</sup>、さらに当遺跡の東約1kmの谷出口に位置する浅柄遺跡においても当該期に属する堅穴住居が確認されている（山雲市教育委員会2000）。特に玉泉寺裏遺跡の堅穴住居は当遺跡を見下ろす丘陵上に単独で存在することから、当集落と同一の集団によって営まれていた可能性が高く、その機能が注目される。このように当該期の出雲平野南西部においては、小規模な集落がそれぞれ小さな谷間ごとに点在していた集落景観を想定することが可能であろう。

#### （5）古墳時代中期後葉～後期の様相（第194図）

先述のように、Ⅲ・Ⅳ区において古墳時代中期初頭に出現した集落は比較的短期間で廃絶する。その後、やや間隔を置いて谷奥部のⅡ区において当該期の遺構・遺物が確認できるようになる。検出された遺構は自然河道1（SR02）、区画溝（SD09-A）、横列（SA02）、ピット群等で明確な居住域は確認できていないが、自然河道中から一定量の遺物が出土していることから付近に居住域が存在した可能性が高い。

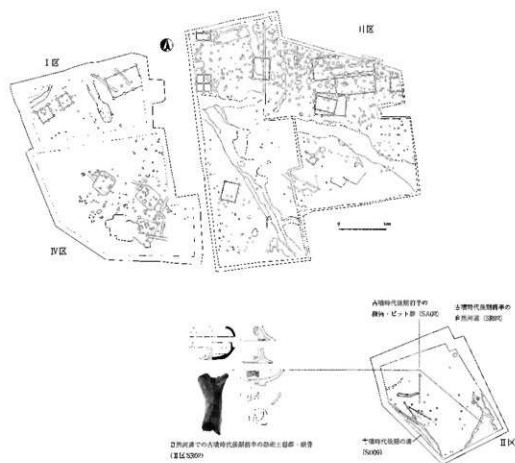
自然河道であるSR02出土遺物には丹塗りの高坏や坏、手捏ね土器が高い比率を占めていること、土器群に混じってウシの上腕骨が出土していることからⅢ区SR03と同様に水辺における祭祀行為

② 鳥根県埋蔵文化財調査センター 今岡一三氏のご教示による

が執り行われていた可能性が高い。ウシの上腕骨はSR02の河床からやや浮いた状態で出土しているが、他の遺物と混在する状態で出土している（写真38）。SR02出土遺物は若干時期が降る資料を含むものの、概ね古墳時代後期前半に取まる資料群と考えられることから、この獣骨も当該期に属する可能性が高い。

列島におけるウシは4世紀以前に遡る事例は稀で5世紀中頃から普及したとされる（松井1999）。出雲平野では白枝本郷遺跡で古墳時代後期後半の溝からウマの臼歯が出土し、当該期における牛馬耕の開始との関連が指摘されている（角川2006）。当遺跡例の場合は共伴する土器群の性格からみて、祭祀的・儀礼的な性格を備えている可能性があり、今後他の事例を踏まえ検討する必要がある。

6世紀後半～7世紀の遺物は若干ではあるが各調査区から出土しており、引き続きこの谷が生活域として利用されていることがわかる。特にⅡ区では遺構は存在しないものの当該期の遺物が一定量認められることから、谷奥部の丘陵に当該期の集落が存在していた可能性が高い。当遺跡の東側に隣接する玉泉寺裏遺跡でも当該期の可能性の高い建物跡が丘陵斜面より検出されていることからみて、当該期には居住域は主として丘陵縁辺部へと移動し、谷部は生産域として利用されていたものと考えられる。

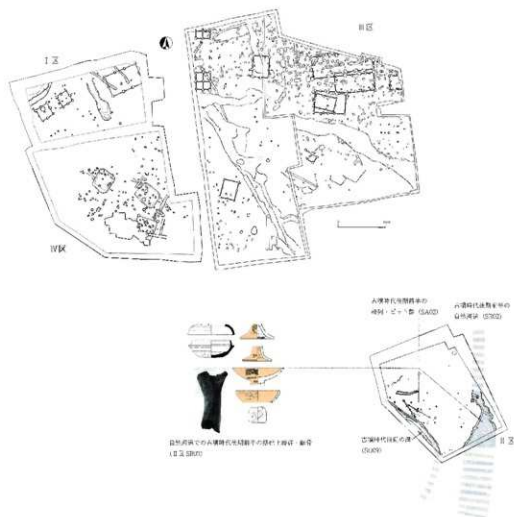


第194図 九景川遺跡 古墳時代中期後半～後期の様相

が執り行われていた可能性が高い。ウシの上腕骨はSR02の河床からやや浮いた状態で出土しているが、他の遺物と混在する状態で出土している（写真38）。SR02出土遺物は若干時期が降る資料を含むものの、概ね古墳時代後期前半に収まる資料群と考えられることから、この獣骨も当該期に属する可能性が高い。

列島におけるウシは4世紀以前に遡る事例は稀で5世紀中頃から普及したとされる（松井1999）。出雲平野では白枝本郷遺跡で古墳時代後期後半の溝からウマの臼歯が出土し、当該期における牛馬耕の開始との関連が指摘されている（角田2006）。当遺跡例の場合は共伴する土器群の性格からみて、祭祀的・儀礼的な性格を備えている可能性があり、今後他の事例を踏まえ検討する必要がある。

6世紀後半～7世紀の遺物は若干ではあるが各調査区から出土しており、引き続きこの谷が生活域として利用されていることがわかる。特にⅡ区では遺構は存在しないものの当該期の遺物が一定量認められることから、谷奥部の丘陵に当該期の集落が存在していた可能性が高い。当遺跡の東側に隣接する玉泉寺裏遺跡でも当該期の可能性の高い建物跡が丘陵斜面より検出されていることからみて、当該期には居住域は主として丘陵縁辺部へと移動し、谷部は生産域として利用されていたものと考えられる。

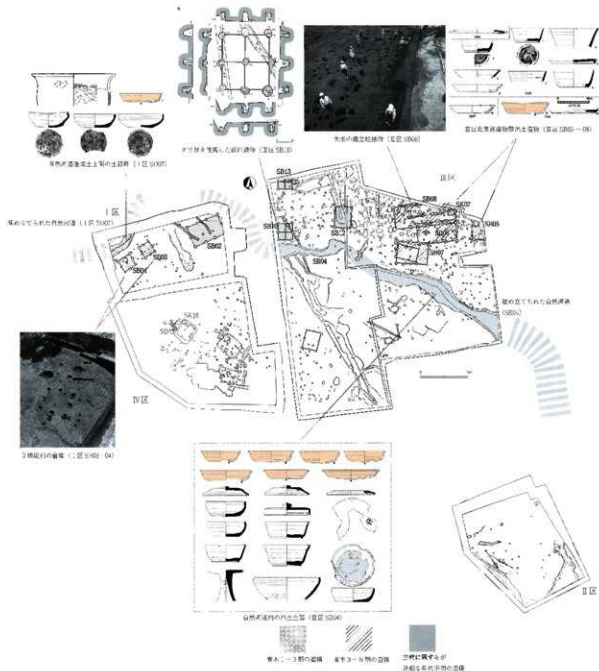


第191図 九景川遺跡 古墳時代中期後葉～後期の様相

## (6) 奈良時代～平安時代初期の様相 (第195図)

当該期は当遺跡で遺構が最も密に認められる時期であり、特に谷部北側のⅠ・Ⅲ区では当該期の遺構を多数検出している。Ⅲ区における当該期の遺構はその殆どが当該期の自然河道であるSR04乃至はその埋め立て後に掘り込まれたSD15よりも北側に営まれており、この自然河道が居住空間を分節化する上で重要な役割を担っていたことを示唆する。

Ⅲ区北半部は後世にかなり削平されており、また平地に建てられた掘立柱建物という性格上、それぞれの建物の詳細な年代を特定することは難しい。個々の建物の年代について再度述べると、まずⅠ区SB03・04は棟通りが揃っていることから同一併存である可能性が高い。柱穴出土土遺物はないが、建物に隣接する自然河道SD07との関係から、SB03・04の年代はSD07を埋め立てた造成土上面から出土した遺物の年代、すなわち古木Ⅱ期に求められる。SB02は積極的な根拠はないが、



第195図 九景川遺跡 奈良時代～平安時代前期の様相

SB03・04との位置関係からSB03・04と前後する時期のものとする。

Ⅲ区北東部のSB05～08については、柱穴内からの出土遺物から青木Ⅳ期、9世紀前葉頃に比定される。一方、Ⅲ区北西に位置する総柱建物であるSB10はAMS年代から7世紀後半～9世紀の値が出ており、古代に属する建物であることは確実である。その北に位置するSB13は建物南半しか調査していないが、柱材にSB10と同じク材を用いている点、両建物の棟通りが揃っている点から、Ⅰ区SB03・04の場合と同様に二棟対で並ぶ倉庫群である可能性が極めて高い。SB13の柱穴の一つからは青木Ⅱ～Ⅲ期に属する赤彩土師器が出土しており、これらの点からSB10・13の年代は青木Ⅱ～Ⅲ期に属する可能性が高い。

その東に位置するSB12は出土遺物から青木Ⅲ期に属すると考えられる。SB12は建物主軸を南北方向にとる点で東西主軸のⅢ区北東部建物群とは大きく異なっており、かつSB10・13の主軸方向とはほぼ一致している点が注目される。こうした点から、SB12はSB10・13と密接な関係のもと計画的に配置された建物と考えたい。このような、2×2間の総柱建物2棟が並び、やや離れて中型の2×3間の独立柱建物が配置されるセット関係は、Ⅰ区SB02～04との関係と相同である。Ⅰ区SB02～04の建物セットとⅢ区北西建物群が併存するかどうかは出土遺物が僅少なため明言できないが、建物主軸が異なる点やSB12等からの出土遺物からみて、Ⅲ区北東部建物群が後出する、やや時期差をもつものとして捉えた方が自然なように思われる。

以上の検討から、当遺跡における古代集落は、青木Ⅱ期からⅢ期（8世紀中頃～後葉）にかけて倉庫2棟、2×3間建物のセットが西から東へ順次営まれる一方、青木Ⅳ期（9世紀前葉）にはⅢ区北東部に多数の独立柱建物が営まれるに至ったと理解される。ただし、Ⅲ区北東部建物群は重複することから一定の時期幅をもつことは明らかであり、さらに復元できた建物以外にも多量の柱穴が存在する点、北東部建物群が営まれる際に埋め立てられたと想定されるSR04中からは青木Ⅱ期の資料がまとめて出土している点から、当区域においては青木Ⅱ～Ⅳ期にかけて継ぎ的に建物が営まれたと考えた方が自然である。またⅢ区北東部建物群には総柱建物は存在しない点から、貫して居住用建物が営まれていた蓋然性が高い。このことから当遺跡の集落構造は、自然河道SR04または区画溝SD15によって集落南限を区画し、Ⅲ区北東部には一貫して居住施設が存在し、Ⅰ区やⅢ区北西部に倉庫群及びそれに付随する施設が計画的に配置されていたものと理解したい。

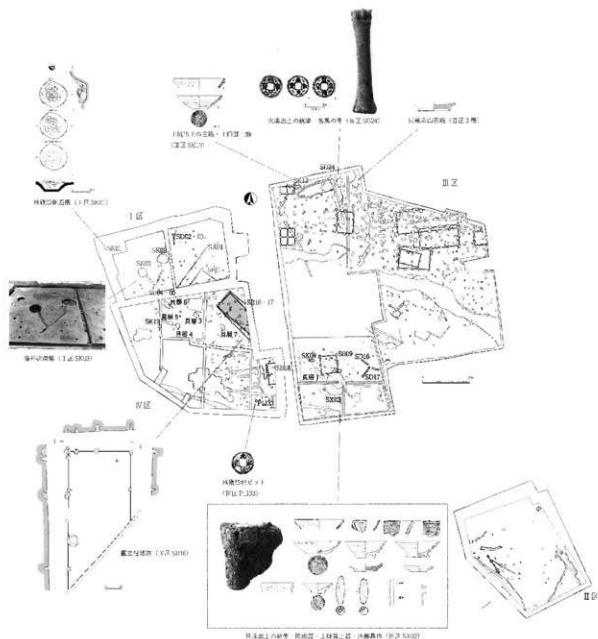
## (6) 中世前半期の様相

当遺跡においては9世紀前葉を境に遺物量が激減し、9世紀後葉～11世紀にかけての遺物は全くと言っていいほど存在しない。11世紀末～12世紀になると再び当遺跡で集落が営まれるようになる。遺物は若干後出的な遺物が含まれるものの、輸入陶磁器から12～13世紀にほぼ限定される。

当該期の集落は古代とは対照的にⅢ区SR04より南側に集中しており、古墳時代中期前半の集落域とはほぼ重複する。居住域はⅠ区SB01やⅣ区SB16～18のように谷部西寄りのⅠ・Ⅳ区東側にその中心があり、建物はSB18を除くと主軸を北西～南東方向に向ける点で一致している。SB18はほぼ東西～南北方向に主軸を置き、周辺の近世溝と主軸を一致にする点から近世まで降る可能性も考慮すべきかもしれない。なお、地鎮祭祀土坑であるSK01はこれらの建物が廃絶後埋め立てられた造成土の上から掘り込まれている点から明らかに後出するものの、出土銭貨や土師質土器からみて14世紀までは降らないと考えられる。

I区SB01の西側には楕円であるSA01が主軸を同じくして位置し、屋敷地の区画と推定される。その外側にはSK02・03等が位置する。特にSK03は溝が取り付く形状やステップの存在から溜井状の遺構と考えられ、屋敷地西側は畑地等としての利用が行われていたと推測される。

一方、Ⅲ区南西部にはSB09が存在するものの、中心部にSX02が位置することからみて、主に廃棄場・作業場的な空間であったと推測される。またⅢ区北側にも若干ではあるがSK12、SD24など当該期の遺構が存在することから、集落域はさらに調査区北側に広がっていたものと考えられる。特にSD24は比較的規模も大きく、区画的な性格を備えた溝であった可能性が高い。SD24からは土師質土器や銭貨とともにウマの中予骨が出土している。体高137cmの中世としては大きく立派な体格の馬であったとされ（第8章第5節）、灰釉系山茶碗（144-7）とともにこうした名馬を保有可能な有力層が当集落周辺に居住していた可能性を物語る。



第196型 九景川遺跡 中世前半期の様相

## 第2節 古墳時代中期前半の遺構・遺物に関する諸問題

### (1) Ⅲ・Ⅳ区出土土師器群の編年の位置

Ⅲ・Ⅳ区においては、竪穴住居や加工段、土器だまり、自然河道等から多量の古墳時代中期に属する土器を検出した。これらは若干の火雑物及び時間幅が見込まれるものの、比較的限定された時間軸内に収まる土器群と考えられ、特に竪穴住居群や加工段群、土器だまり出土資料は、当該期では数少ない一括性の高い土器群として注目できる。まずは出雲平野全域まで視野を広げ、その編年の位置について検討しておく。

#### A. 土器の分類

##### 出雲平野における古墳時代中期の土器編年の現状

出雲における古墳時代中期の土師器については、房宗寿雄氏、松山智弘氏らによる編年研究があり(房宗1982・松山1991)、現在では松山編年が広く一般的に使用されている。松山編年は主に高坏の製作技法の変遷に着目しその変化を基軸に据えた上、一括資料の検討から他の器種の変化についても整合性を配慮した優れた編年案であり、現在でもその基本的な変遷については概ね妥当と思われる。ただし、松山編年は出雲東部、特に意宇平野の資料を中心として編まれた編年であり、後述するように出雲平野では高坏などの様相が大きく異なることからその適用には一定の注意が必要である。

ここでは基本的には高坏の変遷を主軸とした松山編年に沿いつつも、高坏以外の器種の消長や各器種の型式変化を勘案したうえ、出雲平野における古墳時代前期末～中期末の一括資料群を対象に検討を行い、当遺跡出土土器群の位置付けを試みてみたい。

##### 各器種の分類(第197図)

出雲平野における当該期土器器種の分類を第197図に示した。ここでは、比較的变化の明瞭な器種を中心に若干説明を加えておく。

**壺** 壺は形態からA～Cに三大別し、壺Cについてはさらに細分を行った。壺A・Bは小谷式系の複合口縁壺、壺Cはいわゆる直口壺で、赤彩の有無で二大別し、さらに口縁・胴部形態で細分する。

小形丸底壺は口縁部径と胴部径との関係から3大別したが、各時期ごとのバラエティが著しく、系列として明確な型式変化を辿るのは難しい。

**甕** 器種組成の中心を占め、弥生時代後期以来、土器編年の指標として重要視されている器種であるが、古墳時代中期以降はそれ以前のような明瞭な型式変化が辿れない。ここでは口縁部形態から4大別しておくにとどめる。

**高坏** 坏部形態から5大別し、さらに細分を行った。高坏Aは小谷式系の碗形で口縁部が外反するタイプで、接合法により二つに分けている。高坏Bは坏部に段または稜を有する高坏で、当地で最も主流を占める型式である。坏部が直線または外反状に延びるBa類と坏部が一旦膨らんだ後口縁が外反するBb類とに細分した。後述するようにBb類はBa類の影響を受けつつもBa類とは系譜を異にして出現した形式である可能性が高い。

第198図は高坏Ba類完形品のうち、口縁部径に対する坏段部径の比と坏部上半部高に対する坏部下半部高の比をそれぞれ算出し、グラフ化したものである。これを見ると松山Ⅱ期の領域とⅣ期の領域とは一部重複しつつも概ね分離可能であり、時期が降るにつれ坏段部径及び坏部下半部高の委

縮傾向を指摘できる。以上を根拠に Ba 類をさらに二つに細分する。

C 類は坏部がやや内湾しつともほぼ直線的に延びる、いわゆる直口高坏で、当遺跡での主要型式の一つを占める。D 類はいわゆる碗形高坏で、通常の碗形を呈する Da 類と坏部に接合段を有する Db 類に大別し、Da 類は接合法によってさらに二種に細分する。E 類はいわゆる低脚高坏である。なお、九景川遺跡では以上の分類に該当しない中実脚タイプの高坏が一定量存在する。

**低脚坏・鼓形器台** 小谷系の器種であり、中期のごく早い段階には消滅する。それぞれ 2 大別する。

**壺の分類**

壺A(小谷系外反縁直口矮壺)：短い頸部を備え外反する接合口縁をもつもの  
 壺B(小谷系直口・内反縁直口矮壺)：短い頸部を備え直りない口縁をもつもの  
 口縁を伸つもの

**甕(甕)類**

- Ca：帯釘しないもの  
 Ca-1：頸部が丸みを帯びたまたは外反する長い口縁をもつもの  
 Ca-2：帯釘が丸みを帯びたまたは短い口縁をもつもの  
 Cb：帯釘するもの  
 Cb-1：頸部が丸みを帯び、頸部が長く口縁部が短いもの  
 Cb-2：頸部が直で頸部が短く口縁部が長いもの

**小形丸底甕の分類**

- A：口縁部が明確に下出るもの  
 B：口縁部が明確にほぼ同等かやや小さいもの  
 C：口縁部が明確にほぼ大きいもの

**甕の分類**

甕A(小谷系直口・直甕)：口縁部が明確に突出するもの  
 甕B(大塚系直口直甕)：口縁部が突出せず、口縁が厚で短いもの  
 甕C(直口直甕)  
 Ca：口縁部が明確に突出またはアケシヤを持つもの、右偏底  
 Cb：口縁部が明確に突出しないもの、右偏底  
 甕D(外反・直甕)：口縁部が外反するタイプを一

体(直口・直甕)：帯釘がやや内湾の直口が直線的に上へ上がるもの  
 高坏D(碗形高坏)：頸部が短く直口が直線的に上へ上がるもの  
 Da：通常の碗形を呈するもの  
 Da-1：輪窓度である碗形を呈するもの  
 Da-2：それ以外の接合法をとるもの  
 Db：高坏下部に頸部との接合時の段・境を有するもの  
 高坏E(短脚高坏)：頸部が短く直口が直線的に上へ上がるもの、環部は直線的に上へ上がるもの

**低脚坏の分類**

低脚坏A(小谷系低脚坏)：通常の直脚坏  
 低脚坏B：ムコトニア型

**鼓形器台の分類**

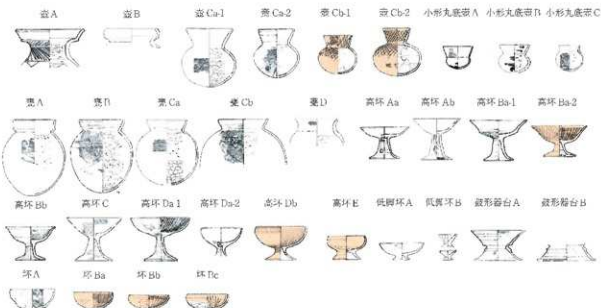
鼓形器台A：頸部位置に明確な平直面を有するもの  
 鼓形器台B：頸部位置に平直面がなく段を形成するもの。口縁・頸部は反り上がる

**坏・鉢・碗の分類**

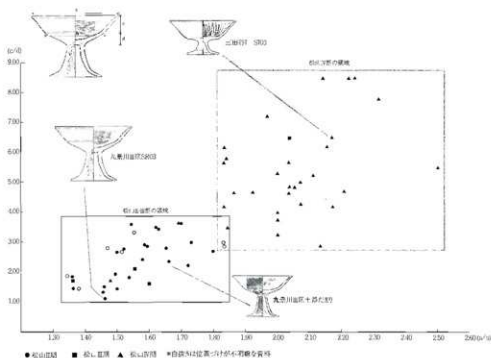
坏A(薄輪坏)：外壁に明確な平直面を有するもの。形はバリエーションが豊富  
 坏B(薄輪坏)：輪窓度の異なる平直面を有するもの。形はバリエーションが豊富  
 坏C(薄輪坏)：輪窓度の異なる平直面を有するもの。形はバリエーションが豊富  
 Ba：口縁部が直で直口が直線的に上へ上がるもの  
 Bb：口縁部が直で直口が直線的に上へ上がるもの  
 Bc：口縁部が内湾するもの

**高坏の分類**

高坏A(小谷系高坏)：頸部が短く直口が直線的に上へ上がるもの  
 Aa：輪窓度の異なる高坏  
 Ab：輪窓度の異なる高坏  
 Bb：輪窓度の異なる高坏  
 Bc：輪窓度の異なる高坏  
 Ca：頸部が直で直口が直線的に上へ上がるもの  
 Cb：頸部が直で直口が直線的に上へ上がるもの  
 D：頸部が直で直口が直線的に上へ上がるもの  
 Da-1：頸部が直で直口が直線的に上へ上がるもの  
 Da-2：頸部が直で直口が直線的に上へ上がるもの  
 Db：頸部が直で直口が直線的に上へ上がるもの  
 E：頸部が直で直口が直線的に上へ上がるもの



第 197 図 古墳時代前期末～中期土師器の分類



第198図 高坏Ba類の分類

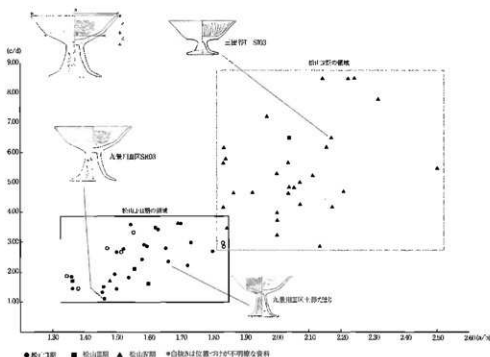
坏 従来坏・碗・鉢と呼称されていた器種で、法量等により細別可能だがここでは一括して扱う。外面に指頭圧痕を顕著に残す不整形なタイプ(A類)と、精選された胎土を用い赤彩を施すタイプ(B類)とに大別し、後者については口縁部形態により三つに細分する。B類については口縁端部の処理や赤彩の範囲などによりさらに細分が可能であるが、これについてはB類全体の型式学的傾向の中で取り扱う。

#### B. 共伴関係の検討 (第199図)

第199図は、出雲平野における当該期の比較的良好的一括資料と考えられる資料を対象に各型式及び属性の共伴関係を示したものである。土器群の配列に当たっては松山編年における高坏の変遷及び坏の出現などの器種の消長、共伴須恵器の年代観等を考慮し、上から下へ時系列順に配列してある。これを見た場合、壺のようにほとんど様相に変化のない器種や、二重口縁壺のように、一旦消滅した型式が突然復活する事例も見受けられるが、各器種ともに概ね各型式が整合的に変化・消長している様相を看取できる。具体的な器種で言えば、壺CはCa-1→Ca-2→Cb-1→Cb-2の順で推移し、小形平底壺はA→B→C、高坏BはBa-1→Ba-2・Bb、坏はA→Ba・Bb→Bcの順で一部重複しつつも概ね順調に推移し、矛盾するような様相は認め難い。

こうした型式変化・器種の消長から、当該期の土器群は、坏Bの出現、高坏Baの型式変化、赤彩・暗文の盛行などにより概ね二人別することが可能である。さらに前者については確実に小谷式に属する段階を除いた資料については、小谷式系器種の残存状況や高坏Cの有無を主な指標として前後二小期に細別することができる。

後者については、赤彩される精製器種の型式変化を指標に細分を試みる。壺Cについては、①赤彩されないCa-2類または赤彩されていても器形はCa-2類とほぼ同じでかつ暗文が施されないCb-1類の段階から、②暗文が施されるCb-1類の段階、③体部が扁平化したCb-2類の段階との変遷をたどることができる。この段階設定は高坏・坏の型式変化と大まかに対応する。すなわち、定



第198図 高坏Ba類の分類

坏 従来坏・碗・鉢と呼称されていた器種で、法量等により細別可能だがここでは一括して扱う。外面に指頭圧痕を顕著に残す不整形なタイプ(A類)と、精選された胎土を用い赤彩を施すタイプ(B類)とに大別し、後者については口縁部形態により三つに細分する。B類については口縁端部の処理や赤彩の範囲などによりさらに細分が可能であるが、これについてはB類全体の型式学的傾向の中で取り扱う。

#### B. 共伴関係の検討 (第199図)

第199図は、出雲平野における当該期の比較的良好的一括資料と考えられる資料を対象に各型式及び属性の共伴関係を示したものである。土器群の配列に当たっては松山編年における高坏の変遷観及び坏の出現などの器種の消長、共伴須恵器の年代観等を考慮し、上から下へ時系列順に配列してある。これを見た場合、壺のようにほとんど様相に変化のない器種や、二重口縁壺のように、一旦消滅した型式が突然復活する事例も見受けられるが、各器種ともに概ね各型式が整合的に変化・消長している様相を看取できる。具体的な器種で言えば、壺CはCa-1 → Ca-2 → Cb-1 → Cb-2の順で推移し、小形丸底壺はA → B → C、高坏BはBa-1 → Ba-2・Bb、坏はA → Ba・Bb → Bcの順で一部重複しつつも概ね順調に推移し、矛盾するような様相は認め難い。

こうした型式変化・器種の消長から、当該期の土器群は、坏Bの出現、高坏Baの型式変化、赤彩・暗文の盛行などにより概ね大別することが可能である。さらに前者については確実に小谷式に属する段階を除いた資料については、小谷式系器種の残存状況や高坏Cの有無を主な指標として前後二小期に細別することができる。

後者については、赤彩される精製器種の型式変化を指標に細分を試みる。壺Cについては、①赤彩されないCa-2類または赤彩されていても器形はCa-2類とほぼ同じでかつ暗文が施されないCb-1類の段階から、②暗文が施されるCb-1類の段階、③体部が扁平化したCb-2類の段階との変遷をたどることができる。この段階設定は高坏・坏の型式変化と大まかに対応する。すなわち、定

型化した高坏 Ba-2 は①に若干存在するものの②の段階から盛行し、高坏 Db 類及び高坏 E は②の終わらないしは③の段階から出現する。坏は①の段階は浅い Ba 類が上流で口縁端部は先細りのものが多く、②の段階になると口縁部が内湾する Bc 類が主流となり、口縁端部を面取りするタイプが日立つようになる。③の段階では Bc 類にはほぼ統一されるとともに、口縁端部を面取りする例が減り、替わって丸く収めるものが主流を占めるようになり、さらに外面赤彩を口縁部に限定し底部付近を省略する例が日立つようになる。

これら精製器種の変化は、現状では若干のズレをもちつつもほぼ整合的に変化していることから時期差を反映している可能性が高い。以上のように、現状では出雲平野における当該期の土器群は概ね二大別 6 小期に分けられると考えられる。以下、各器種の具体的変化・消長を中心に 6 小期各段階の様相について概観する。

### C. 各段階の様相 (第 200・201 図)

**様相 1** 確実に小谷式に属する段階であるが、様相 2 以降との比較のために代表的な資料を掲げておいた。壺は複合口縁壺である A・B が前代に引き続き存在し、頸部の施文なども残存する。口縁端部の反り・肥厚が顕著となる。壺 C は口縁部の長い Ca-1 類にはほぼ限定される。小形丸底壺は口縁が胴部径を上回る A 類が主流だが口径と胴部径がほぼ同等の B 類も既にこの段階で出現している。

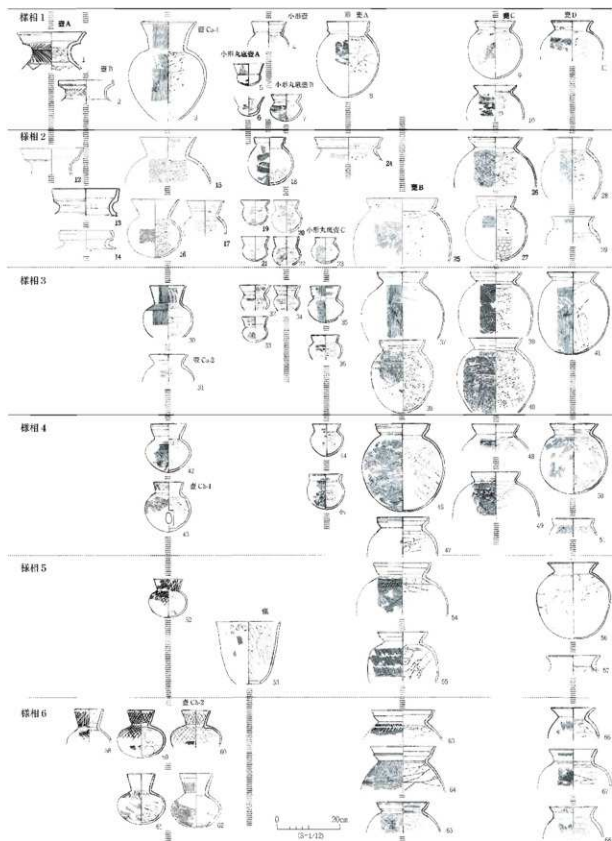
甕は小谷式的な A 類が上流を占める。口縁部段部等の退化傾向は顕著であるが、なお段部は明瞭に突出し、B 類とは一線を画す。甕 C 類は布留甕系の内面肥厚タイプが出現する。当地域では小谷 3 式以前の布留系を含めた単純口縁甕には内面肥厚の資料は非常に乏しく、当該段階から本格的に出現し、次の様相 2 の段階に最も盛行する。

高坏は碗形の A 類が主流で B 類は意外に少ない。この事実は様相 2 以降主流を占める高坏 B が、単純に小谷式系の有縁高坏の系譜上では理解できない事実を物語る。高坏 A は坏部の萎縮化と長脚化の傾向が顕著になり、坏部の口径萎縮・深化と長脚化が極度に進行したタイプ (201-3) が出現する。釜代古墳・上野 1 号墳など前期末の円墳から出土する高坏は同タイプに近い。低脚坏・鼓形器台は良好な資料に恵まれないが、総体的に土器組成の中での比率が低下する。胎土は長石・石英の小粒を多く含み、灰白色を呈するものが殆どを占める。当該段階は松山智弘氏の小谷 3～4 式に相当する段階であると考えられる (松山 2000)。

**様相 2** 大東式古相段階であり、甕 B・D や高坏 Ba・C、坏 A など大東式に特徴的な器種が一斉に出現するとともに、小谷式器種が一定量残存し、特にその系列下である小形丸底壺や甕 Ca (口縁部内面肥厚壺) が最も盛行する段階として特徴づけられる。壺は A 類はほぼ消滅し、B 類も若干残存するものの、口縁部段部が鈍くなり、頸部文様が消失するなど形骸化が進む。甕 C は前代以来の Ca-1 類が盛行するが、口縁部が短い Ca-2 類もわずかながら認められる。小形丸底壺は前代に比べて一気に増加し、A～C 類のいずれもが存在し、個々の形骸差が著しい。甕は小谷式的な A 類はわずかに残るがほぼ消滅し、かわって口縁部が短く厚手の B 類が出現・盛行する。後述するように九景川遺跡では甕 B の色調・胎土は甕 A・Ca とはかなり異なっている。また、肩部の刺突文は当該段階には一旦ほぼ消滅し、甕全体の中で複合口縁甕の占める比率が急激に低下する。先述のように当該段階には布留系甕である Ca 類が最も盛行する。また、口縁部が外反する D 類もほぼ当該段階に出現するが、D 類の多くは A～C 類とは胎土・色調が大きく異なるものが多い。







① 平塚 1-2307 ② 久保 中野池 100 区 ③ 土器 ④ 27 中野池 100 区 ⑤ 土器 ⑥ 5 榑小浜 大 下 野池 ⑦ 611 山崎 土器 ⑧ 20 A 山崎 1-2506 ⑨ 榑 1 W 区 ⑩ 101 山崎 1 W 区 ⑪ 102 山崎 1 W 区 ⑫ 103 山崎 1 W 区 ⑬ 104 山崎 1 W 区 ⑭ 105 山崎 1 W 区 ⑮ 106 山崎 1 W 区 ⑯ 107 山崎 1 W 区 ⑰ 108 山崎 1 W 区 ⑱ 109 山崎 1 W 区 ⑲ 110 山崎 1 W 区 ⑳ 111 山崎 1 W 区 ㉑ 112 山崎 1 W 区 ㉒ 113 山崎 1 W 区 ㉓ 114 山崎 1 W 区 ㉔ 115 山崎 1 W 区 ㉕ 116 山崎 1 W 区 ㉖ 117 山崎 1 W 区 ㉗ 118 山崎 1 W 区 ㉘ 119 山崎 1 W 区 ㉙ 120 山崎 1 W 区 ㉚ 121 山崎 1 W 区 ㉛ 122 山崎 1 W 区 ㉜ 123 山崎 1 W 区 ㉝ 124 山崎 1 W 区 ㉞ 125 山崎 1 W 区 ㉟ 126 山崎 1 W 区 ㊱ 127 山崎 1 W 区 ㊲ 128 山崎 1 W 区 ㊳ 129 山崎 1 W 区 ㊴ 130 山崎 1 W 区 ㊵ 131 山崎 1 W 区 ㊶ 132 山崎 1 W 区 ㊷ 133 山崎 1 W 区 ㊸ 134 山崎 1 W 区 ㊹ 135 山崎 1 W 区 ㊺ 136 山崎 1 W 区 ㊻ 137 山崎 1 W 区 ㊼ 138 山崎 1 W 区 ㊽ 139 山崎 1 W 区 ㊾ 140 山崎 1 W 区 ㊿ 141 山崎 1 W 区 1 142 山崎 1 W 区 2 143 山崎 1 W 区 3 144 山崎 1 W 区 4 145 山崎 1 W 区 5 146 山崎 1 W 区 6 147 山崎 1 W 区 7 148 山崎 1 W 区 8 149 山崎 1 W 区 9 150 山崎 1 W 区 10 151 山崎 1 W 区 11 152 山崎 1 W 区 12 153 山崎 1 W 区 13 154 山崎 1 W 区 14 155 山崎 1 W 区 15 156 山崎 1 W 区 16 157 山崎 1 W 区 17 158 山崎 1 W 区 18 159 山崎 1 W 区 19 160 山崎 1 W 区 20 161 山崎 1 W 区 21 162 山崎 1 W 区 22 163 山崎 1 W 区 23 164 山崎 1 W 区 24 165 山崎 1 W 区 25 166 山崎 1 W 区 26 167 山崎 1 W 区 27 168 山崎 1 W 区 28 169 山崎 1 W 区 29 170 山崎 1 W 区 30 171 山崎 1 W 区 31 172 山崎 1 W 区 32 173 山崎 1 W 区 33 174 山崎 1 W 区 34 175 山崎 1 W 区 35 176 山崎 1 W 区 36 177 山崎 1 W 区 37 178 山崎 1 W 区 38 179 山崎 1 W 区 39 180 山崎 1 W 区 40 181 山崎 1 W 区 41 182 山崎 1 W 区 42 183 山崎 1 W 区 43 184 山崎 1 W 区 44 185 山崎 1 W 区 45 186 山崎 1 W 区 46 187 山崎 1 W 区 47 188 山崎 1 W 区 48 189 山崎 1 W 区 49 190 山崎 1 W 区 50 191 山崎 1 W 区 51 192 山崎 1 W 区 52 193 山崎 1 W 区 53 194 山崎 1 W 区 54 195 山崎 1 W 区 55 196 山崎 1 W 区 56 197 山崎 1 W 区 57 198 山崎 1 W 区 58 199 山崎 1 W 区 59 200 山崎 1 W 区 60 201 山崎 1 W 区 61 202 山崎 1 W 区 62 203 山崎 1 W 区 63 204 山崎 1 W 区 64 205 山崎 1 W 区 65 206 山崎 1 W 区 66 207 山崎 1 W 区 67 208 山崎 1 W 区 68 209 山崎 1 W 区 69 210 山崎 1 W 区 70 211 山崎 1 W 区 71 212 山崎 1 W 区 72 213 山崎 1 W 区 73 214 山崎 1 W 区 74 215 山崎 1 W 区 75 216 山崎 1 W 区 76 217 山崎 1 W 区 77 218 山崎 1 W 区 78 219 山崎 1 W 区 79 220 山崎 1 W 区 80 221 山崎 1 W 区 81 222 山崎 1 W 区 82 223 山崎 1 W 区 83 224 山崎 1 W 区 84 225 山崎 1 W 区 85 226 山崎 1 W 区 86 227 山崎 1 W 区 87 228 山崎 1 W 区 88 229 山崎 1 W 区 89 230 山崎 1 W 区 90 231 山崎 1 W 区 91 232 山崎 1 W 区 92 233 山崎 1 W 区 93 234 山崎 1 W 区 94 235 山崎 1 W 区 95 236 山崎 1 W 区 96 237 山崎 1 W 区 97 238 山崎 1 W 区 98 239 山崎 1 W 区 99 240 山崎 1 W 区 100

第 200 図 出雲平野における古墳時代前期末～中期土師器の変遷 (1)



**様相 4** 当該階は初期須恵器併行期段階である松山Ⅲ期に相当する資料を出雲平野において抽出することを念頭に置いて設定した段階であるが、当該期の良好な一括資料は出雲平野においては現状では見出し難い状況にある。これは、資料の稀少さもさることながら、後述するように当該階のメルクマールとなる接合法 $\gamma$ を備えた椀形高坏 Da やこれに共伴する初期須恵器が出雲平野では全く欠落しているという事実によるところが大きい。つまり、松山Ⅲ期併行期においては、出雲平野ではなお様相 3 的な器種構成が強固に残存していた可能性が想定されるのである。

こうした現状を踏まえて敢えて当該期に相当する資料を抽出すれば、指標となるのは赤彩された坏 B の出現であり、これに該当する資料として中野清水遺跡 6 区 8 号 I 器群や山持遺跡 IV 区 SK24 などあげられる。このように不確定な様相を残すが、暫定的に定型化した様相 5 への過渡的な段階として当該階を措定しておく。

壺は良好な資料に乏しいが、壺 C は前代に引き続き、Ca-2 類が主流を占めると共に、新たに赤彩された Cb-1 類が山持遺跡 IV 区 SK24 で確認できる (200 - 43)。これは Ca-2 類の器形に赤彩を施しただけのもので、様相 5 以降に展開する壺 Cb 類の初源的な資料と理解でき、これが山持 IV 区 SK24 では厚手で半球形かつ口縁部が先細り状を呈する坏 Ba 類と共伴している (201 - 44・46・47)。小形丸底壺は量的に激減し、C 類がわずかに残るのみである。

甕は B 類、D 類が盛行し、Ca 類は当該階までは残らない。高坏は良好な資料に乏しいが Ba 類と共に坏部上半が膨らんだ後口縁部が外反する Bb 類が出現する。出雲東部の当該期を特徴づける高坏である椀形高坏 D 類は中野清水 6 区 8 号 I 器群で認められるが、出雲東部の典型とは形態が大きく異なっている (201 - 40・41)。また、壺 C と同様に、当該階から高坏に赤彩が施されるようになる点も当該期を特徴づける重要な変化である。

坏は A 類が消滅し、赤彩及び底部手持ヘラケズリが行われる B 類が出現し (201 - 42~48)、土器組成上での比率が急激に高まる点が、当該期の最も主要なメルクマールとなる。坏 B の出現とその盛行は小形丸底壺の消長と相補的な関係にあると言え、機能はやや異なるものの供膳形態の主要器種の交代現象として理解される。前述のように当該階では半球状または浅い皿状の Ba 類が主流だが、内湾する Bc 類も一定量存在する。いずれのタイプも赤彩は内外面全体に及び、口縁部は先細り状を呈するものが多い (201 - 43~47)。

以上のように、様相 4 は良好な資料に恵まれず、個別型式内容については今後変更される余地が多いものの、当該期は小形丸底壺の激減や坏 B の出現及び盛行など器種構成に大きな変化が生じ、また供膳器種に一齐に赤彩が施されるようになるなど、古墳時代中期土師器を二人別する重要な画期と認識できる。共伴須恵器には恵まれないものの、様相 5 に共伴する須恵器の年代観から TK216 以前の須恵器出現期に比定されると思われる。

**様相 5** 定型化した須恵器と共伴する段階で、松山Ⅳ期の古相に相当する。壺 C は前代に出現した Cb-1 類が、頸部が締まって体部が丸みを帯びるなどの型式変化を生じつつも引き続き認められ (200 - 52)、当該階から格子状暗文が施されるようになる。

甕は前代に引き続き B・Cb・D 類が認められるが、Cb 類は口縁部内湾が不明瞭となって D 類との区別が難しくなり、量的にも減少する。B 類は引き続き盛行し、様相 2 以降途絶えていた肩部刺突文が再び認められるようになる (200 - 54)。

高坏は Ba-1 類に替わって坏部上半の拡張が顕著な Ba-2 類が主流を占めるようになり (201 - 50

～54)、坏部が屈曲するBb類も一定量認められる(同55)。ただし当地のBb類は出雲東部のBb類とは異なりBa類に形態が近似しかつ製作技法も同じであり、明確な区分は難しい。また、当該期にはBa-2類・Bb類の短脚化したタイプが出現し、以後定型化する(同54・55)。坏はBa類が残存する一方、口縁部が内湾するBc類が盛行するようになる。内外面はいずれも全面赤彩で内面に放射状暗文を施す。口縁部は先細りタイプ、面取りするもの、丸く収めるものの三者が認められるが、面取りする資料が主流を占めるのが当該期の特徴である。

当該期には幾つか須恵器と共存する事例が認められる。このうち三田谷I遺跡SI06の無蓋高坏(62)は四方スカシである点からTK208併行期(川辺1966)、出雲1期古段階(大谷2003)に位置づけられ、同SI17の坏身や山持遺跡IV区土器群71(63～65)も立ち上りの高さ等から当該期に属する可能性が高い。このように当該期はTK208～TK23古相前後、出雲1期古段階を中心とする時期と考えられる。

**様相6** 松山IV期新相に相当する段階である。ほぼ様相5の様相を踏襲しているが、低脚高坏や高坏Db類の本格的出現及び坏Bの粗製化によって特徴づけられる。

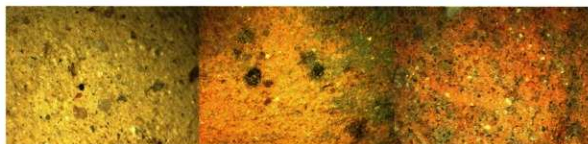
壺はC類のみが存在する。C類は新たに頸部がよくしまり体部が扁平化したCb-2類が出現、盛行し、その多くは格子状暗文が施されている。蓋は前代と同様にB・D類が認められるが、大きな変化はなく、B類の肩部には前代に引き続き刺突文を備える資料が認められる。高坏は先述のようにBa・Bb類と共に新たに有稜椀形高坏であるDb類と低脚高坏であるE類が一定組成を占めるようになる。B類はBa-2類及びBb類が主流を占め、ほぼ短脚化したタイプに統一される。三田谷I遺跡ではBa・Bb・Db類の脚部は法量・形態・調整がほぼ同一であり、規格化された脚部の上部に複数タイプの坏部を組み合わせることで多様なバリエーションを生み出しており、当該期における土師器製作体制の分業化・モジュール化の進展が読み取れる(201-74～76)。低脚高坏であるE類は前代の異形椀形高坏(201-56)から派生した型式と推測され、脚部は短く直線的に延びるタイプ(201-67)と途中で屈曲外反するタイプ(201-69)があり、共存須恵器から前者が後者に先行し、現状では大谷見二氏が指摘した出雲東部の様相と一致している(大谷2003)。前代に引き続き当該期の高坏は原則として赤彩・暗文により装飾される。

坏は口縁部が内湾するBc類にほぼ統一され、口縁部端部は面取りするものは減少し、単純に丸く収めるタイプが主流を占めるようになる。また、これに呼応して外面赤彩を口縁部のみに施し底部を省略するタイプが日立つようになり(201-79～82)、後出的な資料では口縁部が波打ち矮小化した資料(82)も出現する。

当該期の共存須恵器は、坏蓋の口径はまだ小さいが大井部が丸みを帯び、口縁部が屈折しないタイプ(201-84・85)で、坏身にはさらに後出的な資料(201-87)が含まれていることから、概ね出雲1期中段階から新段階を中心とし、一部大谷2期まで降る時期に相当すると考えられる。

#### D. 九景川遺跡出土土器群の編年の位置づけ

以上、冗長となったが、出雲平野における古墳時代中期土師器の様相を概観した。この変遷に当遺跡出土土器群を位置づけると、小谷式系の器種が一定量残存している点、高坏が定型化していない点、小形丸底壺と壺Caが盛行する点から、概ね様相2に収まるものと考えて大過ない。このように、当遺跡出土資料は、比較的夾雑物が少ないこと、豊富な出土量と器種構成から、出雲平野における人東式初期段階の様相をよく示す標識的資料として位置づけることができよう。



78-1 小谷式的胎土 (116-6)

78-2 大東A類胎土 (31-14)

78-3 大東B類胎土 (125-9)



78-4 椀形高環の胎土 (出雲国府跡)



78-5 椀形高環の胎土 (榑Ⅱ)



78-6 高環Bb類の接合痕(夫取)



78-7 出雲平野の高環脚内調整 (榑Ⅳ)

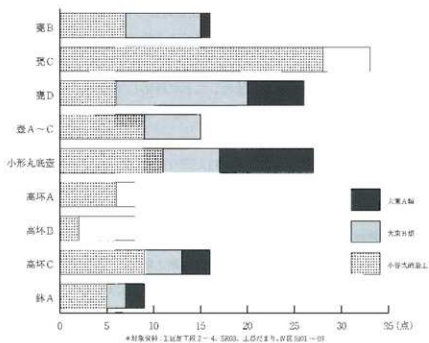


78-8 出雲平野の高環脚内調整  
(榑Ⅵ; 三田谷Ⅰ)



78-9 椀形高環の脚内調整  
(出雲国府跡)

写真 78 土師器の胎土及び調整技法細部 胎土写真の倍率：40倍



第 202 図 器種・型式別の胎土類型構成

## (2) 九景川遺跡出土土器の胎土・色調について

### A. 胎土の分類

当遺跡出土の古墳時代中期土師器について、胎土・色調の特徴から3つに類型化し、器種・形式との相関関係を検討する。なお、今回の分類はあくまでも主観的・暫定的な分類であり、今後岩石学的見地から多くの変更の余地があることをお断りしておく。

**小谷式的胎土類型 (写真 78-1)** 色調は灰白色系 (10YR8/1 前後) で1mm以下の石英・長石を比較的多く含む類型である。砂粒は先述のとおり石英・長石が主体だが、雲母を若干含む場合があり、場合によっては3mm前後の白色泥粒子を含んでいる例も散見される。また器壁が平滑で質感があり、ざらつきが比較的少ない。また断面に層状のラインが観察されるものが多い。

名称のとおり、当地においては弥生時代終末期から古墳時代前期に一般的に認められる胎土類型である。

**大東A類胎土 (写真 78-2)** 色調は典型的な橙色 (5YR7/6 前後) を呈するものが多いが、稀に灰白色のものもある。砂粒が非常に少なく、特に小谷式で顕著であった石英・長石が目立たないのが特徴であり、かわりに茶色・褐色系の鉱物が混入しているものが目立つ。とろとろとした質感で、表面のざらつきが顕著である。断面観察で層状ラインが明確に認められないものが多い。

出土量は多くないが、小谷式的胎土類型とは対照的な類型でよく目立つ。砂粒が非常に少ないことから、水箒など自然の粘土に何らかの加工が加えられたものと考えられる。

**大東B類 (写真 78-3)** 暫定的にB類と一括したが、幾つかの胎土類型を含んでいる。色調は橙系系だが、やや色が薄い浅黄橙色 (7.5YR8/6) が主流でA類のような典型的な橙色を呈するものは少ない。胎土は1mm前後の白色砂粒を比較的多く含む小谷式的胎土に近いが、小谷式では多量に含まれていた石英が少ないのが特徴である。A類と同様に茶色・褐色系の鉱物が含まれているものもある。表面はざらつき感があり、小谷式的胎土類型に比べて緻密度が低い印象を受けるものが多い。断面はA類ほどではないが小谷式的類型ほど層状ラインが確認できるものが少ない。

### B. 器種・形式との相関 (第202図)

各器種・形式ごとの胎土類型構成を第202図に示す。退化複合口縁甕である壺Bは小谷式類型と大東B類がほぼ半数ずつを占めている一方、布留系甕を含む甕Cの大半は小谷式的胎土類型で占められ、特に口縁端部が内面肥厚するタイプはすべて小谷式的胎土類型である。また、口縁が長く外反し厚手の甕Dは大東B類が中心であり、大東A類も一定量含んでいる。

供膳器種では、小形丸底甕は小谷式的胎土類型が一定量を占めるが大東A・B類がこれを上回り、特に大東A類が他の器種に比べて多く採用されている。高坏は小谷式系器種である高坏Aでは小谷式的胎土が主流であるのに対し、大東式を代表する形式である高坏Bは逆に大東B類が大半を占めている。高坏C・鉢Aは新出形式ではあるが小谷式的胎土類型が大東A・B類を上回る。

このように、概ね小谷式系器種・形式には在来の胎土が選択される一方、新出形式の大東式系器種・形式には新たな胎土類型の選択が志向されていることがわかる。ただ、多くの形式は主流となる胎土類型は認められつつもそれのみで構成されることはなく、他の胎土類型を一定量含んでいる。このことは、例えば小谷式系と大東式系で製作集団が異なるといった密な意味での作り分けは認め難く、胎土の選択において器種・形式の系譜が意識されつつも、それは緩やかな規範であり、漸

次的に前者から後者へ移行していったものと理解される。

なお、堯Ca類において小谷式的胎土が大勢を占める点も重要である。当形式は布留式系で当該期に急増することから畿内の色彩の濃厚な新たな文化的潮流を示すものとして捉えられがちであるが、胎土類型や回転ヨコナデを基調とした成形技法の観点からみれば小谷式的器種との親縁性が高い。むしろ、退化複合山緑堯の堯Bや堯D、高坏Bがそうした新たな時代の到来を告げる土器様式を構成する一環として評価されるべきであろう。

### C. 胎土分析結果とその評価

今回、上記の胎土類型について点数はわずかではあるが胎土の蛍光X線分析を実施した。その結果、小谷式的胎土の堯Ca類はFe量が少ないのに対し、大東A・B類についてはFe量が多く認められる結果が得られた(第8章第6節参照)。土器の色調が胎土中に含有されるFe量との間に相関関係があることは既に丹羽野裕氏・三辻利一氏によって指摘されている(丹羽野・三辻2000)。今回の分析結果は丹羽野氏らの仮説を追認するものであるが、氏が対象としたデータは、古墳時代中期の資料は出雲東部の中期でも後半期の資料が中心であった。これまで古墳時代中期の土器器が赤色化を指向することは、赤彩供膳器種の盛行する中期後半を念頭に置いて言及されることが多く、その背景に須恵器の出現との関わりを想定する場合が多かった。今回の分析結果を単純に出雲平野全域に普遍化することは厳に慎まねばならないが、出雲平野の一部地域においては、中期初頭段階において既に土器の赤色化を企図した意図的な胎土選択行為が行われつつあった可能性を示すものと言えよう。

このように、土器の色調・胎土が土器型式(形式)と密接に関連しているのは明白であり、それまでの白い色調を基調とした小谷式的土器様式から新たな赤い色調を指向する大東式的土器様式への変化は、単なる嗜好の変化としてとらえることが適切であるとは言えず、それまでの前期的世界を否定するような、当時の人々の土器に対する認識・世界観が大きく変わりつつあったことを示唆するものと思われる。このように土器の色調変化の問題は、当時の価値体系の変質の一端を示している可能性があり、認知的視点など今後多角的なアプローチが求められる課題であると考えられる。

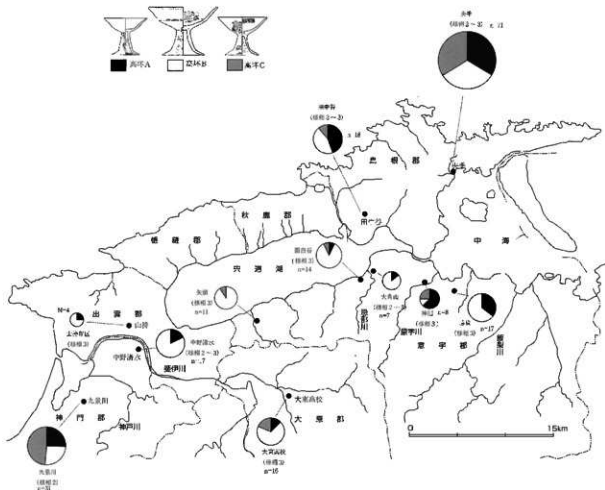
## (3) 出雲における古墳時代中期土器の地域色覚現過程とその評価

### A. 大東式段階(様相2・3)

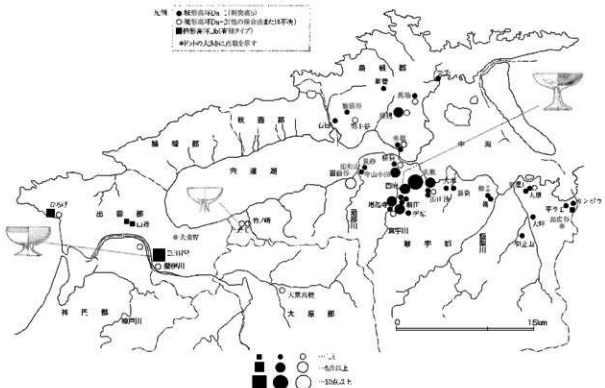
次に、出雲全体に視野を広げて当該期土器の地域性について若干の考察を加えてみたい。ここでは当該期に主要器種となる高坏を中心として検討を試みる。まず、大東式段階(様相2・3)であるが、総論的にはまず出雲全域で高坏A～Cが分布している状況を確認できる(第203図)。

地域性については宍道湖南岸部が注目される。この地域に属する大角山遺跡、面白谷遺跡、矢頭遺跡では高坏Bが大半を占め、高坏Aが稀薄な点が指摘できる。一方、意宇平野周辺の神出遺跡や出雲岡跡跡では高坏Aが主流を占め、東出雲町勝負遺跡でも神田遺跡ほどではないにせよ高坏Aが一定量を占めている。また、島根平島部は高坏A・Bがほぼ同程度の比率を占めている状況が確認できる。

出雲平野では東部の中野清水遺跡や山持遺跡IV区では高坏Bが卓越するものの、南西部に位置する当遺跡では前二者とは様相を異にし、高坏A・Bは一定量認められるものの高坏Cの卓越化が目立っており、出雲平野内での小地域差・遺跡ごとのばらつきが目立つ。



第203図 高坏の型式別組成比(様相2・3期)



第204図 椀形高坏(高坏D)の地域性(様相4~6期)

このように、当該期では宍道湖南岸地域での高坏Bの卓越化という様相は確認できるものの、後述する中期後半の様相と比較すれば、排他的な地域性という様相にはほど遠い状況にある。つまり、当時の出雲内においては各小地域・集団が高坏A～C各型式に関する情報を共有しつつも、個別の集団・小地域において主要形式の主体的な選択が行われていたものと想定され、法量の不統一や中実高坏の多さからみても、当該期の土師器生産の場における規格化・定型化は未だ未熟な段階であったと考えられる。

## B. 中期後半（様相4～6）の様相

こうした中期前半の様相に対し、出雲では様相3以降に特定器種について地域差が顕著に認められるようになる。そのあり方を最も端的に表すのが、椀形高坏D類の分布様態である。

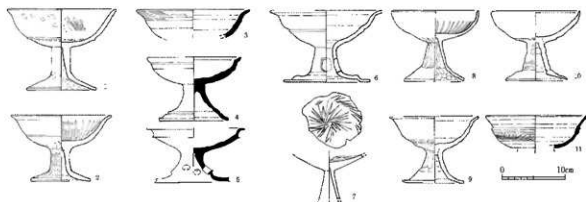
第20図に中期後半段階（様相4～6）の椀形高坏の分布状況を示した。出雲東部においては松山編年で示されたように、この段階より椀形高坏が高坏の主流形式を占めるようになり、坏Bとともに土器組成比の中で高い比率を占めるようになる。これら出雲東部における椀形高坏は、松山氏の接合法 $\gamma$ を採用し、脚内上部に回転軸固定用の刺突痕 $b$ を有するDa-1類がその大半を占めており、その分布は意宇川流域を中心とし、東は伯耆境まで、北は島根半島部に及んでおり、律令期の意宇郡・島根郡の領域とほぼ一致する。

ただし、細かく見れば同じ意宇郡域でも中心域と周辺域ではやや地域差が認められる。例えば、意宇郡西端に位置する上野Ⅱ遺跡・竹ノ崎遺跡では、椀形高坏でありながらその接合法に $\beta$ 技法ではなく、高坏Aと同様の接合法 $\alpha$ を採用している（島根県教育委員会2001）。このように領域内での細かな地域差はあるものの、椀形高坏が高坏の主体型式を構成している点や後述する高坏Bb類が盛行する点で、出雲東部内においては比較的高い齊一性を保っているものと評価できる。

一方、出雲平野においては当該期の高坏はBa類が主流で椀形高坏の比率は低い。さらに出雲東部で圧倒的の主流を占める接合法 $\gamma$ を採用するDa-1類は現状では全く確認できず、逆に出雲東部ではほとんど存在しない坏部に段ないしは稜を持つDb類が盛行し、その地域差は明白である。

こうした当該期における出雲東西の地域差は単に形態だけに限った話ではなく、製作技法においても顕著に認められる。写真78-9は出雲東部の椀形高坏Da-1の脚内内部である。当地域の椀形高坏の脚部は外面にヘラミガキを施し、脚内は上半部にシボリ目、下半部には型作りの際の指頭圧痕と思われる凹凸を残し（助島取市教育福祉振興会1996）、その境が稜をなさない。神田遺跡SD01資料などを概観する限りでは、当地で椀形高坏が出現する直前の高坏脚内調整は、上半に横方向のヘラケズリを施すことにより内面に稜を形成するのが通有である。この点から、椀形高坏脚内の調整技法は新形式の出現と共に新たに採用された技法であると評価できよう。

一方、出雲平野で盛行する椀形高坏Dbの製作技法は基本的には当該期に主流を占めるBa-2類と同じであり、特に脚部は先述のとおり同一パーツが使用されている。脚内の調整は上半部の横方向のヘラケズリにより下半部との稜が明瞭なもので（写真78-8）、基本的には前代の高坏の製作技法を踏襲している（写真78-7）。また坏部と脚部との接合法自体も、出雲東部では坏部に脚部を差し込んだ後、外面の接合部に粘土紐を巻き付けて固定する接合法 $\gamma$ を採用するが、出雲平野では接合部の粘土紐巻き付けが顕著でなく、脚部と坏部下半が一体的に製作され、別途製作された坏部上半の形態を変えることにより複数のバリエーションを生み出しているように、分割製作技法そのものに大きな違いが認められる。こうした製作技法による高坏Dbは類例は少ないものの、山持遺跡



第205図 高坏Bb・Db類関連資料

(1: 大塚中層, 2: 出雲国府跡7号溝, 3: 同11・12号土坑, 4: 大阪府大庭寺, 5: 大坂府同本山A3号墳, 6・7: 細骨1号, 8: 大阪府神山, 9: 神戸市部家, 10: 大阪府津並, 11: 門生黒谷1号墓)

(Ⅱ・Ⅳ区)やひろげ道跡で確認でき、律令期の神門郡全域と出雲郡の一部に及んでいる。

以上述べてきたように、当該期には出雲東西地域において高坏D類に代表されるような明瞭な地域色を指摘することが可能である。

### C. Ⅲ～Ⅳ期における地域色の評価

**各型式の系譜** 現在のところ、出雲東部における碗形高坏の最古の事例は意宇川流域の出雲国府跡2号土坑資料であり、夫敷遺跡河道中層資料がこれに次ぐ。両者とも陶質土器をはじめとする渡米系遺物と相伴しており、軟質土器等の煮炊具や煙突状土器の存在から、一定の渡米集団が定住していたことは間違いない(角田2003)。これら意宇川流域における初期の碗形高坏は、先述のとおりy技法(松山1991)により製作され、脚部内面には絞り目や型作りの際の指頭圧痕を残し稜を形成しないといった特徴を備えている。こうした特徴は畿内において通有タイプと言われている高坏の特徴とほぼ一致する(辻1999・第205図8)。このようにDa類の出現が当地における渡米人集団の定住と連動している点は重要である。

また、夫敷中層では高坏Bbがまとまって出土している(205-1)。Bb類は出雲東部では松山Ⅲ期以降、碗形高坏と並び主流を占める型式で、夫敷中層のBb類は脚部が長脚で細く、同類型の最古段階に位置づけられる。こうした松山Ⅳ期に主流となる高坏形式の最古タイプが碗形高坏とともに陶質土器や当地における最古段階の須恵器と相伴している事実は注目に値する。

先述のように、有稜高坏Baは坏部上半部の肥大化とこれに連動した坏部下半部の矮小化がその基本的な型式変化の方向であるが、Bb類はこうした通常の有稜高坏の型式変化上に位置づけられない。すなわち坏部下半部が高く、坏部上半部もあまり発達しないことから、従来のB類とは異なった系譜下に成立した類型として理解すべきである(205-2)。松江市細曾1号墳出土の土師器高坏形器台(205-6)は坏部上半部が丸みをおびて口縁部が外反する形状や脚部のスカシ、脚端形態からみて陶質土器の無蓋高坏(205-3～5)を模倣したものである可能性が高い。このように陶質土器模倣土師器がこの時期に存在する点から、高坏Bbの系譜を陶質土器や初期須恵器の無蓋高坏の模倣に求めることも一案としては考慮されよう。いずれにせよ、当該期に出雲東部に出現する高坏DaやBb類などの新形式高坏は、初期須恵器などと相伴し同時に出現する事実からみて、その波及を契機として畿内からの技術的影響下のもと成立したと考えるのが妥当であろう。



第206図 出雲平野における須恵器模倣土師器  
1:三田谷I S101, 2:向S19 S 1/6

色濃く残しているといった不明瞭な様相に端的に示されている。また有蓋高坏や坏身形を呈する須恵器模倣土師器（第206図）が出雲平野で目立つ点も、裏を返せば当地においては初期須恵器が十分に流通していなかった事情を反映しているものと言える。

また、当地の碗形高坏 Da が畿内通有タイプと呼ばれるものと酷似することは先述したが、同様に高坏 Db に類似する坏部に稜・段を持つ碗形高坏は畿内でも生駒内麓地域に多く認められるタイプと類似する（205-10）。また高坏 Bb に類似するタイプは畿内では摂津西部に集中し、吉備・北部九州と共通するタイプとされており（同9）、畿内における高坏の小地域差・系譜差を示すものと理解されている（辻1999）。

当地の高坏 Bb や Db 類がこうした畿内の高坏と直接的な系譜関係を持つものかどうかは、今後実物に即した慎重な検討が必要とされるが、当地の土師器高坏の型式差がこうした畿内における高坏諸型式の系譜差・小地域差と何らかの関連性を具備していた可能性もあながち否定することはできないであろう。このように、当散期における土師器高坏の地域性は、当地における須恵器生産技術導入時の契機と深い関わりを持ち、そうした新技術導入時における畿内政権内部での「人集団及びそれを管轄する首長層と当地域の在地首長層との交通関係の相違により形成されたものである蓋然性が高いと考える<sup>①</sup>。

**地域圏の評価** 以上述べてきたような古墳時代中期後半の土師器に認められる出雲東西の地域性については、他の考古資料からもその地域差を指摘できる事例が増えつつある。

最も典型的な事例としては、いわゆる前方後方墳体制（渡辺1997）と呼ばれるような、TK47期前後に再編された形で一斉に出現する前方後方墳の存在がある。当該期の前方後方墳は意宇郡・島根郡に分布し、出雲西部には及ばず、碗形高坏 Da の分布とほぼ一致する。

さらに同じ墓制の事例としては、小規模方墳の墳頂部の対角線上に埋葬施設を配置する斜交主体部の分布領域も先述の高坏 Da の分布圏とほぼ一致する（池淵2007）。また、類例は少ないものの、子竈底に円孔を有する子持竈が先の意宇郡・島根郡域内に分布していることも、その系譜下に6世紀後半に展開する出雲型子持竈の分布域を考慮すれば傍証事例の一つに加えてよいだろう。

こうした出雲東西の地域差については、前方後円墳や前方後方墳の分布状況、横穴式石室や横穴墓の型式差、また裝飾付大刀の系譜差など、主として6世紀後半以降の考古資料において精緻な議論が積み重ねられてきた。そしてこうした地域差は、端的に言えば出雲東部勢力と西部勢力、すなわち出雲臣と神門臣の勢力域の違いと解され、墳形や裝飾付大刀の相違は、両勢力が畿内政権を構

一方、出雲平野においては現在のところ初期須恵器・陶質土器の様相は不明瞭であり<sup>②</sup>、少なくとも意宇平野のように渡来人集団が何らかの形で定住していたような様相は現状の調査状況からは確認できない。こうした状況は、編年の際に述べたように、当地における松山Ⅲ期併行期土器群の様相が高坏 D や坏 B をはじめとした各型式が不定型で前代の様相を

(1) 出雲市矢野遺跡・上長浜貝塚から陶質土器が出土しているが後者は前期に遡る。

(2) 畿内における Db 類に類似する有段高坏の分布域が河内における物部氏の拠点である淡川郡に親近い地域である点も、古墳時代後期における出雲西部と物部氏との密接な関係を考える上でも興味深い（平石2004）。

成する有力氏族との交通関係の差を反映したものと理解されている（渡辺 1985・大谷 1997・松尾・平石編 2005）。

この、6世紀後半に明瞭なかたちで現れる出雲東西の政治的な地域圏は、先述した5世紀後半代の出雲東西の地域圏とはほぼ一致していることからみて、その始端が当該期に求められる可能性は極めて高い。さらにこうした地域圏が、須恵器や畿内系土師器生産など新技術の導入に見られるように渡来人や工人集団の移住などといった人民支配原理の再編成により形成・再編された節があることは、当該期の在地酋長層の権力基盤を考える上で示唆的である。また、こうした地域差が前方後方墳や子持塚といった墳墓祭祀に見られる在地酋長層間での政治的乃至は祭祀的共有レベルの現象に限定されるものでなく、土師器の製作技術情報の伝播または製品の流通という、日常交通レベルにおける領域的地域圏に反映される現象である点は、出雲という地域・領域の形成史を具体化していく上で注目すべき事実であると考えられる。

しかしながら、話を土師器生産に戻せば、出雲東部の土師器でも赤彩の度合いや胎土において東の伯太川・飯梨川流域と意宇川流域とはかなりの差が認められる。遺跡の立地や遺存状況の問題はあるが、飯梨川・伯太川流域においては赤彩された坏・高坏は稀で、当遺跡のように胎土自体を赤く発色させようと意図した資料が多い（写真78.5）。さらに精製土器の胎土には水競した粘土が十分に混ざらず灰白色の泥が大理石状の縞模様を形成している例が多く認められる<sup>③</sup>。また意宇郡でも西部の宍道町周辺では、先述のように高坏Aで主流であった接合法aにより碗形高坏が製作されている。こうした状況から当該期の土師器生産は少なくとも意宇平野で集中的に製作された製品が意宇郡内全域を流通していたとは想定し難く、各小地域において独自に在地生産されていたと考えられる。

このように、碗形高坏Da類の分布域をもって出雲東部を一把一絡げに扱うことに問題があるのは当然である。今後当該期における出雲東西の重層的な地域性に関する評価を深化させていくためには、他の器種についての詳細な検討を踏まえたうえ、製作技術情報の伝播や共有のあり方から具体的な土師器生産体制の復元を行っていく必要性を痛感する。

#### （4）九景川遺跡 SR03 出土土器群の性格

##### A. SR03 出土土器群の器種構成

第207図左にSR03出土土器群の器種構成を示す。個体に算定にあたっては口縁部をカウント対象とし、口径残存率1/2以上を1個、1/4～1/2を0.5個、1/6～1/4を0.25個としてカウントし、残りは対象外としている。サンプル量は必ずしも多いとは言えないが、おおよその傾向は示しているものと考えられる。これをみると、甕が33%と比較的低いのに対し、小形丸底壺が30%、高坏が15%とかなり高い比率を占めている様相が看取される。

比較対象資料として同図右にIV区SI01～03出土土器群について、同様な算出方法によって求めた器種構成比を示した。高坏の組成比はSR03とほぼ同等であるものの、甕が半分以上の組成比を占め、逆に小形丸底壺の比率が15%弱と、SR03の半分程度しかない点が大きく異なっている。

第208図は出雲における古墳時代中期集落の代表的な遺跡について、出土土器群の器種構成比を示した。こうした特徴の胎土を有する事例としては、菅見の限りでは柳遺跡、柳II遺跡、岩間口南遺跡、東山宮町跡負遺跡などで確認できる。こうした大理石状の胎土は粘土の割合調整時の作業が不十分であったことを示すものに加え、意宇川流域との技術格差として把握できる可能性も考慮されよう。

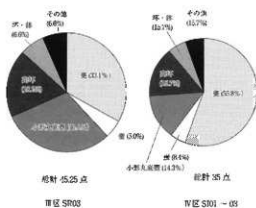
算出したものである。この比率は報告書に掲載されている数をカウントして算出したもので、資料抽出のバイアスや残存率の問題はあるが、図左側に示した大角山遺跡や中野清水遺跡、勝負遺跡など大東式期（様相2・3期）の竪穴住居から出土した土器群については、小形丸底壺や高杯の比率にややばらつきが認められるものの、基本的には九景川SI01～03土器群と同様な傾向を示している。神田遺跡SD01は壺が少なく、高杯の比率が高いが、これは河道資料であり九景川SR03の器種構成と共通する点は注意される。

第208図右側には中期中葉～後葉に属する大敷遺跡中層資料と三田谷I遺跡竪穴住居群資料の器種構成を示した。前者は河道資料、後者は竪穴住居出土資料という違いはあるが、壺の比率がやや減少し、替わって高杯と杯の比率が非常に高くなっている点は共通する。今後正確なサンプリングデータにより検討する必要があるものの、松山Ⅲ期以降に高杯・杯の比率が高まることは認めてもよい。

以上の検討から、SR03出土土器群は小形丸底壺の構成比が非常に高い点で、当該期一般住居出土土器群とは様相を異にする点を指摘できる。なお、SR03においてもF4・G4グリッド付近は壺が多く通常の土器廃棄の様相に近いのに対し、G5グリッド付近の土器群は壺はわずかで大半は壺・高杯類によって構成され、さらにSK15付近の河道内落ち込みからは小形丸底壺が集中的に出土している。またこれらの土器群のうち高杯の一部については二次焼成を受けた痕跡が認められる。こうした点から、SR03出土土器群のうち、上流部のG5グリッド付近の一括土器群については、日常的な使用に用いた什器類の廃棄行為とは異なり、水辺の祭祀行為に関わるものと理解するのが適切であろう。

### B. SR03における水辺の祭祀の性格

SR03で行われた、その具体的な祭祀内容について明らかにすることは困難であるが、当事例は自然河道内で祭祀行為が行われる点からみて水辺の祭祀に関わるものと考えて問題なく、さらに河道中の非泉状の



第207図 SR03・SI01～03の器種構成



大角山SI01～05 (松山Ⅱ・43点) 中野清水5・6区 (松山Ⅱ・Ⅲ・66点) 勝負(1992報告) (松山Ⅱ・22点) 神田Ⅱ又SD01 (松山Ⅱ・23点) 大敷中層 (松山Ⅲ・150点) 三田谷I竪穴住居群 (松山Ⅳ・170点)



第208図 出雲における古墳時代中期中葉落出出土土器の器種構成

落ち込みに対して土器供献行為が行われている点から広義の非泉祭祀（穂積 2004）として位置づけることができる。

**県内における古墳時代中期の水辺の祭祀** 県内において古墳時代中期に属する水辺の祭祀と思われる事例は、河道内における通常の廃棄行為との区別の問題はあるものの、比較的多くの事例が認められ、これらは対象となる遺構の性格や出土遺物から幾つかのタイプに分類される。

一つは、井原遺跡 SE01 や山持遺跡 IV 区 SK24 例のような、明らかに人為的に掘り込んだ非戸状の土坑の使用・廃棄に関わる、いわゆる井戸祭祀的なタイプである。基本的には弥生時代以来の伝統を引き継いでいるものと考えられるが、当該期には坏がその主体的な構成器種となっている。

もう一つは自然の泉や河道もしくはそれに護岸や杭列などの若干の人為的な加工を施した遺構に対して祭祀行為を行う類型である。この類型は通常の廃棄行為との区別が難しいが、当該期に急増する祭祀形態であると言え、特に古墳時代中期後半の事例が目立つ。これらは祭祀の規模や出土品の性格によりさらに幾つかの類型に分けられる。典型的な事例としては松江市前田遺跡 II 区河道 C 貼石状遺構（八雲村教育委員会 2001）や同市石田遺跡 B ゾーン（松江市教育委員会ほか 2004）、大田市大家八反田遺跡等があげられる。前田遺跡と石田遺跡は前者が川の護岸、後者が谷頭の井泉における祭祀という違いはあるにせよ、比較的近い時期において丹塗りの高坏・坏を主体とした器種構成や大形の琴を祭祀に用いている点などよく似ている。

また、三田谷 I 遺跡（鳥根県教育委員会 2000）や夫敷遺跡 VI 区中層（鳥根県教育委員会 1989）についても、高坏を主体とする完形品の丹塗土器が河道内から多量に出土している点や、なかには高坏であるにもかかわらず被熱を受けている事例も認められることから、日常的な投棄行為ではなく水辺における何らかの祭祀行為としてとらえるべきであろう（鳥谷 2000）。その一方で、東出雲町原の前遺跡例のように、自然の泉に対する土器供献行為であるが、小規模で器種構成も堅穴住居出土土器群と大きな差が見い出せない例も存在する（鳥根県教育委員会 1997）。

このように一口で水辺の祭祀といっても、その対象となる遺構や、規模、祭祀具によって様々な形態があり、それぞれにおいて祭祀執行の主体者や祭祀内容に違いがあったことは想像に難くない。特に、前田遺跡例は時期は古墳時代後期以降のもの、河道中から頭椎大刀の刀装具が出土している。頭椎大刀の刀装具は一般的な集落から出土する事例はほとんど無いことから、当遺跡で行われた祭祀は単なる村落レベルの祭祀ではなく、その執行にはより上位の在地・村落首長層が関与した可能性を想定すべきであろう。さらには人形の琴の出土から、畿内の定型化した祭祀形態の影響をそこに見出すことも、また可能であろう。このように水辺の祭祀行為についてはその祭祀内容と共に祭祀主体の階層差・重層性に留意する必要がある。

当遺跡の SR03 の解釈に引き戻せば、祭祀の規模や土器の器種構成、またはその他の出土遺物を検討すると、ミニチュア土器の出土量は少なく、滑石製品など祭祀専用の道具立ても認められないことから、前田遺跡例のような在地・村落首長が関与するような祭祀行為ではなく、SI01～03 を営んだ小規模な単位集団により執り行われた農業用水に関わる祭祀（置田 1991）であると理解するのが現状では最も適切であると考えられる。

### 第3節 古代の建物群について

#### A. 建物群の概要と変遷

当遺跡で検出した奈良時代～平安時代初期にかけての建物群の年代やその変遷については第1節で述べたとおりであるが、ここではその性格に言及するため再度建物群の変遷や配置について概説したのち、建物群の性格に言及したい。

**建物の概要** 当遺跡の古代に属する建物の種類別棟数は倉庫4棟、平地式建物6棟を数える。平面形式は倉庫の場合は全容が判明するものは2×2間で、側柱建物は3×2間が3棟、4×2間が2棟を数える。床面積は、倉庫は7.0～10.5㎡と規模がかなり小さいのが特徴である。平地式建物は14.9～75.4㎡とばらつきが著しいが、規模的には床面積30㎡前後のものが多い。

柱間隔は倉庫と平地式建物で大きく異なり、SB03・04は4尺あるいは5尺と非常に小さい。やや時期が降ると思われるⅢ区のSB10は妻側5尺、平側6尺を採用している。一方平地式建物はSB02とSB06が7尺を採用しており、SB12は5尺、SB07は7・8尺、大形建物であるSB08は桁行は9尺を採用しており、各建物間でばらつきが大きい。

梁間長と桁行長の比をとると、倉庫は0.86～0.96とほぼ正方形に近い。平地式建物は0.36～0.73とかなりばらつきがある。平地式建物の梁間は不明確なSB05を除くといずれも梁間2間の建物であることから、平地式建物の規模の違いは基本的には桁行の長さを調整することによって建物規模を変更していることがわかる。柱穴掘り形は円形もしくは不整形な円形を呈し、官衙的な方形タイプものは存在しない。

Ⅲ区は谷間に位置することもあり、幾つかの建物で柱根が確認できた。その結果、総柱建物であるSB10やSB13の使用材は確認できた部材はいずれもクリ材であったのに対し、側柱建物はクリは用いられずサクラ属、ノグルミ、ケヤキ、クスノキ、ヒノキが混在した状況で用いられていた。どこまで普遍化できるかわからないが、建物の種別ごとに使用材が選択される傾向がある点は注目に値する。

**建物群のグループ構造** 建物群の群構造については第1節で述べたとおりだが、再度要約すると、Ⅰ区のSB02～04は建物主軸を南西～北東方向にほぼ同じくすることから同一併存の可能性が高

表10 九景川遺跡古代建物一覧

グループ名	種別	遺構名称	平面形式 (間)	桁行 (m)	梁間 (m)	柱間隔 (平側)	柱間隔 (妻側)	面積 (㎡)	梁桁比 (梁/桁)	建物主軸	備考
Ⅰ区建物群	側柱建物	SB02	3×2	6.7	4.5	2.1 m	2.1 m	28.8	0.64	N-60°-E	
	倉庫	SB03	2×2	2.7	2.6	1.2 m	1.2 m	7.0	0.96	N-34°-E	4棟2本
	倉庫	SB04	2×2	2.8	2.6	1.2～1.5 m	1.2 m～1.3 m	7.3	0.93	N-34°-E	
Ⅲ区北東建物群	側柱建物	SB05	3×?	-	3.0	不均等	不均等	-	-	K-80°-E	
	側柱建物	SB06	4×2	8.2	4.5	2.1 m	2.1 m	36.9	0.55	N-50°-E	
	側柱建物	SB07	3×2	6.7	4.3	2.1～2.4 m	2.4 m	28.8	0.61	N-30°-E	
	側柱建物	SB08	4×2	14.5	5.2	2.7 m	(2.1 m)	75.4	0.36	N-30°-E	梁間3間以上の可能性あり
Ⅳ区北内建物群	倉庫	SB10	2×2	3.5	3.0	1.8 m	1.5 m	10.5	0.86	S 4°-E	
	側柱建物	SB12	3×2	4.5	3.3	1.5 m	1.6～1.7 m	14.9	0.73	E 2°-E	
	倉庫	SB13	(2×2)	-	2.9	-	1.5 m	-	-	N 3° E	桁行規模不明

く、これをⅠ区建物群とする。時期はSB04に隣接するSD07 造成土上面の土器から青木Ⅱ期に求められる。同様にSB10・12・13は建物主軸がほぼ南北を描っている点から同一時期の所産と考えられ、これをⅢ区北西建物群とする。年代を特定する資料に乏しいが、SB12柱穴内出土遺物から青木Ⅲ期前後と考えられる。SB05～08は概ね建物主軸が東西方向を指向し、柱穴から出土した遺物は青木Ⅳ期にほぼ収まることから、重複するものの同一建物群として扱う。これをⅢ区北東建物群とする。

このように、当遺跡の古代建物群は大雑把に言えば西から東へ順次推移していったものと考えられ、8世紀中葉～後葉段階では倉庫2棟と側柱建物1棟のセットの建物群が9世紀前葉に至り、桁行14mを越える大形建物を含む側柱建物のみで構成されるようになる。ただし、先述したようにⅢ区北東部には多数の柱穴があること、SR04に廃棄された建物群の多くは青木Ⅱ～Ⅲ期であることから、西の倉庫2棟・平地式建物1棟のセットとは別にⅢ区北東部には青木Ⅱ～Ⅲ期に属する建物が存在した蓋然性が高い。また、Ⅲ区北東部建物群は調査区外に広がることは確実なので、前代の状況を考慮すれば、青木Ⅳ期段階においても調査区外に倉庫が存在していた可能性は否定できない。

**建物の方位** 建物方位は先述のように各グループごとにまとまっている。すなわち、Ⅰ区建物群は倉庫SB03・04が方位座標軸に対して約36°の角度で斜交し、平地式建物SB02もこれとはややずれるが24°の角度で斜交する。一方Ⅲ区北西建物群は建物主軸がほぼ南北を指向しており、方位座



第209図 山陰道と九景川遺跡古代建物群との関係 (S=1/5,000)

標軸に対して2~4°とかなり正確に正方位を指向している。最も後出するⅢ区北東建物群はいずれも建物主軸が東西方向を指向しており、座標方位を指向する点はⅢ区北西建物群と同様であるが、座標方位に対する対する角度は1~5°と前者に比してややズレが大きい。建物が重複することからも年代差を示しているのであろう。

ここで注目されるのは、青木Ⅱ期（8世紀中葉）に属するⅠ区建物群の方位座標軸とのズレが36°前後に収斂し、年代確定に問題を残すものの青木Ⅲ期（8世紀後葉）に属する可能性が高いと思われるⅢ区北西建物群が方位座標軸とはほぼ一致している点である。

松尾充晶氏は古志本郷遺跡の報告の中で、神門郡家と推定される当遺跡の大形建物群が2時期に分かれ、8世紀前半に属するⅠ期遺構群が方位座標に対し33°前後斜交するのに対し、8世紀後葉に建て替えられたⅡ期遺構群がほぼ方位座標軸に一致する点を指摘し、Ⅰ期建物群は当時の山陰道の地割に制約された遺構配置であると指摘した。そしてその傍証として、九景川遺跡の約500m東に位置する浅柄遺跡の7~8世紀の建物群がやはり方位座標に33°前後斜交し、北に位置する山陰道の地割りに一致することも併せて指摘している（松尾2003）。

当遺跡の場合、Ⅰ区建物群は谷部に位置するため地形に制約されていた可能性も残るが、遺跡の約300m北には古代山陰道の名残と想定される県道多伎江南出雲線（旧石州街道）が位置し、やはり方位座標軸に対し36°斜交し、Ⅰ区建物群の主軸とはほぼ平行している（第209図）。さらにⅠ区建物群の方位からⅢ区北西建物群へ移行する時期が、確証はないものの古志本郷遺跡で想定された年代と一致する可能性が高い。こうした点や隣接する浅柄遺跡の様相を鑑みると、Ⅰ区建物群からⅢ区建物群への変化は、山陰道的地割から方位座標軸と一致させる地割へと移行する、神門郡家で認められる変化と連動していた可能性が高いと想定されよう。

## B. 建物群の性格

以上、今回検出した古代建物群の特徴について述べてきたが、最後に遺物・遺構の両側面から当建物群の性格について若干の言及を試みておく。

### ①遺物の様相

当遺跡から出土した古代に属する遺物は、主として各調査区の包含層及び柱穴・溝などから出土したが、最もまとまって出土したのは自然河道SR04である。この河道は集落の南限を画していた河道で、青木Ⅲ~Ⅳ期に埋め立てられているがその整地上中よりまとまって遺物が出土している。遺物の大半は須恵器・土師器で、須恵器も鉄鉢形土器が数点、内面に漆灰が付着する坏が1点認められるもの（135-6）、円面硯や木簡など官衙遺跡に特有の遺物は認められない。

文字資料についても確実なものは2点の墨書土器（108-6・134-25）が確認できるのみで、それぞれ「中」「伎」と判読できる。これだけで当遺跡の性格を読み取ることは到底不可能であるが、後者の「伎」については、隣接する多伎郷との関連を想起させ、当遺跡が山陰道に隣接する点からも興味深い。なお、「伎」墨書土器は中野清水遺跡からも出土している（島根県教育委員会2004）。

このように、出土遺物の様相からは、当建物群が郷家など末端官衙的な公的行政機関である可能性は極めて低く、その基本的性格は一般的集落にあったと理解するのが妥当である。

### ②各建物群の性格

建物群については、倉庫2棟と平地式建物1棟により構成されるⅠ区建物群及びⅢ区北西建物群と、大小格差のある平地式建物より構成されるⅢ区北東建物群とにわけて検討する。

**I区建物群・Ⅲ区北西建物群** まず前者についてであるが、これらは小規模ながらも2棟の倉庫を備えている点が最も大きな特徴である。倉庫群は床面積が7～10.5㎡であり、神門郡家である古志本郷遺跡の倉庫群（島根県教育委員会 2003）がいずれも30㎡以上であるのと比較すればその差は歴然としている。また、神門郡家の山先または下位機関と想定されている三田谷I遺跡（島根県教育委員会 2000）の倉庫群が12㎡前後に集中しているのと比較すれば、さらにその下位ランクとしての位置づけが可能であろう。

しかし、出雲の古代集落を類型化した岩橋孝典氏によれば、出雲部における古代の一般集落では倉庫である総柱建物を伴わない事例が一般的であり、総柱建物は通常官衙付属の正倉施設か、豪族・官人の館に付設されている倉庫の可能性が高いという。氏の分類によれば、I区建物群・Ⅲ区北西建物群は倉庫を複数伴い、側柱建物が1棟のみであることからI型①C類に分類される（岩橋 2005）。ただし先述のように併行期にⅢ区北東部に建物が併存していた可能性が高いことから、本来はさらに上位の類型に位置づけられる可能性が高い。ちなみに出雲で倉庫が複数存在するI型①類の集落としては、安来市五反田遺跡、東出雲町渋山池遺跡、松江市山代郷正倉跡、松江市芝原遺跡、出雲市青木遺跡と先述の三田谷I遺跡、古志本郷遺跡があるにすぎない。五反田遺跡と渋山池遺跡を除けばすべて官衙関連遺跡に限定される。

このように、I区建物群及びⅢ区北西建物群は小規模ながらも倉庫を複数備えている点から、末端官衙関連遺跡に次ぐ集落であり、一般集落の中でもランクが上位の集落であった可能性が高い。先に述べたように、当遺跡の建物主軸の変遷が古志本郷遺跡と連動している可能性が高い点もこうした事情を反映しているものと想定される。

**Ⅲ区北東建物群** 9世紀前葉に属するⅢ区北東建物群は現状では側柱建物のみによって構成され、先の岩橋氏の分類によればⅡ型Aa型となる。ただし、先述のように当該期に集落が調査区外へ延びることは確実なので、倉庫を伴うI型でなかったとはい切れない。

当建物群はいずれも床面積が25㎡以上の比較的大型の側柱建物によって構成されるが、中でもSB08の規模は突出している。当建物は梁間2間、桁行4間として復元したが、北側は調査区外へ延びており、梁間3間以上の可能性も考慮される。2×4間で復元した場合でも床面積は75.4㎡を測る。7～8世紀の出雲の古代集落で確実に当建物より規模の大きい側柱建物は下黒川遺跡SB01や山代郷正倉跡SB11など数例があるにすぎない。両者とも意宇郡中樞の官衙施設である。SB08は、規模の上からは官衙関連遺跡である三田谷I遺跡や島根郡家推定地である芝原遺跡よりもランクが上ということになる。

しかし、先に述べた遺物の様相や柱穴形態を考慮すれば、当遺跡を官衙関連遺跡とみなすことは困難である。当建物群の具体的な性格づけは困難ではあるが、あえて消去法で考えると8世紀以降の墾田開発により成長した有力農民層の居住地であった可能性が最も高いように思われる。

### C. 小結

以上、極めて不十分ではあるが、当遺跡で検出された古代建物群について若干の検討を試み、Ⅲ区北東部建物群については8世紀後葉以降の開発等により成長した有力農民の居住した集落であった可能性を想定してみた。

蛇足ではあるが、当地で古代集落の調査を行った場合に、文字資料や特殊な遺物が少しでも出土すれば、それを即「官衙」的な性格の遺跡として安易に位置づけてしまう風潮がある気がするの、

単なる思い込みに通じないであろうか。わずかな特殊な様相から「官衙」的な臭いを嗅ぎ取るのではなく、むしろ一般集落が何らかの形で「公的」な要素を積極的に摂取している状況が、こうしたボーダレスな様相を生み出していると理解することはできないであろうか。いずれにせよ、現在の出雲平野の古代集落は「官衙関連遺跡」が非常に多く、通常の一般集落の方が逆に少ないような状況である。一般集落と末端官衙の見極めの問題や一般的な集落から少数出土する文字資料などをどのように理解すべきか、改めて整理する必要性を感じる。

## 引用・参考文献

### 論文等

- 池淵俊一 2007 「出雲における方形区画墓の埋葬論理と集出関係」『四隅突出型墳墓と弥生墓制の研究』鳥根原古代文化センター
- 岩橋孝典 2005 「出雲地域における飛鳥・奈良時代集落について—輪郭部朝野の村落景観復元模型作成のための一考察」『古代文化研究』第13号 鳥根原古代文化センター
- 大谷晃二 1997 「『出雲国』の支配者たち 出雲の後期古墳文化—」『古代出雲文化展 図録』朝日新聞社・鳥根原教育委員会
- 大谷晃二 2003 「古墳群とその時期」『宮山古墳群の研究』鳥根原古代文化センター
- 栗田雅昭 1991 「川の神まつり」『古墳時代の研究3 生活と祭祀』雄山閣
- 角田徳幸 2003 「まとめ」『史跡出雲国府跡1』鳥根原教育委員会
- 角田徳幸 2006 「総括」『中野治水遺跡(3)・白枝本郷遺跡』鳥根原教育委員会
- 近藤義郎 1983 「前方後円墳の時代」岩波書店
- 出辺昭三郎 1966 「陶器古塚址群1」平安学阿考古学クラブ
- 辻 美紀 1999 「古墳時代中・後期土師器に関する一考察」『国家形成期の考古学』大阪大学考古学研究室
- 都川比呂志 1970 「農業共同体と酋長権」『講座日本史1 古代国家』東京大学出版会
- 寺沢 薫 1986 「畿内古式土師器の編年と二・三の問題」『矢部遺跡』奈良県立歴史考古学研究所
- 鳥谷芳雄 2000 「まとめ」『三田谷1遺跡 Vol.3』鳥根原教育委員会
- 中川 享 2003 「出雲地域における縄文・弥生移行期の遺跡の特徴について」『立命館大学考古学論集Ⅲ』立命館大学考古学論集刊行会
- 丹羽野裕、三辻利一 2000 「土器の色調と胎土分析—山陰地方における弥生土器・土師器の胎土分析とその解釈—」『古代文化研究』第8号 鳥根原古代文化センター
- 濱田竜彦 2001 「沖文遺跡出土の突帯文土器と石見東部の地域性」『沖文遺跡』邑智町教育委員会
- 平石 充 2004 「出雲西部地域の権力構造と物部氏」『古代文化研究』第12号 鳥根原古代文化センター
- 房宗寿雄 1982 「結語」『増補寺古墳群発掘調査報告書』八雲村教育委員会
- 穂積裕昌 2004 「水にかかわる祭祀—井泉と導水施設—」『考古資料大観10 弥生・古墳時代 遺跡・遺構』小学館
- 牧本智雄 1999 「古墳時代の土器について」『美濃高浜遺跡Ⅱ 図録6 遺跡(財)鳥取県教育文化財団』
- 松井 享 1999 「家畜その2—ウマ・ウシ—」松井 享、西本尊弘編 『考古学と動物学』同成社
- 松尾光品 2003 「神門郡家と出土遺物の評価」『山志本郷遺跡Ⅴ』鳥根原教育委員会
- 松尾光品、平石 充編 2005 「装飾付大刀と後期古墳—出雲・上野・東海地域の比較研究—」鳥根原古代文化センター
- 松山智弘 1991 「出雲における古墳時代前半期の土器の様相—大東式の再検討—」『鳥根考古学会誌』第8集
- 松山智弘 2000 「小谷式再検討—出雲平野における新資料から—」『鳥根考古学会誌』第17集
- 渡辺貞幸 1997 「出雲の古墳、出雲の前方後墳」『古代出雲文化展 図録』朝日新聞社・鳥根原教育委員会
- 渡辺貞幸 1985 「松江市山代古墳の諸問題」『山陰地域研究』1 鳥根原山陰地域研究総合センター

### 報告書

- 出雲考古学研究会 1979 「天神遺跡の諸問題 古代の出雲を考える1」
- 出雲市教育委員会 2000 『浅沼遺跡』
- 出雲市教育委員会 2002 『井原遺跡発掘調査報告書』
- 出雲市教育委員会 2002 『小山遺跡第3地点発掘調査報告書』
- 出雲市教育委員会 2002 『中野西遺跡』

- 出雲布教委員会 2002 『天神道跡 (第 10 次発掘調査)』
- 出雲市教育委員会 2003 『三谷道跡・斎庭道跡・長廻道跡・大井谷Ⅱ遺跡・瀬谷山城跡』
- 出雲市教育委員会 2004 『角田遺跡第 3 次発掘調査報告書』
- 鳥根県教育委員会 1976 『国道 9 号線バイパス建設予定地内埋蔵文化財発掘調査報告書Ⅰ』
- 鳥根県教育委員会 1983 『国道 9 号線バイパス建設予定地内埋蔵文化財発掘調査報告書Ⅳ』
- 鳥根県教育委員会 1989 『大敷道跡』
- 鳥根県教育委員会 1987 『北松江幹線新設Ⅰ工事・松江連絡線新設Ⅱ工事予定地内埋蔵文化財発掘調査報告書Ⅰ』
- 鳥根県教育委員会 1988 『大角山道跡発掘調査報告書』
- 鳥根県教育委員会 1989 『国道 9 号線バイパス建設予定地内埋蔵文化財発掘調査報告書Ⅵ (大敷道跡)』
- 鳥根県教育委員会 1992 『国道 9 号線バイパス建設予定地内埋蔵文化財発掘調査報告書Ⅸ (勝負道跡)』
- 鳥根県教育委員会 1993 『八色谷古墳群』
- 鳥根県教育委員会 1993 『一般国道 9 号 (安来道跡) 建設予定地内埋蔵文化財発掘調査報告書Ⅳ (越峠道跡・宮内道跡)』
- 鳥根県教育委員会 1994 『石田道跡・カンボウ道跡・同吉道跡』
- 鳥根県教育委員会 1994 『白コクリ道跡・人原道跡』
- 鳥根県教育委員会 1996 『四ツ廻Ⅱ道跡・林廻り道跡・受馬道跡』
- 鳥根県教育委員会 1996 『岩屋門南道跡』
- 鳥根県教育委員会 1996 『柳Ⅱ遺跡・小久白墳群・神庭谷道跡』
- 鳥根県教育委員会 1997 『洗山池道跡・原ノ前道跡』
- 鳥根県教育委員会 1997 『樗富Ⅰ道跡・屋形Ⅰ号墳』
- 鳥根県教育委員会 1998 『勝負遺跡・堂床古墳』
- 鳥根県教育委員会 1998 『櫻津丘陵道跡群』
- 鳥根県教育委員会 1998 『門生黒谷Ⅰ遺跡・門生黒谷Ⅱ遺跡・門生黒谷Ⅲ遺跡』
- 鳥根県教育委員会 1998 『洗山池古墳群』
- 鳥根県教育委員会 1999 『蔵小路西道跡』
- 鳥根県教育委員会 1999 『三田谷Ⅰ遺跡 Vol.1』
- 鳥根県教育委員会 2000 『三田谷Ⅰ遺跡 Vol.2』
- 鳥根県教育委員会 2000 『三田谷Ⅰ遺跡 Vol.3』
- 鳥根県教育委員会 2001 『上野道跡・竹ノ崎道跡』
- 鳥根県教育委員会 2001 『茂芳日遺跡・布志名道跡・大堤Ⅱ遺跡・大堤Ⅰ遺跡・根ノ木古墳群・真野谷道跡・杉谷道跡・堂山道跡』
- 鳥根県教育委員会 2001 『上野Ⅱ遺跡』
- 鳥根県教育委員会 2001 『堂床道跡』
- 鳥根県教育委員会 2002 『田中谷遺跡・塚山古墳・下がり松道跡・角谷道跡』
- 鳥根県教育委員会 2002 『馬場遺跡・杉ヶ挽道跡・堂山墳群・池行遺跡』
- 鳥根県教育委員会 2002 『下山道跡 (2)』
- 鳥根県教育委員会 2003 『古志本那遺跡Ⅴ』
- 鳥根県教育委員会 2003 『古志本那遺跡Ⅵ』
- 鳥根県教育委員会 2003 『史跡出雲国府跡-1』
- 鳥根県教育委員会 2004 『大津町北遺跡・中野清水遺跡』
- 鳥根県教育委員会 2004 『互反配道跡』
- 鳥根県教育委員会 2005 『中野清水道跡 (2)』
- 鳥根県教育委員会 2006 『県道浜乃木湯町線 (湯町工区) 建設に伴う埋蔵文化財発掘調査報告書』
- 鳥根県教育委員会 2006 『中野清水道跡 (3)・自校本那遺跡』
- 鳥根県教育委員会 2007 『山持遺跡 vol.3 (Ⅳ区)』
- 鳥根大学考古学研究室 2002 『松江市下町古墳発掘調査報告・藤原山古墳出土遺物について』
- 宍道町教育委員会 1985 『清水谷道跡・矢頭遺跡発掘調査報告書』
- 大社町教育委員会 1997 『ひろげ道跡』
- 大社町教育委員会 2004 『出雲大社境内遺跡』
- 大東町教育委員会 1988 『角田遺跡・又下道跡』
- 就烏取市教育福祉振興会 1996 『秋草道跡』
- 伯太町教育委員会 1992 『伯太町安田地区内試掘調査報告書』

- 東出雲町教育委員会 1994 『四ツ道遺跡』  
 斐川町教育委員会 1997 『大倉IV遺跡・穂田原I遺跡』  
 松江市教育委員会 1983 『松江岡部市計画事業乃木土地区画整理事業区域内埋蔵文化財包蔵地発掘調査報告書』  
 松江市教育委員会 1985 『史跡石屋古墳』  
 松江市教育委員会 1986 『堤廻遺跡』  
 松江市教育委員会 1987 『結曾1号墳』  
 松江市教育委員会・(財)松江市教育文化振興事業団 1994 『向道跡発掘調査報告書』  
 松江市教育委員会・(財)松江市教育文化振興事業団 1995 『飯所谷古墳群発掘調査報告書2』  
 松江市教育委員会・(財)松江市教育文化振興事業団 1996 『寺山小田遺跡発掘調査報告書』  
 松江市教育委員会・(財)松江市教育文化振興事業団 1999 『西尾地区農林漁業搾取税財源身替農道整備事業に伴う埋蔵文化財発掘調査報告書』  
 松江市教育委員会・(財)松江市教育文化振興事業団 2000 『北小原古墳群発掘調査報告書』  
 松江市教育委員会・(財)松江市教育文化振興事業団 2000 『大手遺跡発掘調査報告書』  
 松江市教育委員会・(財)松江市教育文化振興事業団 2004 『石田遺跡発掘調査報告書』  
 松江市教育委員会・(財)松江市教育文化振興事業団 2005 『日和山遺跡群発掘調査報告書』  
 松江市教育委員会・(財)松江市教育文化振興事業団 2006 『二反田遺跡発掘調査報告書』  
 八雲村教育委員会 1981 『増福寺古墳発掘調査報告書 昭和55年度』  
 八雲村教育委員会 1982 『増福寺古墳発掘調査報告書 昭和56年度』  
 八雲村教育委員会 1994 『折原上堀東遺跡発掘調査報告書』  
 八雲村教育委員会 2001 『前田遺跡(第Ⅱ調査区)』  
 八雲村教育委員会 2002 『谷ノ奥遺跡』

# 写真図版





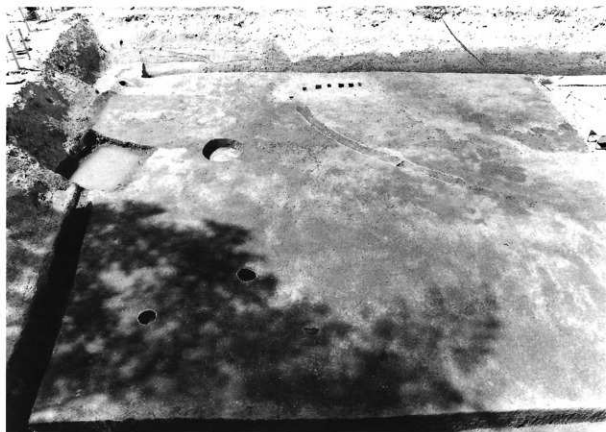
1. 遺跡周辺から東方向を望む



2. 上空から見た九景川遺跡（北から）

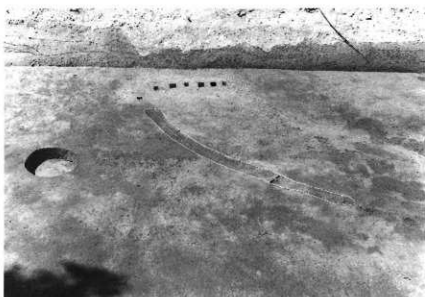


1. 九景川遺跡遠景（北西から；中央の橋脚の位置する谷）



2. 1区2層上面遺構発掘時（南から）

1. I区2層上面杭列1・SD01 (南から)



2. I区北壁内側土層 (南から)



3. 同上





1. I区SK01 検出時



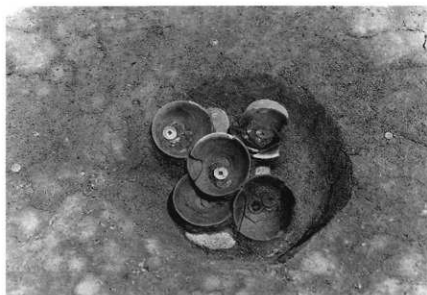
2. 同銭貨検出時 (I)



1. I区 SK01 钱货検出時(2)



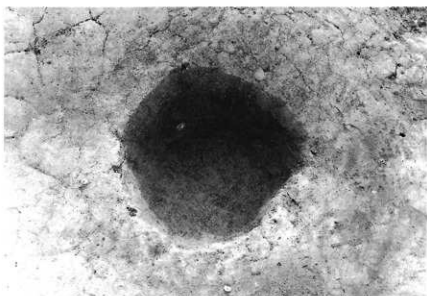
2. 同拡大



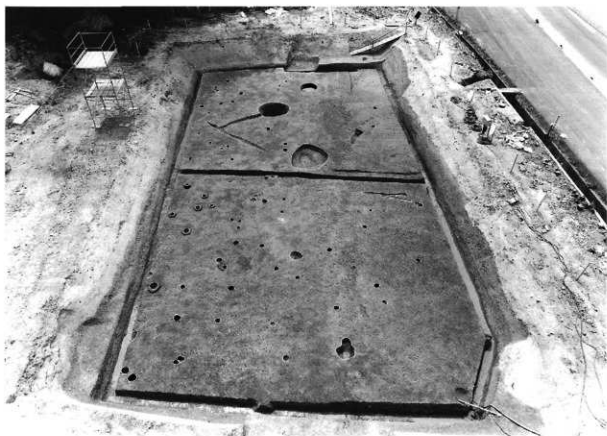
1. I区SK01 雑貨出土状況  
(3)



2. 同十師質上器取り上げ時



3. 同完掘時



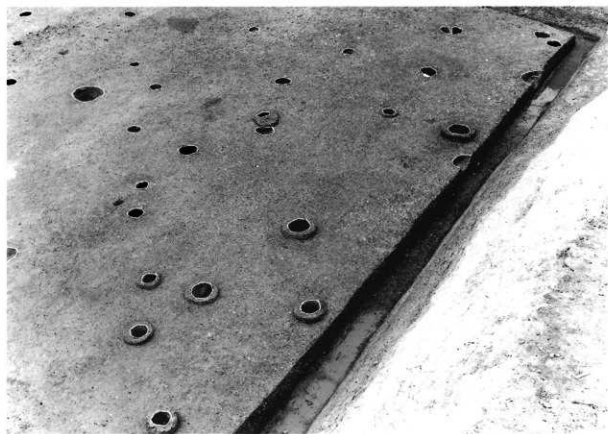
1. 1区4層上面遺構 (東から)



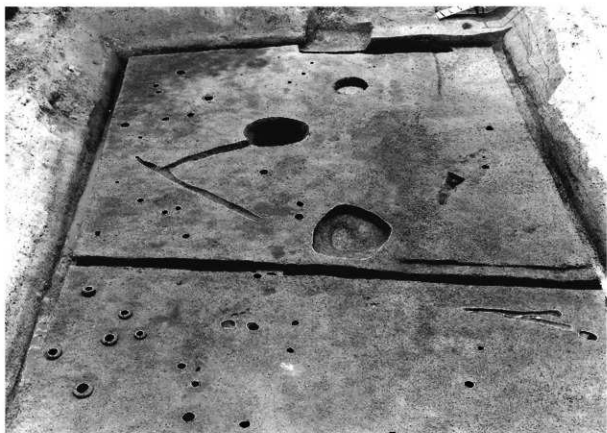
2. 同上 (西から)



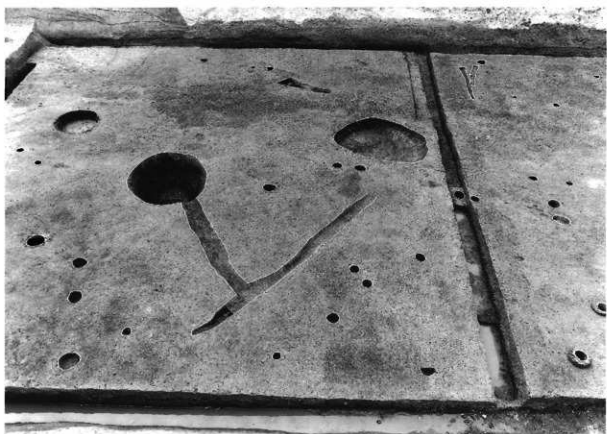
1. I区4層上面SB01・SA01付近(東から)



2. 同上(南西から)



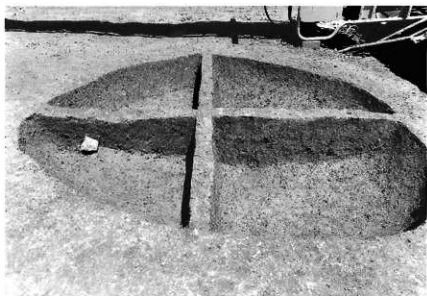
1. 1区4層上面SK02・SK03付近（東から）



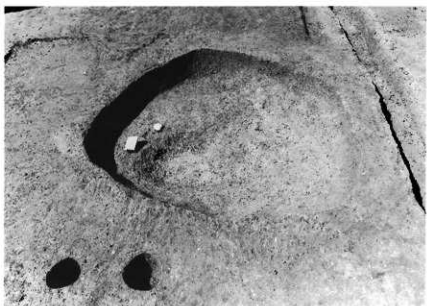
2. 同上（南から）



1. 1区SK02 プラン検出時



2. 同東西セクション  
(南から)

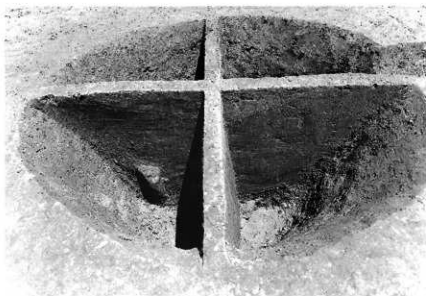


3. 同完掘時 (南から)

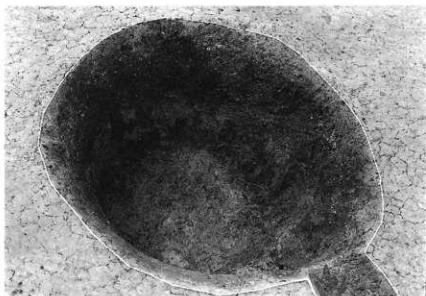
1. 1区SK03 プラン検出時  
(北から)



2. 河南北十層 (西から)



3. 同完掘時 (南から)

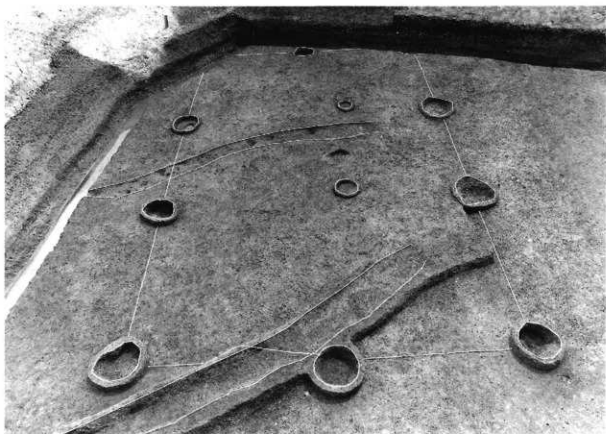




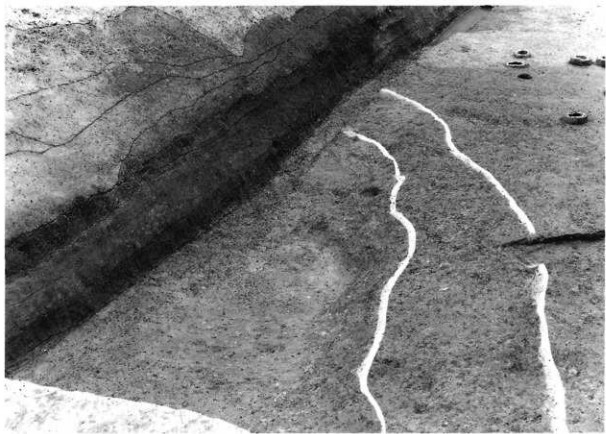
1. I区5層上面遺構(東から)



2. I区5層上面SB03・04(北東から)



1. I区5層上向 SB02 (西から)



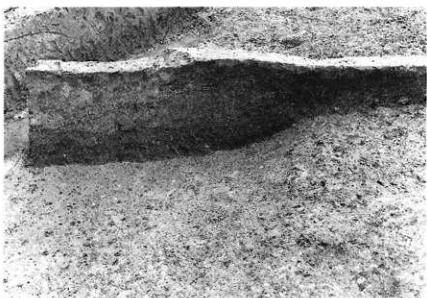
2. I区5層上向 SD07 (南西から)



1. I区 SD07 上面遺物出土  
状況



2. 同上



3. 同土層堆積状況(西から)

1. I区SD08（北から）

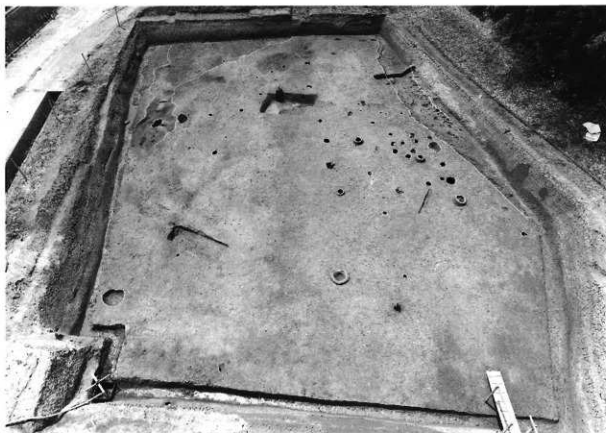


2. I区SX01（北から）



3. I区4層弥生土器出土状況





1. II区5層上面遺構(北から)



2. II区5層上面 SA02・03・SD09(北から)

1. Ⅱ区 SD09・SA02・03  
(東から)



2. Ⅱ区 SD09 上層検出時  
(北から)

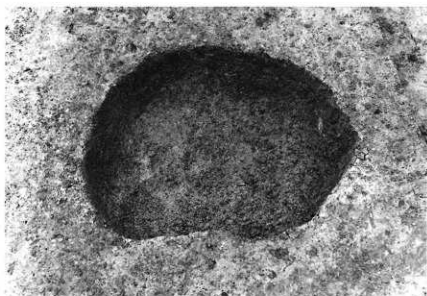


3. Ⅱ区 SD09 遺物出土状況  
(南から)





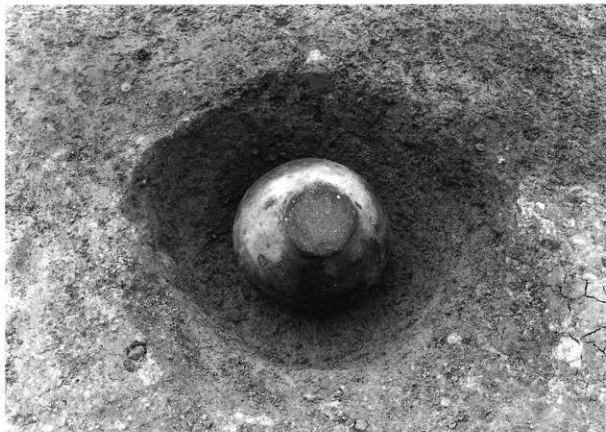
1. II区SD09十層(北から)



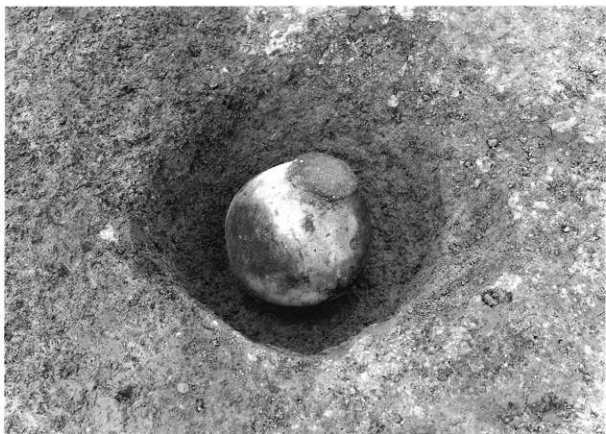
2. II区SK04



3. II区SK05セクション



1. II区SK05 (天上から)



2. II区SK05 (横方向から)



1. II区杭列2 (東から)



2. 同柱大 (東から)



3. II区杭列3 (西から)



1. II区SR02 遺物出土状況（北から）



2. 同拡大（北から）



1. II区 SR02 (北から)



2. 同上 (北東から)



3. 同遺物出土状況(北から)

1. II区 SR02 獣骨川土状況



2. 同高坏出土状況



3. SR02 セクション  
(南から)





1. Ⅲ区調査風景(北西から)



2. Ⅲ区西壁セクション  
(北から)



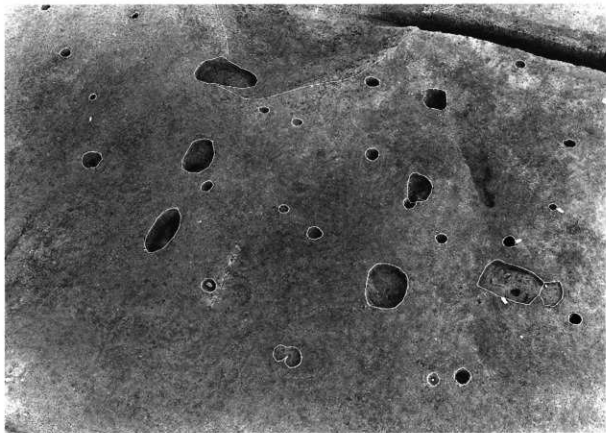
3. Ⅲ区北壁西側セクション  
(南から)



1. Ⅲ区南西部中世遺構向（東から）



2. Ⅲ区 SB09・SX02（北から）



1. III区SB09 (北から)



2. III区SK08・SD18 (南から)